



Budapesti Műszaki és Gazdaságtudományi Egyetem  
Villamosmérnöki és Informatikai Kar  
Szélessávú Hírközlés és Villamosságtan Tanszék



# SMOG-1 műhold kézi vevő fejlesztése

Szakdolgozat

**Erdélyi Ádám**

Konzulens – Dudás Levente

2017

## Szakdolgozat készítés

feladat

Erdélyi Ádám

szigorló villamosmérnök jelölt részére, melynek címe

SMOG-1 műhold kézi vevő fejlesztése

A BME VIK HVT-n készülő SMOG-1 hallgatói műhold fejlesztő csapatához csatlakozva készítsen kézi SMOG-1 műhold vevőkészüléket:

- Ismerkedjen meg a műhold felépítésével, működésével, fókuszálva a műholdfedélzeti kommunikációs rendszerre.
- Isemrje meg a SMOG-1 műhold földi állomásainak felépítését, működését, a műhold vételéhez és vezérléséhez szükséges paramétereket.
- Tervezze meg a SMOG-1 vételére optimalizált, kis méretű, kézi vevő kapcsolási rajzát: LNA, illesztő és szimmetrizáló hálózat, RF vevő IC, integrált mikrovezérlő, soros port - USB illesztő.
- Tervezze meg a SMOG-1 vevő nyomtatott huzalozású lemezének rajzolatát ügyelve az RF jelutak megfelelő minőségére.
- Készítse el a SMOG-1 vevő prototípusát: ültesse be, élessze fel az elkészült áramkört.
- Végezzen minősítő méréseket a vevőkészüléken és dokumentálja azokat: érzékenység, szelektivitás, bithiba és csomaghiba arány különböző sávszélesség és adatsebesség paraméterek mellett.
- Tervezze meg a vevőkészülékhez integrálható Yagi antennát: min. 6 elem, legalább 9 dBi nyereség, lineáris polarizáció.
- Szimulátor program használatával vizsgálja meg az antenna sugárzási tulajdonságait: nyereség, irányélességi szög, előre-hátra viszony.
- Készítse el és mérje meg az antennát.
- Végezzen minősítő méréseket az antenna + vevőkészülék elrendezésén és dokumentálja azokat.

A fejlesztés során ügyeljen arra, hogy kizárólag olyan tervező szoftvereket és fejlesztő eszközöket használjon, amelyek nyílt forráskódúak, vagy bárki által szabadon hozzáférhetőek (nem jogdíjas szoftverek), mint pl. KiCAD, MPLAB-X, Qt, Simplicity Studio, stb.

## **Infokommunikációs rendszerek specializáció**

Nagyfrekvenciás rendszerek és alkalmazások ágazat - Szélessávú Hírközlés és Villamosság-  
tan Tanszék

### **Záróvizsga tárgyak:**

Nagyfrekvenciás rendszerek (BMEVIHVA342 Dr. Nagy Lajos, dr. Sella Rudolf)

**A feladat benyújtásának határideje:** 2017.12.08

**Tanszéki konzulens:** Dudás Levente, dr. Gschwindt András, dr. Sella Rudolf

**Ipari konzulens:** -

**A tervezés bírálója:**

Budapest, 2017.12.08

dr. Nagy Lajos  
egyetemi docens  
tanszékvezető



Bíráló véleménye:

## HALLGATÓI NYILATKOZAT

Alulírott Erdélyi Ádám, szigorló hallgató kijelentem, hogy ezt a szakdolgozatot nem engedett segítség nélkül, saját magam készítettem, csak a megadott forrásokat (szakirodalom, eszközök stb.) használtam fel. Minden olyan részt, melyet szó szerint, vagy azonos értelemben, de átfogalmazva más forrásból átvettem, egyértelműen, a forrás megadásával megjelöltem.

Hozzájárulok, hogy a jelen munkám alapadatait (szerző(k), cím, készítés éve, konzulens(ek) neve) a BME VIK nyilvánosan hozzáférhető elektronikus formában, a munka teljes szövegét pedig az egyetem belső hálózatán keresztül (vagy autentikált felhasználók számára) közzétegye. Kijelentem, hogy a benyújtott munka és annak elektronikus verziója megegyezik. Dékáni engedéllyel titkosított diplomatervek esetén a dolgozat szövege csak 3 év eltelte után válik hozzáférhetővé.

Budapest, 2017. december 8.

Erdélyi Ádám

# Tartalomjegyzék

|                                               |           |
|-----------------------------------------------|-----------|
| <b>1. SMOG-1</b>                              | <b>10</b> |
| 1.1. Előzmény . . . . .                       | 10        |
| 1.2. SMOG-1 . . . . .                         | 10        |
| <b>2. A SMOG-1 RX felépítése</b>              | <b>12</b> |
| 2.1. Alapkoncepció . . . . .                  | 12        |
| 2.2. Részletes felépítés . . . . .            | 12        |
| 2.2.1. SI1062 . . . . .                       | 13        |
| 2.2.2. CP2102/9 . . . . .                     | 13        |
| 2.2.3. Elő-jelfeldolgozás . . . . .           | 14        |
| 2.2.4. Modulok . . . . .                      | 15        |
| <b>3. A kapcsolási rajz</b>                   | <b>16</b> |
| 3.1. Fejlesztői környezet . . . . .           | 16        |
| 3.2. Központi elemek és környezetük . . . . . | 17        |
| 3.3. Kiegészítés . . . . .                    | 20        |
| <b>4. Ültetési rajz</b>                       | <b>21</b> |
| 4.1. Rajzolat választás . . . . .             | 21        |
| 4.2. Alkatrészek elhelyezése . . . . .        | 22        |
| 4.3. Nagyfrekvenciás optimalizálás . . . . .  | 23        |
| <b>5. Építés és élesztés</b>                  | <b>24</b> |
| 5.1. Alkatrészek beültetése . . . . .         | 24        |
| 5.2. Áramkör élesztése . . . . .              | 25        |
| 5.3. Beágyazott szoftverfejlesztés . . . . .  | 26        |
| <b>6. Vezérlési lánc</b>                      | <b>27</b> |
| 6.1. Kommunikációs interfészek . . . . .      | 27        |
| 6.2. UART . . . . .                           | 27        |
| 6.3. SPI . . . . .                            | 29        |
| <b>7. Bootloader</b>                          | <b>31</b> |
| 7.1. Szoftver frissítés . . . . .             | 31        |
| 7.2. A bootloader felépítése . . . . .        | 32        |
| 7.3. Memória elosztás . . . . .               | 32        |
| 7.4. Megszakítás kezelés . . . . .            | 33        |
| 7.5. Átportolás . . . . .                     | 33        |
| 7.6. Frissítés menete . . . . .               | 34        |

|                                                 |           |
|-------------------------------------------------|-----------|
| <b>8. Rádiós egység</b>                         | <b>36</b> |
| 8.1. A SMOG-1 kommunikációs rendszere . . . . . | 36        |
| 8.2. A rádió felkonfigurálása . . . . .         | 37        |
| 8.3. Vétel . . . . .                            | 37        |
| 8.4. RSSI . . . . .                             | 38        |
| <b>9. Antenna</b>                               | <b>39</b> |
| 9.1. Földi állomás . . . . .                    | 39        |
| 9.2. Yagi antenna . . . . .                     | 39        |
| 9.3. Tervezés . . . . .                         | 39        |
| <b>10.Kvalifikációs mérések</b>                 | <b>41</b> |
| 10.1. Rádió mérése . . . . .                    | 41        |
| 10.2. Antenna . . . . .                         | 42        |
| 10.3. Terep . . . . .                           | 43        |
| 10.4. Összefoglalás . . . . .                   | 44        |
| <b>11.Függelék</b>                              | <b>50</b> |
| <b>12.Forráskódok</b>                           | <b>61</b> |



# Kivonat

A Budapesti Műszaki és Gazdaságtudományi Egyetemen egy PocketQube osztályba sorolható kisműhold fejlesztése van folyamatban. A SMOG-1 a projekten több kar, és tanszék bevonásával, számos oktató, hallgató és külsős szakember dolgozik, és céljuk, egy Masat-1-hez hasonló sikereket elérni. A műhold elsődleges küldetése, egy Föld körüli pályán, az elektromágneses szmog mérése a DVB-T sávban. Ezen a  $470\text{ MHz} - 860\text{ MHz}$ -es tartományban a földfelszíni digitális televíziós sugárzás található, és az űrbe kijutó teljesítmény kárba vész. Ez a feladat több kihívást is rejt magában, hiszen ilyen méréseket még senki nem tett közzé ebben a témában, és ilyen kis műhold sem működött még az űrben.

A feladatom, egy SMOG-1 vételére optimalizált, kis méretű, földi vevőt, és a hozzá tartozó antennát elkészíteni. Ez magába foglalja az áramköri és huzalozás szintű tervezést, az ültetést, és a szoftveres megvalósítást. A vevő a rádiófrekvenciás jeleket alakítja digitális adattá, így egy USB csatlakozó segítségével, a számítógép soros portján láthatjuk a műholdról vett csomagoknak a hexa megjelenítését.

Ez az egység népszerűsítési feladatokat is ellát, célja, hogy a műhold vétele közben minél több ember részt vehessen a SMOG projektben, ezzel terve őket az űrtudományok, a Műegyetem és a Villamosmérnöki Kar irányába. Remélhetőleg többen felfigyelnek erre a csapatra, és a későbbiekben is újabb támogatókat vonzhat. Ennek viszont az a feltétele, hogy a vevők és antennák készítése ne igényeljen nagy költségeket, ezáltal nagyobb darabszámban legyen készíthető. Ezért a vevő megalkotása során törekedtem az egyszerűsége, költséghatékonyságra és a későbbi újrafelhasználhatóságra.

# Abstract

A PocketQube type satellite development is in progress in the Budapest University of Technology and Economics. The university's more faculties, departments and external experts are working on the SMOG-1 project, and their goal is to turn out as a success, like the Masat-1. The primary mission of the satellite is to measure the electromagnetic smog around the Earth, in the frequency band of the DVB-T system. The terrestrial digital video broadcasting is using this  $470\text{ MHz} - 860\text{ MHz}$  band, and the power that reaches the space, is lost. This task has more challenges, like this type of measure has been never done before, and no satellite with this size has been operated into the space.

My thesis is to design and create a small receiver that was optimized to receive the signals of the SMOG-1, and create an antenna for this function. This task contains an electronic level and circuit level design, prototyping, and software development. The receiver converts the radio frequency signal to digital data, so we can see the packets as a hexa string, with the help of a USB connector and the serial ports of a personal computer.

This receiver's other purpose is to popularize the SMOG-1 project. If they can be the part of this historical moment, maybe this will bring them closer to the space sciences, the BME and the Faculty of Electrical Engineering and Informatics. Hopefully more people will know about this team, and in the future more sponsors can support the projects. This requires to lower the cost of the receiver and the antenna, so it can be produced in higher numbers. Because of this, I have aimed the simplicity, the cost-efficiency and the reusability.

# 1. fejezet

## SMOG-1

### 1.1. Előzmény

A Masat-1 2012. február 13-án állt pályára. A Műegyetem által megvalósított projekt beírta magát a történelemkönyvekbe, hiszen megvalósították az első magyar űrobjektumot, ami a gyakorlatban is működőképes volt. A CubeSat osztályba tartozó műhold elsősorban egy technológiai kísérlet volt, hogy egyetemi körülmények között lehetséges-e egy űrminőségű eszközt létrehozni. A majd három éves, világűrben töltött időtartam bebizonyította, a BME képes a megbízhatóság kérdésében maximálisat alkotni. A Masat-1 2015. január 11-én visszatért a légkörbe, és örökre elhallgatott. Ez viszont nem jelentette a magyar műholdak végét.[1]



1.1. ábra. A Masat-1 logója

### 1.2. SMOG-1

A következő projekt már a PocketQube osztályba tartozik, és a SMOG-1 nevet kapta. Elsődleges küldetése a világűrbe jutó elektromágneses szmog mérése a DVB-T sávban ( $470\text{ MHz} - 860\text{ MHz}$ ). Ennek eredete a földfelszíni digitális televíziós műsorszórás, az antennakarakterisztikákból adódó feleslegesen kisugárzott teljesítmény. Ezt a Föld körüli keringés során, a spektrum feltérképezésével viszi véghez. A kapott adatokat felhasználva, a jövőbeli antenaspecifikációkat hatásosabb energiafelhasználás irányába lehet terelni. A műhold fejlesztése oktatási irányt képvisel, tehát egyetemi hallgatók, oktatók és kutatók a megalkotói.[2]

A szakdolgozatom keretében, egy kisméretű vevőt – SMOG-1 RX – kell készítenem, ami a projekt későbbi népszerűsítésében is részt vesz. Ehhez mértén egy olyan egyszerű szerkezet megalkotása a cél, amit akár a Masat-1 esetében is használt kézi Yagi antennával is lehet használni. Elvárás még, hogy a megfelelő alkatrészek beszerzésével, akár házilag is elő lehessen állítani, ezzel is buzdítva az érdeklődőket szerte a bolygón, a SMOG-1 követésére. A rádióamatőröknek általában mind képesítésük, mind eszközük van egy műhold jelének vételére, de a lelkes amatőrök nem hagyatkozhatnak ezekre a dolgokra. Nekik szeretnék segíteni azzal, hogy ezt a vevőt megrendelve, ők maguk is részesei lehessenek a küldetésnek.



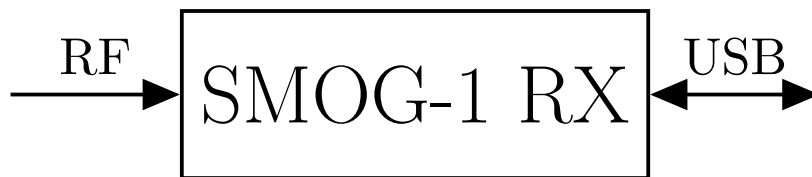
1.2. ábra. A SMOG-1 logója

## 2. fejezet

# A SMOG-1 RX felépítése

### 2.1. Alapkonceptió

A projekt alapötlete egy kifejezetten a SMOG-1 vételére alkalmas vevő építése. Ennek során egy házilag készített, mérőszalagból összeállított, és kézileg egyszerűen működtethető yagi antenna látná el az átalakító szerepét. Ez az éterben meglévő elektromágneses hullámokat a vevő bemenetére juttatja. Ezt a rádiófrekvenciás jelet a modul feldolgozza, és a kinyert információt már digitális formában küldi tovább. Egy USB csatlakozóba bedugva akár számítógép segítségével is folytathatjuk az adatok feldolgozását. Az USB interfész a vevő irányába való kommunikációra is lehetőséget biztosít, így később a felhasználó is képes lehet a programot módosítani, egyéb kiegészítéseket implementálni.



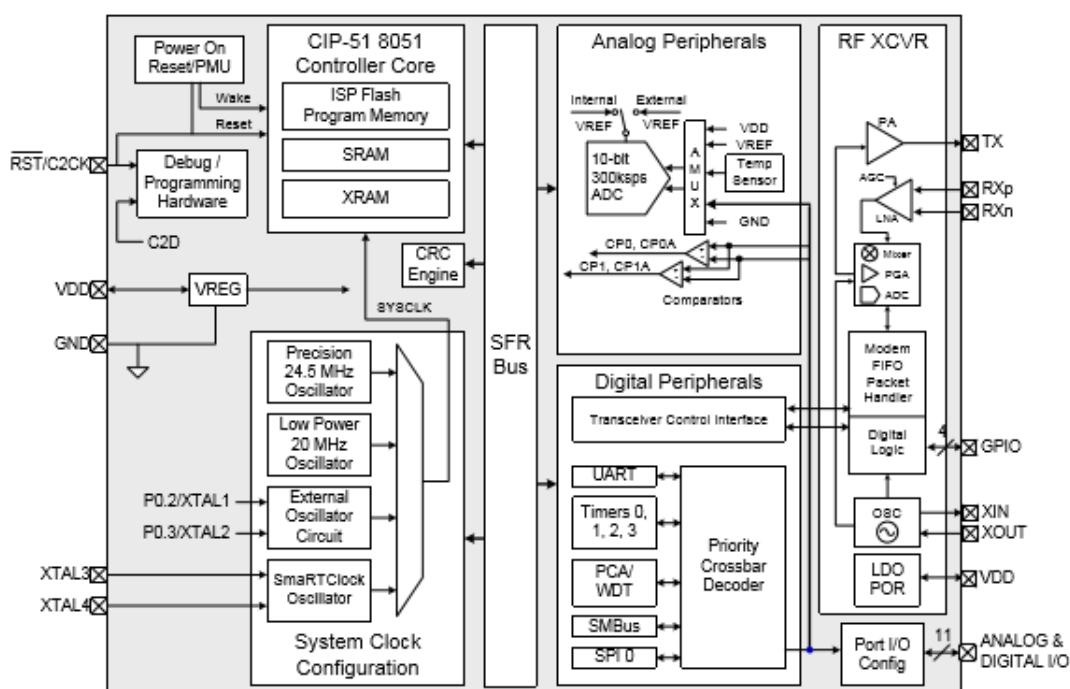
2.1. ábra. A SMOG-1 vevő alapkonceptiója

### 2.2. Részletes felépítés

Ez előbb ismertetett struktúra ránézésre nagyon egyszerűnek tűnhet, de ha jobban belegondolunk akkor ezeknek a feladatoknak, az egy áramköri elembe való integrálása nem triviális feladat. Megtehetnénk, hogy valamilyen FPGA vagy mikroszámítógép (például Raspberry Pi) segítségével valósítjuk meg a vevőt. Ez viszont jelentősen megnövelné az egység költségeit, és számos fölösleges kapacitást hordozna. Ez nem csak az energiaszükségletet emelné meg, hanem egy fizikailag is nagyobb vevőt jelentene, ami ellentétes lenne azzal a gondolattal, hogy alapvetően egy kézi egységet szeretnénk létrehozni. Az itt megemlítettékből érthető, hogy erre a feladatra a legmegfelelőbb vezérlő, egy mikrokontroller lenne.

## 2.2.1. SI1062

Mivel kommunikációról van szó, szükségszerű, hogy a két fél kompatibilis legyen egymással, így logikus megoldásnak tűnik, hogyha a vevőben, is pont ugyan az a rádiós IC található, mint az adóban. Ez a Silicon Labs C8051F930 [4] mikrovezérlője. Ezzel azonban számos esetben bonyolult lenne vezeték nélküli kommunikációt megvalósítani, így a gyártó ennek az MCU-nak a segítségével felépített egy rádiófrekvenciás mikrokontrollert, ami ultra-alacsony energiafelhasználásával, energiatakarékos üzemmódjaival egy műholdba is racionális választás. A vevőben ez a típus a SI1062 [3] lett. Ez azért más, mint a SMOG-ban levő SI1060-as, mivel más végfok van a két eszközben, így az általunk választott IC jelentősen kisebb energiafelhasználással üzemel. Ezen kívül a két modul megegyezik.



2.2. ábra. A SI1062 blokkdiagramja[3]

## 2.2.2. CP2102/9

A Silabsos IC azonban csak UART-tal (*Universal Asynchronous Receiver-Transmitter*) képes kommunikálni, nekünk pedig USB-s kapcsolatra lenne szükségünk, ezért egy UART/USB átalakító kell. Logikus lépés, ha a gyártót megtartjuk, hiszen joggal bízhatunk, hogy legalább a saját termékeik között zökkenőmentes kommunikáció tud megvalósulni. Egy másik előny, hogy ugyan azt a fejlesztőkörnyezetet tudjuk használni a fejlesztés során, így nem kell fölöslegesen több, programot telepíteni, és használatukat elsajátítani. Választásunk a CP2102/9 [7] típusszámú átalakítóra esett.

Erre az egységre még azért is szükségünk van, hisz alapvetően a SI IC-t a programozólabakon (C" Interface) kell felprogramozni. Ez azt jelenti, hogy az egyszeri elkészítés után vagy nem módosítunk a programon, vagy pedig a védőborításon rés ejtünk, ami a védelmet nagyban csökkenti, legyen az fólia, lakk vagy egyéb módszer. Viszont egy *boot-loader* feltelepítésével akár a soros portokon is frissíthetjük a szoftvert, ezt pedig egy USB csatlakozóval egy számítógépről mindenféle segédprogram nélkül megoldható.



2.3. ábra. A SMOG-1 RX különböző interfészei

### 2.2.3. Elő-jelfeldolgozás

Az SI1062 IC-ben számos jelfeldolgozási algoritmust is megvalósíthatunk, mégis sokkal effektívebben nyerhetjük ki az információt a hordozóból, ha még az IC előtt végrehajtunk a rádiófrekvenciás jelen pár apróbb dolgot. Erre a kényelmi szempontok mellett az alkatrészek védelme szempontjából is szükségünk van, hiszen különböző szélsőértékek hatására a központi vezérlőegység is károsodhat.

#### IPD

A rádiófrekvenciás alkalmazásoknál az egyik alap tétel az impedancia-illesztés. Az IC belső viszonyait a gyártó nem köti az orrunkra, de mindig ismerteti az adott frekvenciasávokhoz ajánlatos illesztéseket. Ez számos különböző paraméterű LC tag megfelelő elhelyezését jelentené, de szerencsére van egy másik megoldás. Ezeket a passzív elemeket egyes gyártók egy áramköri elembe megvalósítva árulják. Ezek az IPD-k (*Integrated Passive Device*) és ennek a csatoló egységnek a megvalósítását én is egy ilyenrel végeztem, az IPD-0433BM41A0019-vel [8].

#### SAW szűrő

Hogy csak a számunkra releváns jel jusson a bemenetre, rádiófrekvenciás vevőknél illik szűrőt alkalmazni. Ez a jelen esetben egy 435 MHz középfrekvenciájú SAW MA09629 [9] sávszűrő. A SAW (*Surface Acoustic Wave*) szűrő működési eleve, hogy a beérkező elektromos jelet mechanikai hullámmá alakítja egy piezoelektromos kristály. A jel késik miközben keresztülhalad az eszközön, és amikor visszaalakítják elektromos jellé, akkor egy véges impulzus válaszü szűrő végzi el a munkát. A választás azért pont *saw* szűrőre esett, mert sokkal meredekebb karakterisztikát lehet kis helyen elérni, mint akár LC taggal, akár más egyszerűbb megoldással.

#### LNA

Vezetéknélküli jelek vételénél az antenna utáni első eszköz egy alacsony zajú erősítő (*Low Noise Amplifier*). Ennek a ADL5523 [10] LNA-nak az a feladata, hogy még a feldolgozás előtt emelje a jelszintet (jelen esetben 21dB-lel), és még a többi feldolgozás, szűrés rá-rakódó zaja előtt, emelje a jelteljesítményt, és az alacsony zajának köszönhetően, ezzel a jel-zaj viszonyt sem csökkenti jelentősen.



2.4. ábra. A SMOG-1 RX RF bemenet

## 2.2.4. Modulok

Látható, hogy a SMOG-1 RX építése során törekedtünk a modulokból való építkezésre, hiszen így jelentős mennyiségű idő spórolható, hogyha nem nekünk kell ezeket is egyesével az adott feladathoz megtervezni. A nagy-szériaszámú gyártmányoknak köszönhetően akár olcsóbban is kijöhetünk egy-egy elem rendeléséből, és számos esetben a minőség is fölötte van, mint ha mindennapi minőségű diszkrét áramköri alkatrészekből valósítottuk volna meg az egységet. Az alkatrész logikai kialakításának megbízhatóságára a gyártó vevőköre a biztosíték, és az adatlapból számos olyan karakterisztikát is megismerhetünk, amit csak körülményes módon, és hosszadalmas munkával lehetne meghatározni.



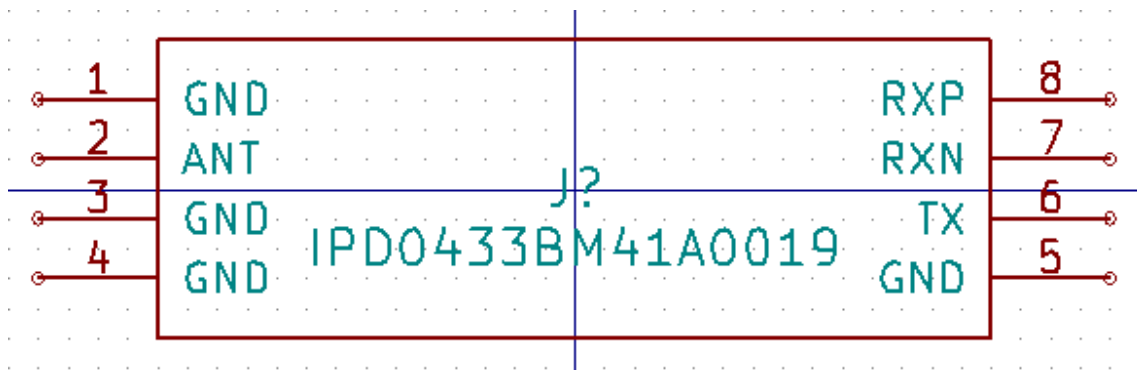
## 3. fejezet

# A kapcsolási rajz

### 3.1. Fejlesztői környezet

Az áramkör megtervezéséhez a KiCad [11] programot használtam. Egyrészt ingyenesen hozzáférhető, és könnyen használható, másrészt *open-source*, tehát tetszőleges alkatrészekkel bővíthető a saját adatbázisa. Megvan tehát a lehetőség rá, hogy az internetről, a GitHubról[12] előre elkészített áramköri elemeket és *footprint*eket töltsünk le. Ezzel nemcsak időt tudunk spórolni, hanem a nagyszámú és aktív felhasználóbázisnak köszönhetően, nagy valószínűséggel hibamentes kivitelezéshez juthatunk.

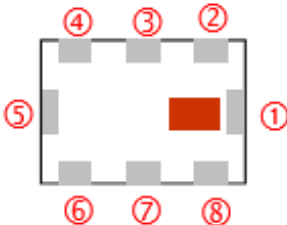
A vevő kapcsolási rajzának elkészítése során törekedtem a beépített alkatrészek használatára, hiszen egy kis kreativitással ezek közel bármire használhatóak voltak. Például egyszerű tűkesorokkal meg lehetett oldani az USB csatlakozók modellezését, az IC programozólábainak egy galvanizált furatba történő kivezetését, vagy egy yagi antenna rögzítését is. Az ilyen barkácsolások közben arra kell figyelni, hogy az alkatrésznek megfelelő számú kivezetéssel rendelkezzen, és a helyes alkatrészlábakkal legyen összekötve, hiszen az ebből az állományból létrehozott *netlist*tel építettem fel az ültetési rajzot.



3.1. ábra. Az IPD saját szerkesztésű modellje

Egyes esetekben azonban ez mégsem volt megfelelő megoldás, hiszen a kapcsolási rajznak egyértelműnek kell lennie. Az előző fejezetben említett egységeken kívül a kristályoszillátort is a beépített alkatrésztervező használatának a segítségével én magam hoztam létre. Az átláthatóság érdekében törekedtem az egyszerű formákra, az alkatrész adatlapjában található lábelhelyezkedésekre, és a lábkiosztásra is. A pontos típuszámot az elem hátára írtam, így aki először látja a kapcsolást is sejtheti, hogy milyen egységről lehet szó.

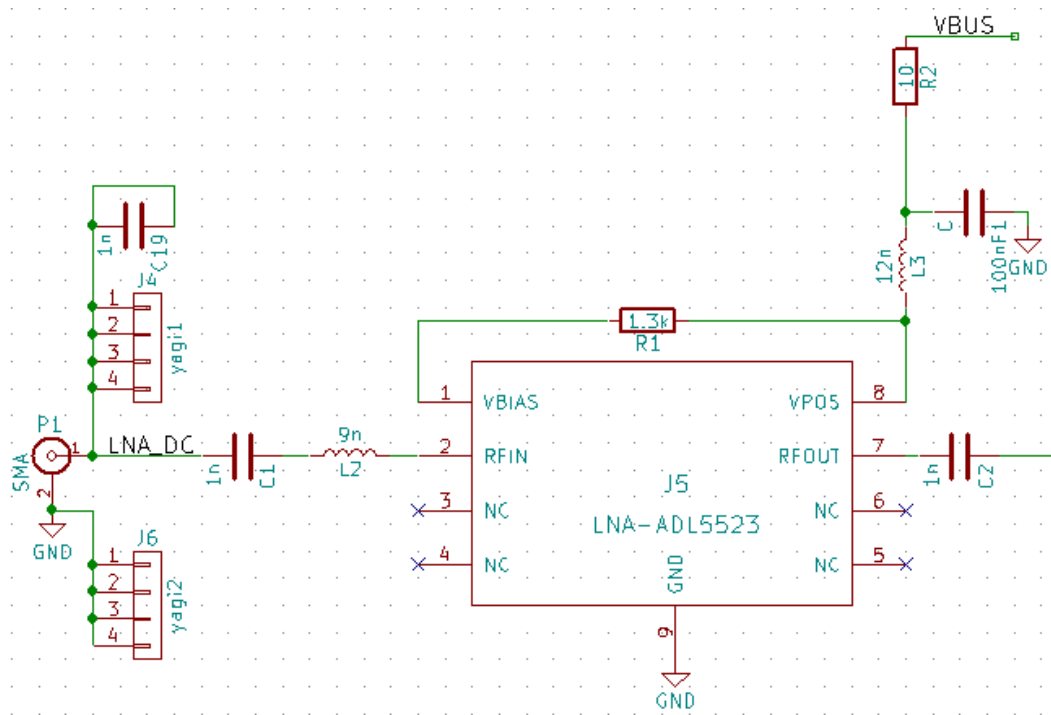
| Terminal Configuration |          |     |          |
|------------------------|----------|-----|----------|
| No.                    | Function | No. | Function |
| 1                      | GND      | 5   | GND      |
| 2                      | Ant      | 6   | TX       |
| 3                      | GND      | 7   | RXN      |
| 4                      | GND      | 8   | RXP      |



3.2. ábra. Az adatlapi lábkiosztás[8]

## 3.2. Központi elemek és környezetük

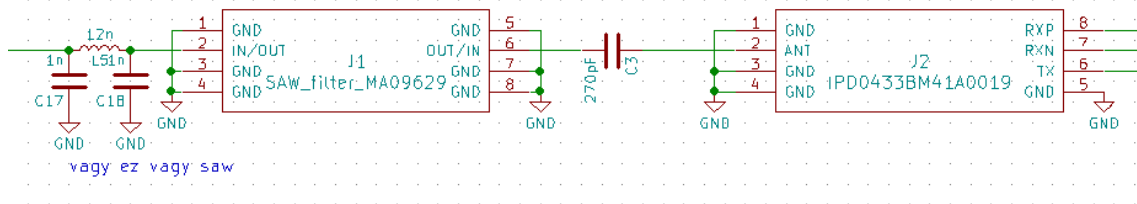
A modulokból történő építkezés velejárója, hogy nem ismerjük a gyártó által megvalósított áramkör pontos felépítését, így nagy mértékben rájuk vagyunk hagyatkozotva. Ebből kifolyólag az egyetlen kiindulási pontunk az adatlap. Szerencsére itt mindig megtalálható egy példa kapcsolás, a lábkiosztás, és a portok fajtái is, így nem vagyunk teljesen egyedül. Én is számos esetben az adatlapi struktúrát valósítottam meg az ott megadott értékekkel, de több esetben is számos lehetőség közül választhattam, például frekvencia, vagy tápfeszültség függvényében. Viszont az egyedi kialakítású részeknél az alkatrészek értékét én magam választottam. Ilyen eset például a LED előtét-ellenállások, ahol a maximális terhelhetőség felére,  $5\text{ mA}$ -ra választottam a vezérlő áram nagyságát.



3.3. ábra. Az SMA csatlakozó és az LNA

Az SMA csatlakozónál egyből láthatunk két csatlakozót meg egy rövidzárral kötött

kondenzátort. Az előbbieknél a szerepe, hogy a mérőszalagból készült yagi antennák rögzítését is könnyen reprezentáljuk itt, és később az ültetési rajzolatra átvigyük (4 láb → 4 furat → 4 rögzítési pont). A rövidrezárt kondenzátor mint mechanikai gát, megakadályozza a mérőszalag túlcusúsását, ezáltal nem kívánt galvanikus kapcsolat kialakulását. Azért eset ilyen kondenzátorra a választás, mert ebből az alkatrészből kell a legtöbbet használni, így fajlagosan ebből a legolcsóbb ezt a funkciót ellátni. Itt a vezetéken láthatunk egy *LNA\_DC* feliratot, funkciójáról később fogunk szót ejteni. Ez egy úgynevezett címke, ami arra szolgál, hogy az kapcsolási rajz átláthatóbb legyen. Ilyen esetekben a program tudja, hogy az ugyan olyan nevű vezetékek össze vannak kötve, mégis jelentősen könnyíti a fejlesztést, hogy nincsenek zavaró, az egész rajzon átívelő vonalak. Ezek legtöbb esetben táp, vagy valamilyen vezérlést megvalósító vezetékek. Az LNA bemenetén egy LC tagot láthatunk, ami egy sáváteresztő szűrőként funkcionál, az áteresztési tartomány a SMOG-1 kommunikációs frekvenciája. A blokk fölött a tápellátásáért felelős kapcsolás, ami a *VBUS*-ról, 5 V-ról van ellátva. Az áramkört két különböző tápfeszültség érték található. Alapból az USB szabvány 5 V-ja rendelkezésre álló érték, viszont ezt a CP2102 segítségével egy 3.3 V-t alakítjuk, amit használ az SI1062 és a külső oszcillátor is. Az LNA ellátásához is lehetett volna ezt a kisebb tápfeszültség értéket használni, viszont a soros-porti átalakító csak korlátozott teljesítményt képes leadni, és az USB szabvány maximális áramerőssége jóval nagyobb. A kapcsolási rajzon látható adatlap megvalósítás, viszont a gyakorlatban beültetett konkrét értékek kicsit eltérhetnek tőle, a könnyebb beszerzés, és olcsóbb kivitelezés érdekében.



3.4. ábra. A SAW szűrő és az IPD

Ezután a SAW szűrő következik ami előtt egy LC tag található. Ennek célja, hogy a későbbi mérések folyamán megvizsgálom, hogy megéri-e a szűrő alkalmazása, vagy egy egyszerű II taggal is ugyan olyan jó sáváteresztést valósítunk meg, csak olcsóbban. A szűrő után az IPD következik, közöttük pedig a kondenzátornak egyenáramlecsatoló szerepe van.

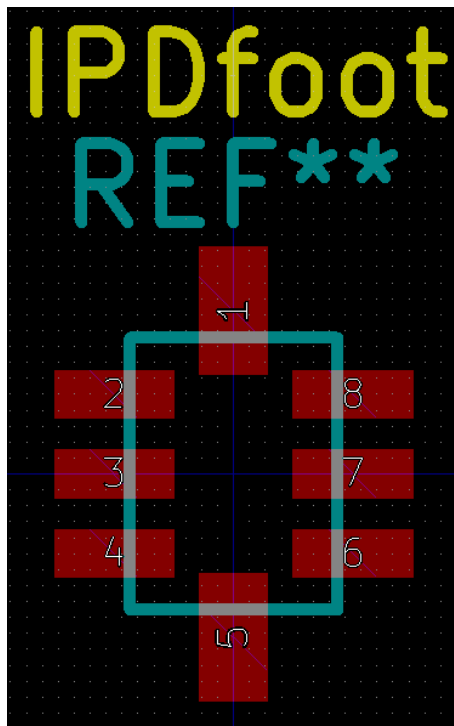
A SI1062-es körül számos diszkrét alkatrészt látunk. Egyrészt van három egyszínű, és egy RGB LED. Ezek szerepe, hogy a későbbi működés során a felhasználó számára értékes információval szolgáljon a vevő működéséről. Például, hogy tápfeszültség alatt van-e, vagy van -e éppen rádiófrekvenciás vétel. Ezeket az eszközöket GPIO lábakra csatlakoztattam, így a legegyszerűbb vezérelni őket. A három piros LED a rádiós egységhez (SI 4460) csatlakozik, az RGB pedig közvetlenül C8051-es mikrokontrollerhez. Másrészt itt található egy külső hőmérséklet kompenzált kristály oszcillátor (TCXO) ami a pontos frekvenciát állítja elő a rádió keverőjéhez. A harmadik fontos részlet a 30-as láb körül található csatlakozósor, ami a kontroller programozásához elengedhetetlen. Tervben van egy *bootloader* alkalmazása a későbbiek folyamán, de azt a programot is rá kell valahogy tölteni. Ennek a szerepe hogy a soros porton keresztül lehet programozni az eszközt, ami folyamán a későbbi felhasználó dönthet úgy, hogy ő jobb szoftvert tud rá írni. A P0.3-as kimenet (27-es láb) egy vezérlési funkciót lát el az áramkör egy másik pontján, később még visszatérek rá. A soros kommunikáció a P0.4-P0.5 porton keresztül történik, UART segítségével. Látunk még számos hidegítő kondenzátort amit a 3.3V-os *VDC*-re csatol-







Egyes esetekben azonban a *footprint* nem állt a rendelkezésemre, így saját magamnak kellett megcsinálnom. Természetesen nem miliméterpapír és tolómérő segítségével oldottam meg a méretek levételét, hanem a gyári adatlapokban leírtak segítségével szerkesztettem meg a megfelelő lenyomatot. Figyelni kellett a pontos lábkiosztásra is, hiszen a program a kapcsolási rajzból legenerált *netlist*-ből szerzett információi alapján rendelte össze az összekötni kívánt alkatrészkievezéseket.

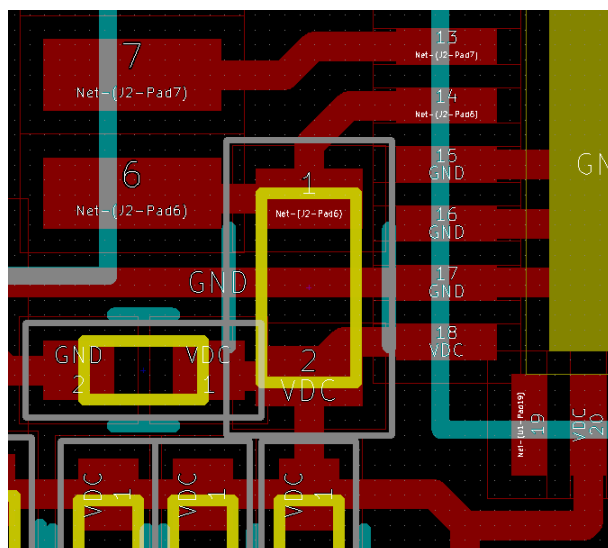


4.2. ábra. Az elkészített rajzolat

## 4.2. Alkatrészek elhelyezése

A kapcsolási rajzon látható, hogy ezt a hálózatot egy rétegen, SMD technológiával nem lehetne megvalósítani, ezért két rétegre volt szükségem, egy *top* és egy *bottom* oldalra. Alapvetően a *top* oldalt használok ültetési oldalnak, de a mérőszalag antennák rögzítésére szolgáló drótokat, a MicroUSB csatlakozót, és a túlcúszás gátló kondenzátort a vevő aljára raktam. Az összeköttetések vezetését is alapvetően az ültetési oldalon valósítottam meg, de számos esetben szükség volt viák segítségével a túloldalra átvezetni azokat, hogy a megfelelő helyen ismét a *top* oldalra visszatérve, a megfelelő helyre csatlakozzanak. Az alkatrészek elhelyezésénél az elsődleges szempont a rádiófrekvenciás-jelút törésmentessége és zavartalansága volt, a többi elem elhelyezése pedig a minimális helyfoglalás.

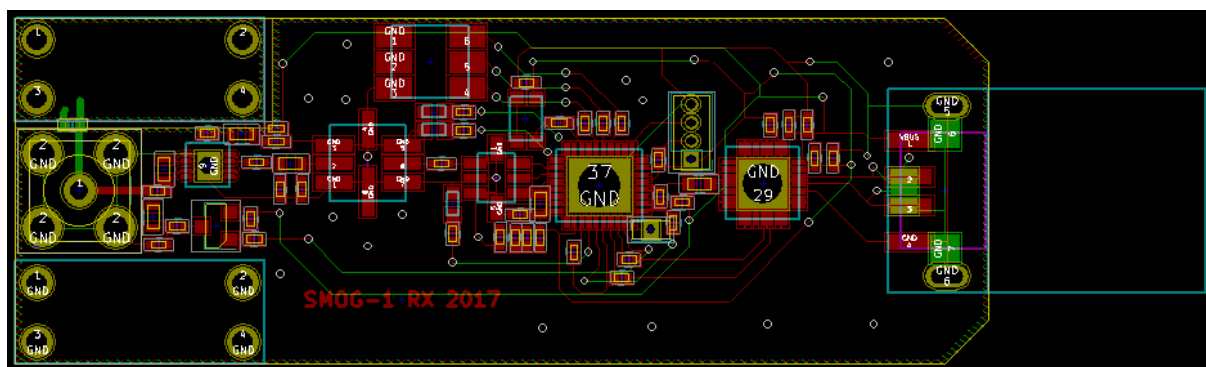
A vezető sávok szerkesztésénél kerültem a 45°-os irányváltásokat, helyettük tompaszögű megoldást választottam. Egy esetben (4.3 ábra) egy 0603-as alkatrész alatt vittem át egy sávot, ami példázza, hogy különböző méretű alkatrészek milyen jól ki tudják egészíteni egymást. A 4.4 ábrán láthatjuk, hogy a vezetékezés jelentős része a *top* oldalon fut, a *bot* oldali vezető sávokkal csak az elsődleges oldali kereszteződéseket kerültem el.



4.3. ábra. Alkatrész alatti átvezetés

### 4.3. Nagyfrekvenciás optimalizálás

Az tervezés befejeztével mind a két oldalon földkitöltést alkalmaztam (11.3 és 11.4 ábrák), és a két oldali földek között viákkal javítottam a nagyfrekvenciás viselkedést. A kisebb csillapítás érdekében az SMA csatlakozótól az LNA-ig futó meleg-ér szélességét növeltem. Ebben a frekvencia tartományban tápvonalelmélettel nem kellett foglalkoznom.



4.4. ábra. A kész ültetési rajz

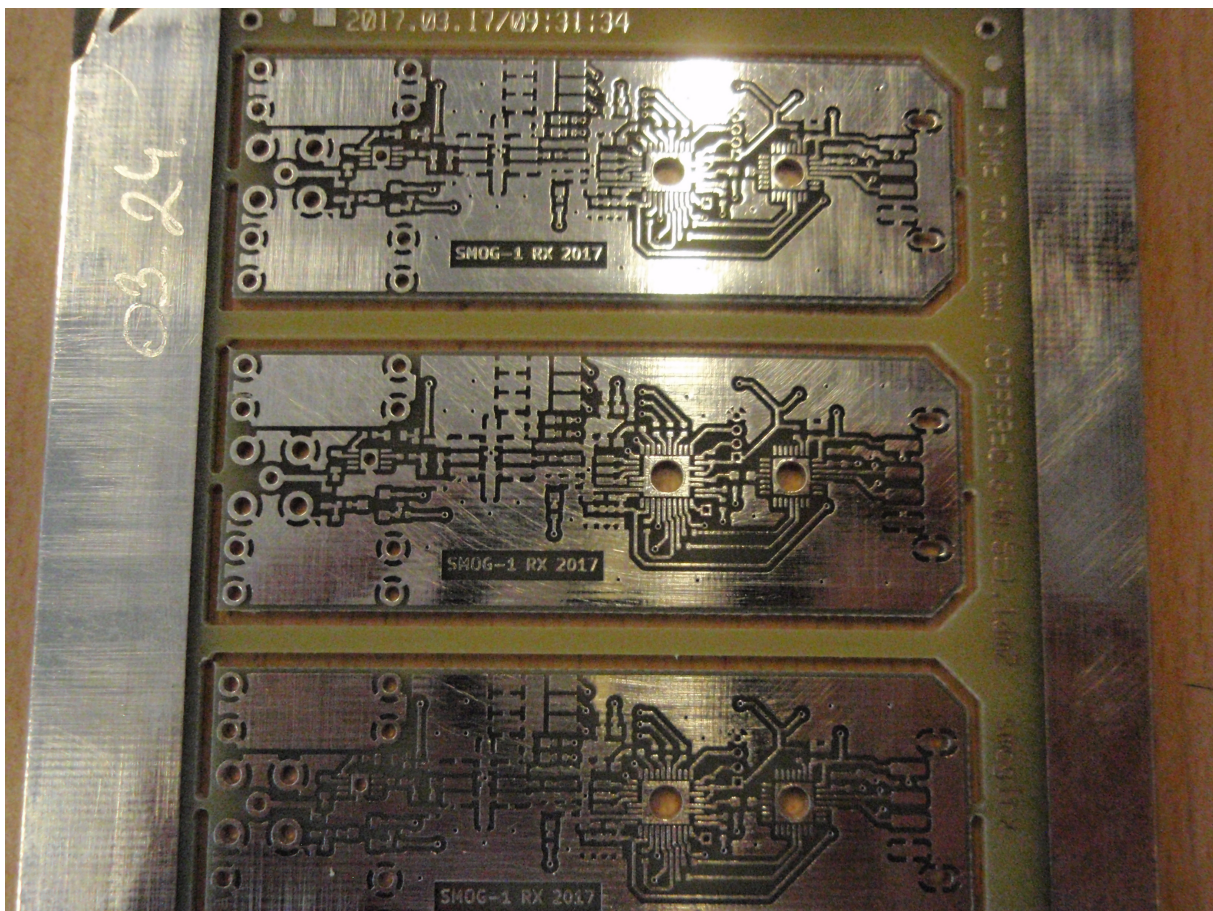


## 5. fejezet

# Építés és élesztés

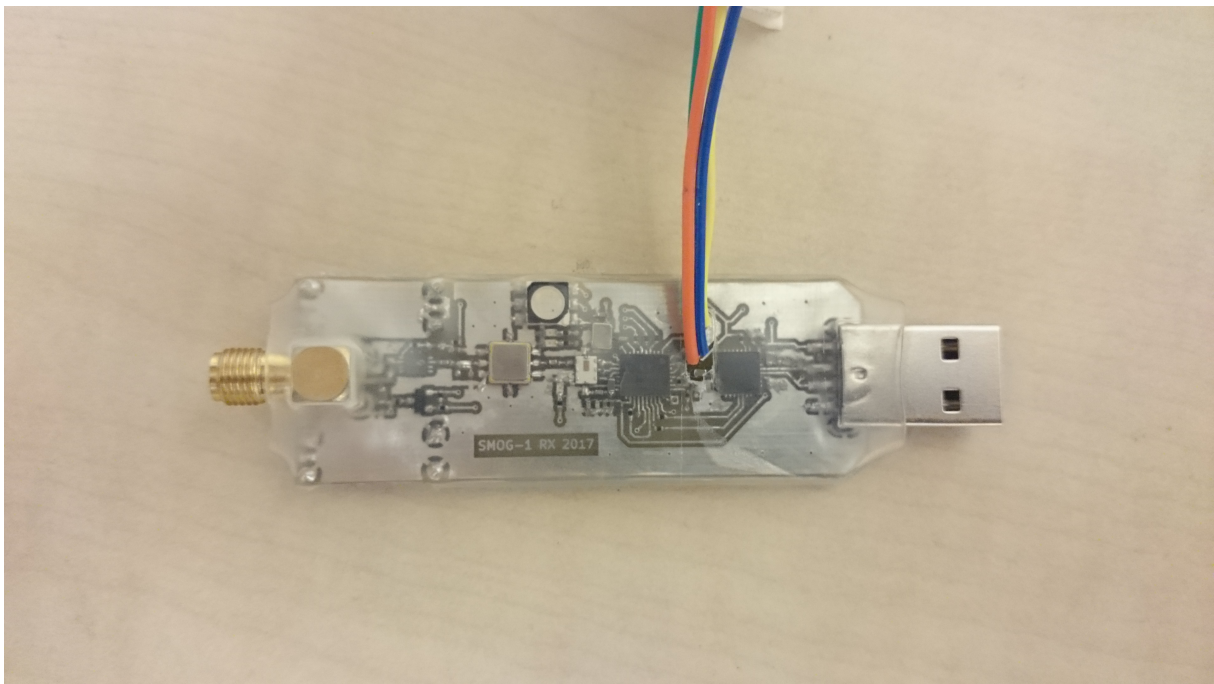
### 5.1. Alkatrészek beültetése

Az áramkör összeszerelését az V1504-es laborban végeztem. A 0402 alkatrészméreték következtében a forrasztópáka mellett szükségem volt egy mikroszkópra, csipeszre és 0,25 mm átmérőjű forrasztóhuzalra is. Az ültetés során megtanultam SMD-t forrasztani, és a folyasztószer szükségességét is saját tapasztalataim bizonyítják. Az ültetés során figyelmem kellett az integrált alkatrészek helyes állására, amit az egyes láb jelölésének köszönhetően tudtam leellenőrizni. A beültetett LED-ek polaritását az adatlapban feltüntetett ábrák segítségével állapítottam meg.



5.1. ábra. Az elkészült NYHL top oldala

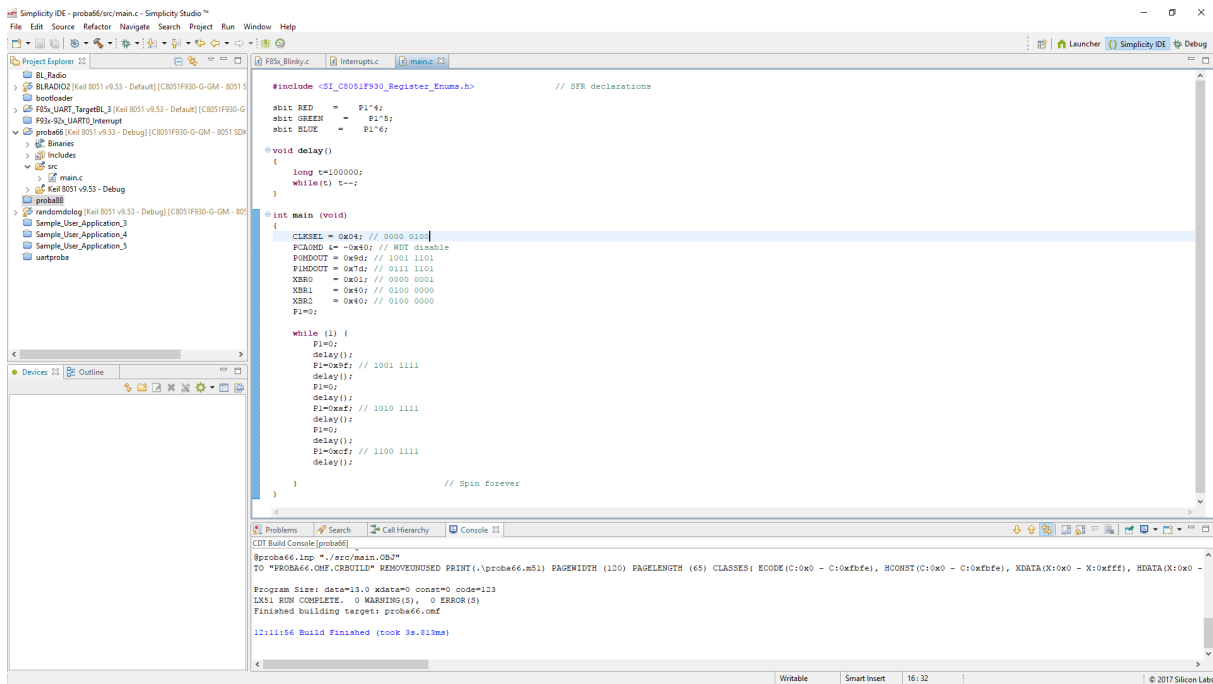
A munka során ért egy meglepetés, ugyanis a kristályoszillátor forrasztási felületei nem egyeztek meg a honlapon található , így azt nem sikerült tökéletesen beforsasztani. Később ki is derült, hogy a forrasztás hibás, nincs tökéletes elektronikus kapcsolat, így az ki lett cserélve egy másik, 30 MHz-es kristályra. Azért erre esett a választás, mert ez volt megtalálható a laborban, és a SMOG-on is ilyen található. Az áramkör elkészülte után, USB csatlakozóba bedugva, az RGB LED halvány világítása jelezte, hogy főbb rendszerekben nem esett kár, és a tápfeszültséget is megfelelő lábokról vettem le. A beültetés elkészültével egy átlátszó zsugorcsőbe raktuk, aminek hő hatására csökken az átmérője és mintegy mechanikai védelmet nyújt az áramkörnek. Ez csak egy próba volt, hogy a megfelelő zsugorodási tényezőjű cső lett-e befejezve. A programozólábaknál kívágyva, a furatokba vezetékek forrasztásával készen áll az SI IC a felprogramozásra.



5.2. ábra. Az összeszerelt vevő

## 5.2. Áramkör élesztése

Az áramkör alapfunkcióinak tesztelését egy egyszerű LED-villogtató, a szakmában csak *blinky*-nek nevezett kód rátöltésével végeztem el. Ehhez az adatlapban található leírást, és a Silabs honlapról[6] letölthető Simplicity Studió 4-et használtam. Magát a programozást egy USB Debug Adapter végzi. A kód (5.3) elején *include*-oltam a controller specifikus fejléctet, amibe a vezérléshez szükséges beépített változók találhatóak. A *main* függvényben a kezdeti inicializálásokkal az órát egy induló értékre állítjuk, és kikapcsoljuk a *watchdog*-ot a megfelelő működés érdekében. A *PnMDOUT*-tal beállíthatjuk a használni kívánt kimeneteket, az *XBRn*-nel pedig annak típusait adhatjuk meg. Ezeknek a változóknak a szükséges értékeit az adatlapban bitenkénti bontásban találhatjuk meg. A kódtörzs maga egy végtelen ciklus, amiben az RGB LED fényeit egyenként felvillantjuk és kioltjuk. A kód célja annak ellenőrzése, hogy a tervezés és az ültetés során katasztrofális hibát nem követtem el, az IC megkapja a szükséges tápfeszültséget, órajelet és vezérlést.



5.3. ábra. A Simplicity Studio fejlesztő környezete

## 5.3. Beágyazott szoftverfejlesztés

A feladat innentől a beágyazott szoftverfejlesztés irányába megy át, hiszen az áramkör már kész, csak életre kell bírni. Itt az egyik legfontosabb feladat a regiszterek helyes beállítása, hisz akár egy nem/rosszul beállított érték, az egyébként logikailag helyes programot teheti működésképtelenné. A 5.4 ábrán látható XBR2-es regiszter XBARE bitjének 0-ban hagyása a kommunikációért felelős portokat is ellehetetleníti. Ilyenek miatt nagyon fontos a dokumentációk alapos tanulmányozása (például a [4]) és az ott lévő ábrák, táblázatok tanulmányozása. Ezekből a táblázatokból a regiszter funkcióján kívül, az egyes bitek olvashatóságáról, és a *Reset* állapot után felvett értékükről is tájékoztatást kaphatunk. A fejlesztőkörnyezeten belül rengeteg mintakód is található ami nagyban megkönnyíti az adott funkció megismerését és használatát.

| SFR Definition 21.3. XBR2: Port I/O Crossbar Register 2                                        |         |                                                                                                                       |     |     |     |     |     |     |
|------------------------------------------------------------------------------------------------|---------|-----------------------------------------------------------------------------------------------------------------------|-----|-----|-----|-----|-----|-----|
| Bit                                                                                            | 7       | 6                                                                                                                     | 5   | 4   | 3   | 2   | 1   | 0   |
| Name                                                                                           | WEAKPUD | XBARE                                                                                                                 |     |     |     |     |     |     |
| Type                                                                                           | R/W     | R/W                                                                                                                   | R/W | R/W | R/W | R/W | R/W | R/W |
| Reset                                                                                          | 0       | 0                                                                                                                     | 0   | 0   | 0   | 0   | 0   | 0   |
| SFR Page = 0x0; SFR Address = 0xE3                                                             |         |                                                                                                                       |     |     |     |     |     |     |
| Bit                                                                                            | Name    | Function                                                                                                              |     |     |     |     |     |     |
| 7                                                                                              | WEAKPUD | <b>Port I/O Weak Pullup Disable</b><br>0: Weak Pullups enabled (except for Port I/O pins configured for analog mode). |     |     |     |     |     |     |
| 6                                                                                              | XBARE   | <b>Crossbar Enable</b><br>0: Crossbar disabled.<br>1: Crossbar enabled.                                               |     |     |     |     |     |     |
| 5:0                                                                                            | Unused  | <b>Unused.</b><br>Read = 000000b; Write = Don't Care.                                                                 |     |     |     |     |     |     |
| <b>Note:</b> The Crossbar must be enabled (XBARE = 1) to use any Port pin as a digital output. |         |                                                                                                                       |     |     |     |     |     |     |

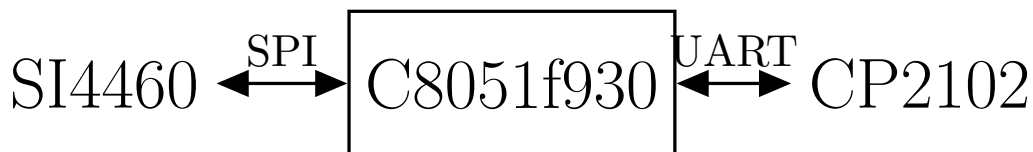
5.4. ábra. Egy az adatlapokban található táblázat[4]

## 6. fejezet

### Vezérlési lánc

#### 6.1. Kommunikációs interfészek

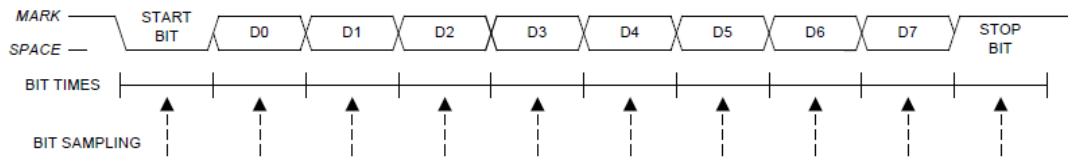
Az SI1062-ben lévő C8051F930-as mikrovezérlő több különböző kommunikációs protokollra is fel van készítve, többek között SMBus (*System Management Bus*) vagy  $I^2C$ . Számomra azonban csak a számítógéppel való kommunikációhoz egy UART, és a rádiós egységgel való kommunikációhoz egy SPI (*Serial Peripheral Interface*) interfészre van szükségem. Ezekhez a protokollokhoz egy hardveres támogatás is jár, Tehát regiszter szinten megvannak a szükséges változók, és a megszakítás kezelőben is saját vektorok vannak nekik fenntartva. Viszont inentől kezdve a fejlesztőnek, vagyis nekem kell implementálnom, hogy mit akarok kezdeni az így kinyerhető információval.



6.1. ábra. A C8051f930 különböző kommunikációs interfészei

#### 6.2. UART

A C8051F930-ban megvalósított UART egy asszinkron, full duplex kommunikációs interfész. Ehhez mindössze két vezetékot vesz igénybe, egy TX (*Transciever*) és egy RX (*Receiver*) lábat. Viszont a vezérlő ezt elrejtí elölünk, és az SBUF0 regiszterrel érjük el mindkét *buffert*. Ha olvassuk ezt a regisztert, akkor a vételi tárolóból kapjuk meg az adatot, ha írunk bele, akkor pedig ez lesz a következő bitsorozat amit kiküld. A 11.6 ábrán az UART0 blokkdiagramja látható, hogy míg a megvalósítása eléggé összetett, addig a fejlesztőnek, lényegében csak az ott látható SCON és SBUF regiszterrel kell foglalkoznia. Az SCON regiszterben lehet beállítani, hogy 8 vagy 9 bites módot szeretnénk megvalósítani, és itt találhatóak az *interrupt flagek* is. Az általam beállított értékek alapján az protokoll *Baud Rate*je 115200 bps, és egy 8N1-es adatszerkezetet valósít meg. Ez azt jelenti, hogy egy üzenet során 8 adatbitet küld, nem használ paritás bitet, és csak egy stop bitet alkalmaz.



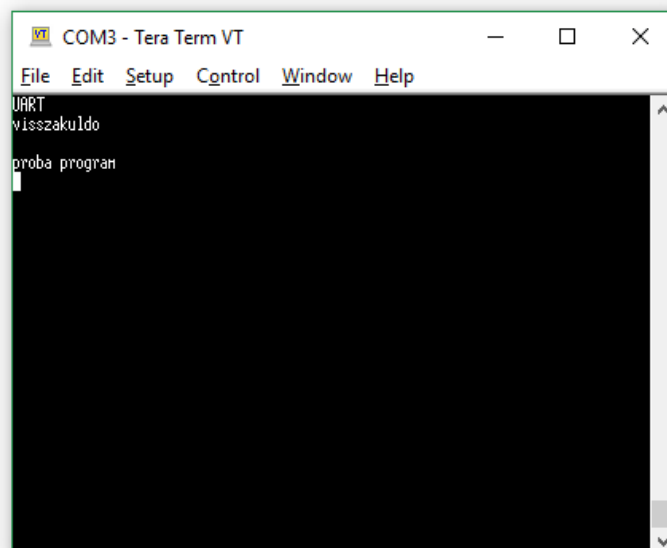
6.2. ábra. Az UART0 idődiagramja[4]

Az UART szoftveres kezelése még azért is egy egyszerűbb feladat, hiszen a két kommunikáló fél egyenrangú, köztük semmilyen *slave-master* viszony nem áll fent az én esetemben. A kezelés mindkét esetben a megszakítás kezelő segítségével oldottam meg, hiszen így tudtam a leggyorsabban reagálni az eseményekre, nehogy lemaradjak és felülíródjanak a kapott üzenetek. Alapvetően két-két buffert használtam vételre és adásra. Ebből az egyiket a közvetlen UART *interrupton* keresztül karakterenként töltődött vagy fogyott. A másikat pedig a főprogram és a megszakítás közötti kommunikációra, a vett parancsok és a küldeni kívánt adatok, átadására. Azért volt szükség ennek a két szintnek az elválasztására, mert így az éppen *interrupt* által végzett folyamatok, nem zavarják a főprogram futását, és csak akkor módosul a főprogram által használt tartalom, amikor abban már értelmes adat van.

A vételi oldalon (ÁBRA) sorzárásig, vagy a maximális hosszig gyűjtöm az érkezett karaktereket, majd ezt a másik tárolóba töltve, átadom a főprogramnak, és bebillentek egy változót, hogy szóljak, hogy üzenet jött.

Adásnál,(ÁBRA) a főprogram egy *stringet* biztosít az *interrupt* számára, ami a karakterenkénti kiküldést már egyedül, a főprogramtól függetlenül végzi.

Ennek a funkciónak a letesztelésére, egy egyszerű kis programot írtam, ami visszaküldi UARTon a kapott karaktereket.



6.3. ábra. Az UART0 interfész tesztje

## 6.3. SPI

A C80551F930 és az SI4460 között a kommunikációt egy SPI interfész oldja meg. Ez egy full-duplex szinkron soros busz. A szinkronitás ebben az esetben azt jelenti, hogy a vétel és az adás egyszerre történik, így elengedhetetlen, hogy a két eszköz között egy *master-slave* kapcsolat álljon fent. az adott felállásban egyértelmű, hogy a mikrokontroller lesz a *master*, mivel ezt tudjuk programozni, és a rádiós modul lesz a *slave*. A C8051F930 és az SI4460 két külön egység, viszont a Silabs fejlesztők munkáját megkönnyítendő, egy tokban integrálták SI1062 néven, és számos egyéb logikus döntést hoztak. A mikrokontroller két SPI interfésze közül az egyiket, az IC-n belül összekötötték a rádiós egységgel és ez már csak dedikáltan erre használható. Viszont mi továbbra is a C8051-est programozzuk, így erre figyelni kell, hogy a regiszterekben a láb kiosztás nekünk kell beállítani.

| MCU<br>GPIO | Radio Control<br>Interface |
|-------------|----------------------------|
| P0.7        | SDN                        |
| P1.0/SCK    | SCLK                       |
| P1.1/MISO   | SDO                        |
| P1.2/MOSI   | SDI                        |
| P1.3/NSS    | nSEL                       |

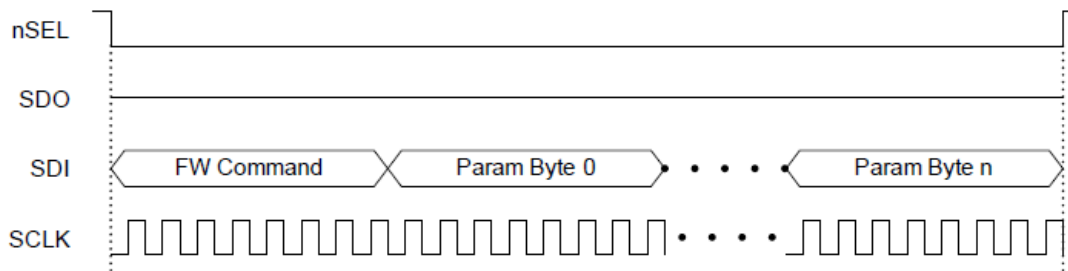
6.4. ábra. Az SI4460 és a C8051 lábösszerendelése[3]

Az itt látható lábakon kívül a rádiós IC rendelkezik még egy NIRQ lábbal, amivel hardveres megszakítást tud kérni a mikrokontrollertől, és négy GPIO lábbal, ami különböző állapotok jelzésére használható. Az SDN láb az SI4460 tápellátásáért felel, az SCK lábon pedig a kommunikáció során használt órajelet biztosítja a kontroller. A MISO és MOSI lábak a *Master/Slave* és *In/Out* rövidítéseiből állítható össze, ezeken keresztül folyik a tényleges adatfolyam. Az NSS egy *Slave Select*, amiben az N az alacsony aktív logikát jelöli. Ezt mindig szükséges alacsony logikai szintre húznunk, ha a rádiós egységgel szeretnénk kommunikálni.

A 11.7 ábrán is látható, hogy A Silabs itt is megvalósította az SPI kommunikációhoz szükséges alapokat, viszont ebben az esetben sokkal több regiszter értéket kell figyelniünk, és a kommunikáció is egy sokkal kötöttebb módon kell, hogy történjen. Az SPIDAT egy bufferként szolgál hasonlóan az UART esetéhez. Az SPICKR módosításával az SCK órajel frekvenciáját befolyásolhatjuk. A konfigurációs beállításokat a SPICFG és az SPICN regiszterben állíthatjuk, míg a számunkra hasznos *interrupt* bitek az SPICN bájtban találhatóak. Eredetileg az SPI kezelést is megszakítás segítségével oldottam meg, viszont később egyéb okokból ezt elvettem, és küldés után egy arra a bitre vártam, ami azt jelzi, hogy az adatküldés megtörtént.

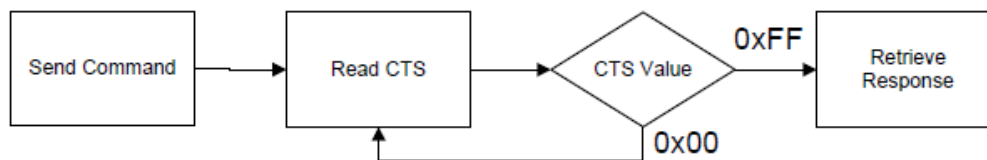
A kommunikáció fajtája egy pár esetre szűkíthető le. Egyrészt konfigurációs beállítások leküldése a rádiós egység számára. Erre nem várunk vissza reakciót, úgy vesszük, hogy mi sem rontottuk el, és a hardver is jól teljesítette a feladatot. Itt csak arra kell figyelniünk, hogy mielőtt küldjük az utasítást, győződjünk meg arról, hogy az előzőt már végrehajtotta, és készen áll az új fogadására.

Másik csoport a kérések leküldése amire választ várunk. Itt a leküldés után a *Slave Select*et elengedve, majd újra lehúzza egy úgynevezett CTS (*Clear To Send*) értéket mo-



6.5. ábra. Utasítás leküldése a rádió számára[5]

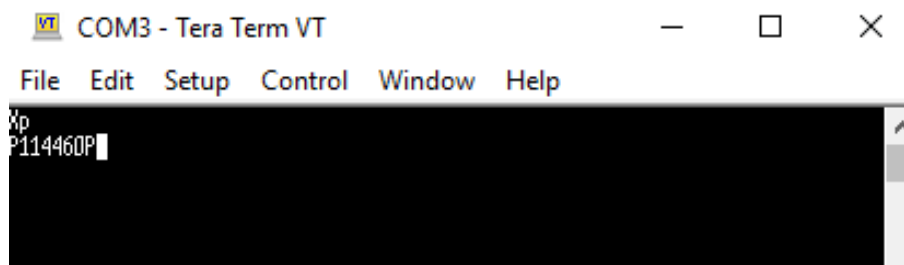
nitorozva várjuk, hogy az SI4460-as úgy jelezzen, hogy feldolgozta az utasítást, válaszra kész. Ezt egy *0xFF* válasszal jelzi, és ilyenkor az ez után kapott bájtok a válasz értékek. Mivel, hogy ha olvasni akarunk, akkor küldeni is kell valamit, ilyenkor érdemes egyszerű hexa nullát küldeni, azzal elkerülhetőek a nem kívánt hatások.



6.6. ábra. A CTS monitorozása[5]

A harmadik eset, amikor a rádió jelez, hogy történt valami, és kezeljük már ezt az esetet. Ez lehet egy csomag érkezése, egy detektált *preamble* vagy akár csak egy hibás utasítás is. Ilyenkor az NIRQ lábon jelez a vezérlő fele, hogy esemény történt. A kontrollernél célszerű ezt a lábat egy saját alacsony aktív megszakítással társítani, így azonnal tudunk reagálni az esetre. Ilyenkor is szükséges nekünk kezdeményezni az SPI kommunikációt, és kideríteni, hogy pontosan mit okozta a megszakítást. Az *interrupt* kérés törlése után a lépések megegyeznek a második típusú kommunikációval.

Az SPI interfész tesztjét egy egyszerű *PartInfo* paranccsal végeztem el, ami a leküldés után visszaküldi a rádió típusszámát. A 6.7 ábrán látható, hogy a 4460-as érték jött vissza, tehát a kommunikáció megvalósult.



6.7. ábra. Az SPI1 interfész tesztje

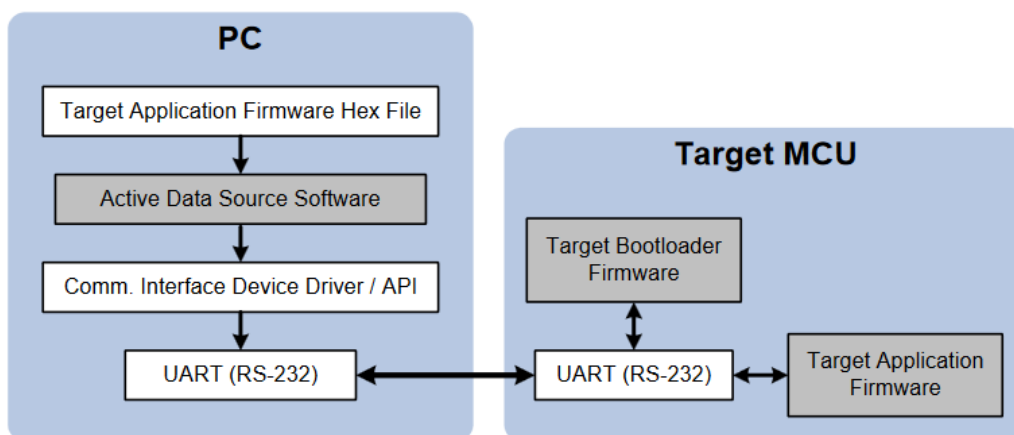
# 7. fejezet

## Bootloader

### 7.1. Szoftver frissítés

Ahogy már korábban említettem, a szoftverben szeretnénk volna nyitva hagyni azt a lehetőséget, hogy a későbbiekben módosíthassuk a vezérlőben lévő programot. Ez egyrészt, lehet a működést segítő/optimalizáló változtatás, vagy akár csak egy *Easter-egg*, hogy a SMOG-1 egy speciális üzenetére egy adott sorozatú LED villogtatást végez. Ezen kívül a vállalkozóbb szellemű embereknek is szeretnénk meghagyni az esélyt, hogy akár ők maguk készíthessenek egy kódot, amivel venni tudják a műholdat. Egy *bootloader* implementálásához a Silicon Labs is nyújt egy kis segítséget, de majd később látható, hogy ez így is egy rengeteg buktatókkal rendelkező feladat.

Egy mikrokontroller szoftverének a módosítására általában csak a programozói interfészen van lehetőség, ehhez pedig gyakran speciális programokra és programozó egységekre van szükség. Az nem várható el a lelkes amatőröktől, hogy rendelkezzenek ilyen eszközökkel, így egy másik lehetőség után kell nézni. A legtöbb kontrollerben meg van az a lehetőség, hogy direktbe memóriacímekre írjunk, így akár maga a rajta lévő programkód is módosítható. A vevő már amúgy is szerepel egy soros-porti csatlakozás, így ha meg tudnánk oldani, akkor ezen keresztül le tudjuk küldeni, hogy a program memóriában mit változtasson meg a vezérlő. Ehhez a módszerhez csak egy számítógépre és egy USB csatlakozóra van szükség, ezek többnyire pedig minden háztartásban megtalálhatóak.

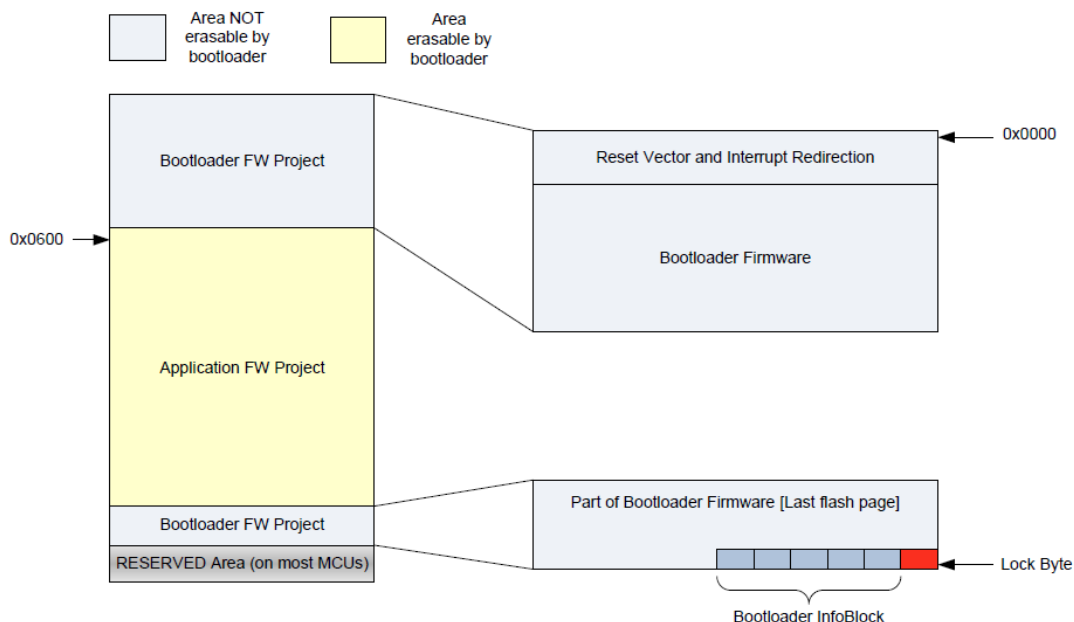


7.1. ábra. A bootloader felépítése[16]



## 7.2. A bootloader felépítése

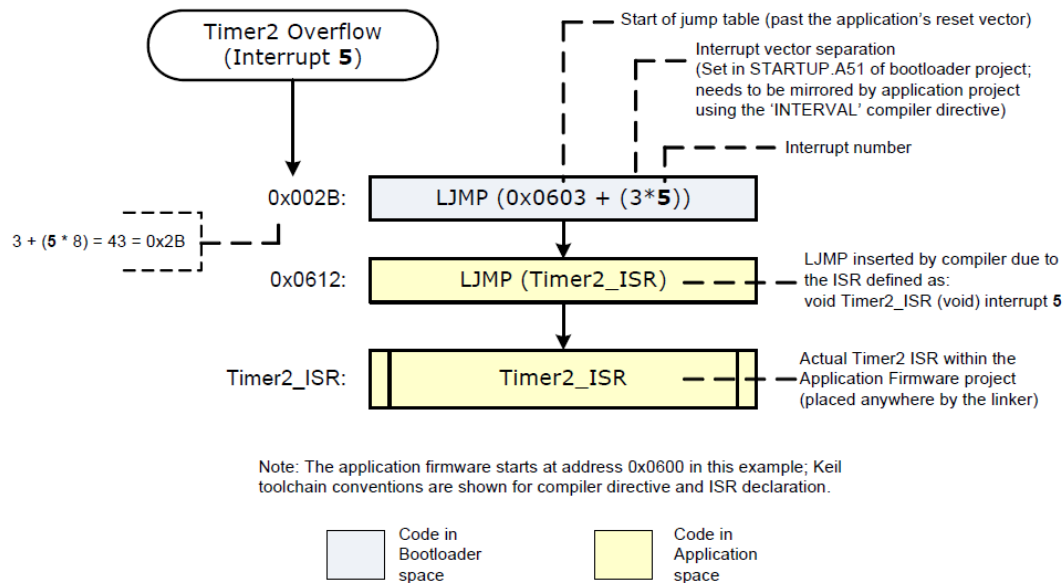
A bootloader egy megvalósítását láthatjuk a 7.1 ábrán. A három szürkével kiemelt rész a funkció elengedhetetlen részei. Egyrészt szükség van egy forrásra, ami biztosítja az adatokat, az adott memóriacímekhez tartozó bájtokat a mikrokontroller számára. Ezt a Silabs megvalósításában az *Active Data Source Software* valósítja meg, ehhez egy külön kis programot is készítettek, ami csak Windows operációs rendszer alatt működik. A vezérlő memóriájában két, egymástól független kód kap helyet. Az egyik magam a *bootloader* forráskódja, ami ezzel a *Data Source*-szal felveszi a kapcsolatot és és biztosítsa, hogy a hasznos kód jó helyre kerül. Ide érdemes egy védelmet alkalmazni, hogy nehegy véletlenül a *bootloader* felülírja magát, hisz futás közben omolhat össze az egész rendszer. Az egész legfontosabb eleme, pedig maga a program, amit ilyen módon akarunk frissíteni. Itt a frissítés csak képletes, hisz valójában az egész felhasználói programot újra kell fordítani, és a kontrollerre tölteni.



7.2. ábra. A mikrokontroller memória felosztása[15]

## 7.3. Memória elosztás

A C8051F930 64 kB kódmemóriával rendelkezik, ami azt jelenti, hogy a címtartomány 0x0000H-tól 0xFFFFH-ig terjed. Egy *Flash Page* 1kB, ami azért fontos, mert a *bootloader*, egyszerre egy oldalt tud kiírni. A *bootloader* programja a memóriában két részre van osztva. Egyrészt a memória elején található, hogy a tápfeszültség alá helyezett, és *bootol* rendszer itt induljon el. Itt a 0x0000H-tól a 0x0400H-ig tartó területet foglalja el az én esetemben. Másrészt az utolsó használható oldalt használja fel. Itt található a *Lock Byte* ami a memóriaterület végét jelzi, és emiatt ezt a területet a mikrokontroller szoftveresen nem írhatja felül. Ez a 0xF800H-tól a 0xFBFFH-ig terjed. A ténylegesen legutolsó oldal, nem használható terület. E között a területek között helyezkedik el a felhasználói program.



7.3. ábra. A megszakítás átirányítás[15]

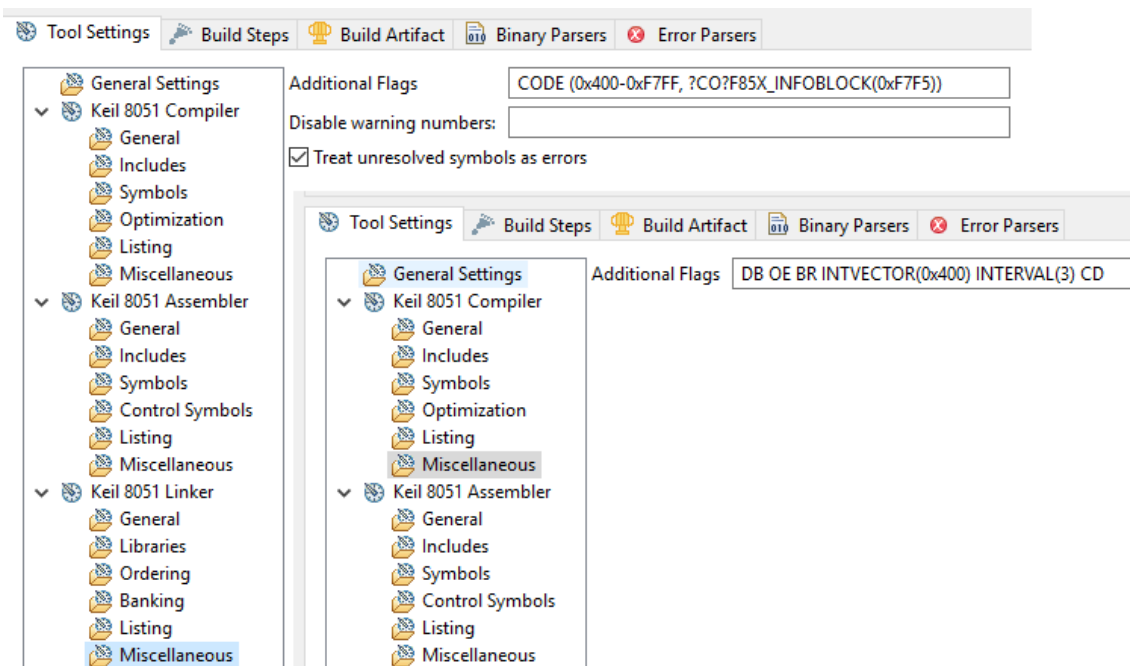
## 7.4. Megszakítás kezelés

A kódmemória területén az *interrupt* vektorok a 0x0000 címtől kezdődően helyezkednek el, a gyors elérés megkönnyítése érdekében. Ezek a memóriaterületeken csak egy átirányítás található oda, ahova be lett fordítva a megírt megszakítás kezelés. Viszont a memória eleje a *bootloader* által kezelt terület így ezt nem tudjuk módosítani, pedig ha változik a megszakítás kezelésünk és az eredeti helyére nem fér el, akkor a fordító egy másik memória területre helyezi el. Ezért a mi helyzetünkben itt csak egy átirányításnak kell lennie a felhasználói területre, ahol tároljuk ezeket a vektorokat, amik megmondják, hogy az adott *interrupt*ot hogyan kezeljük.

## 7.5. Átportolás

A fentiekből az látható, hogy ez elméletileg egy elég jól definiált, és nem túl összetett feladat, pláne, ha a Silicon Labs még segítséget is nyújtott számunkra. Valójában A gyártó csak pár C8051 változatra készítette ezt el, az F930-asra nem. Így a verziószámomban legközelebbi, F850-es verzióról kezdtem el átportolni a saját vezérlőmre. Ezt nehezítette, hogy azt a típust is csak részben ismertem, amivel én dolgoztam, a korábbi egyáltalán nem. Pár lényeges különbségre elég gyorsan rá lehetett jönni (például a 32kB-os kódmemória és a 512 bájtos *Flash Page*), viszont több dologra csak a nemműködés következtében derült fény.

Fordítás közben már szükséges tudni a kódok pontos elhelyezkedését, így a fejlesztő környezet számára is egyértelművé kellett tennünk, hogy milyen részeket hova szeretnénk befordítani. Ezeket a 7.4 ábrán látható módon tehetjük meg. A megszakítás átirányítás azonban még tartogatott meglepetéseket. Ugyanis a korábbi IC-ben csak kevesebb *interrupt* volt található, így a bootloaderben lévő JUMP tasítások csak ezekhez voltak elkészítve. Okozott pár érdekes pillanatot amikor a felhasználói programban lévő SPI megszakítás hívásakor a program hirtelen a *bootloader* módban kötött ki, egy fagyott meg. Azt hogy aktuálisan melyik kódrészben vagyok, a LED-ekkel jelzem. A *bootloa-*



7.4. ábra. A fordítási címtartomány kiválasztása

deres esetben a gyártó által biztosított *debugger* már nem volt használható, hiszen már nem pont az a kód volt a memóriában ami fordítva lett. Ilyenkor már csak a LED-ekre számíthattam a futás közben állapotok jelzésére, és különböző fordítási melléktermékeket bújhattam, hogy hova éppen milyen kód lett a fordító által befordítva, és mi okozhatja a hibás működést.

|      |       |       |          |                                             |
|------|-------|-------|----------|---------------------------------------------|
|      | 0075H | 001EH |          | *** GAP ***                                 |
| CODE | 0093H | 0002H | ABSOLUTE |                                             |
|      | 0095H | 006BH |          | *** GAP ***                                 |
| CODE | 0100H | 00F9H | UNIT     | ?PR?MAIN?FXXX_TARGETBL_MAIN                 |
| CODE | 01F9H | 0085H | UNIT     | ?C_C51STARTUP                               |
| CODE | 027EH | 0041H | UNIT     | ?PR?_TGT_WRITE_FLASH?FXXX_TARGETBL_COMMANDS |
| CODE | 02BFH | 003BH | UNIT     | ?C?LIB_CODE                                 |
| CODE | 02FAH | 0037H | UNIT     | ?PR?_GET_BUF_CRC?F85X_CRC                   |
| CODE | 0331H | 002DH | UNIT     | ?PR?_SRC_GET_PAGE?F85X_COMM_UART            |
| CODE | 035EH | 0028H | UNIT     | ?PR?_FLASH_MODIFY?F85X_FLASH                |
| CODE | 0386H | 0024H | UNIT     | ?PR?_UPDATE_CRC?F85X_CRC                    |
| CODE | 03AAH | 0023H | UNIT     | ?PR?_UART_RECEIVE?F85X_COMM_UART            |
| CODE | 03CDH | 001EH | UNIT     | ?PR?SRC_GET_PAGE_INFO?F85X_COMM_UART        |
| CODE | 03EBH | 0012H | UNIT     | ?PR?F85X_COMM_UART                          |

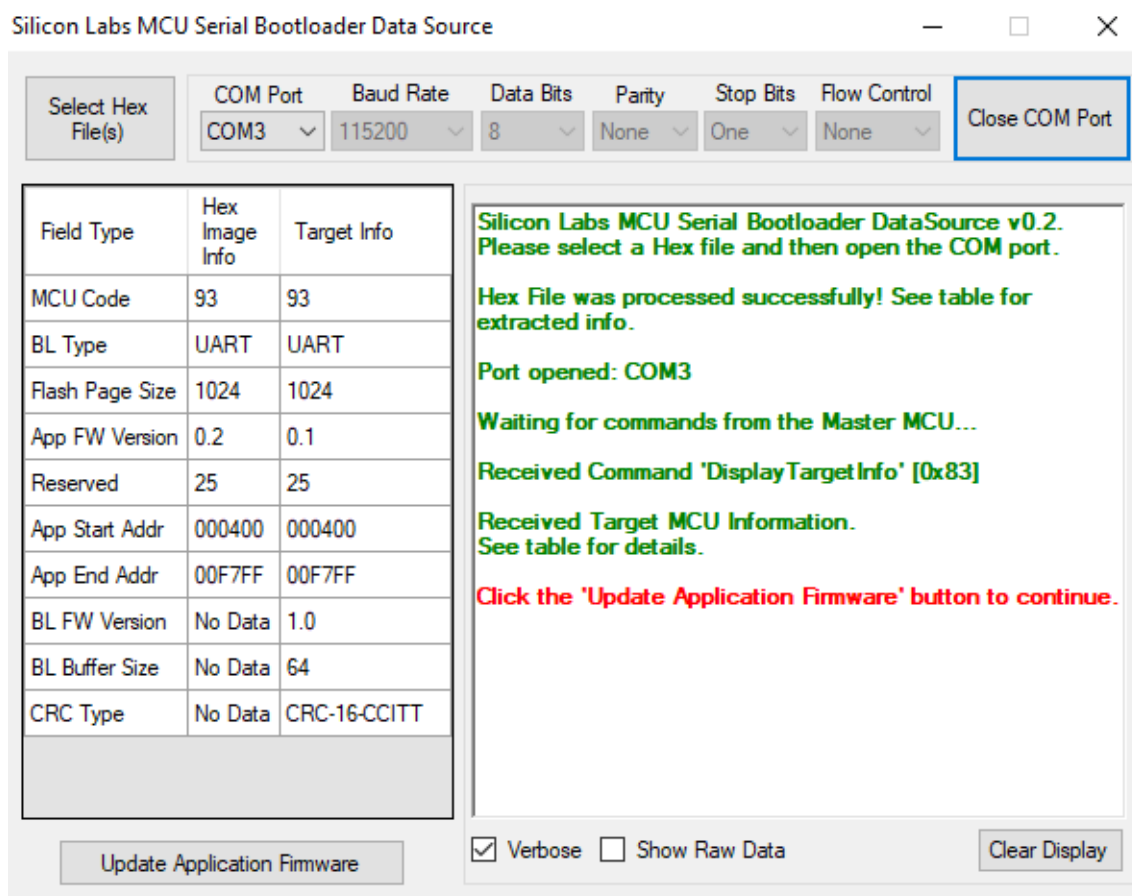
7.5. ábra. A fordítás memóriaképe

## 7.6. Frissítés menete

Az ilyen módon történő frissítés menete a következőből áll. A legelső és legfontosabb feladat, magának a *bootloader* programnak a vezérlőre juttatása. Ezt csak a hagyományos módszerrel, a programozólábakon lehet elvégezni. Viszont ez után, A Silabsos program segítségével már USB-n keresztül is rá lehet tölteni a felhasználói programot. Ehhez a fordítás után kapott *.hex* fájlt a programba be kell tölteni, és *bootload* módba helyezni a csatlakoztatott vezérlőt. Ez a mód több féleképpen érhető el.

Az eszköz alaphól *bootload* üzemben indul, viszont ha a felhasználói memóriaterület végén, az *Info Block*ban megtalál egy bitsorozat, akkor átvált felhasználói módra, és a 0x0400H címre irányítódik át. Viszont megmondhatjuk neki, hogy mégis csak *bootload* módban induljon. Ehhez én két különböző módszert is bevettem. Egyrészt felhasználói szoftverből, ha a P0.2-es lábat a felhasználó fizikailag földre húzza, akkor egy memória túlcímzés miatt újraindul, és itt egy ERROR regiszterben látni fogja, hogy mi miatt indult újra. Viszont ha a szoftver meghalna egy keményebb módszert is alkalmaztam, mégpedig, hogy ha az induláskor szintén ez a láb, szintén földre van húzva, akkor is *bootload* módban indul. Ezekre azért volt szükség, mert az első frissítés után a felhasználói memóriaterület végébe bekerülnek azok a bitek, amik következtében, mindig ebbe a módba indulna, így nem lenne lehetőségünk többször módosítani a programon.

A frissítést a Silabsos programból csak akkor indíthatjuk el, ha a mikrokontroller *bootload* módban indult, és jelzett, hogy ő kész a műveletre (7.6 ábra). A bootloading a befejeztével (11.8 ábra) automatikusan a felhasználói kódra ugrik át, és már a mi programunk fut rajta.



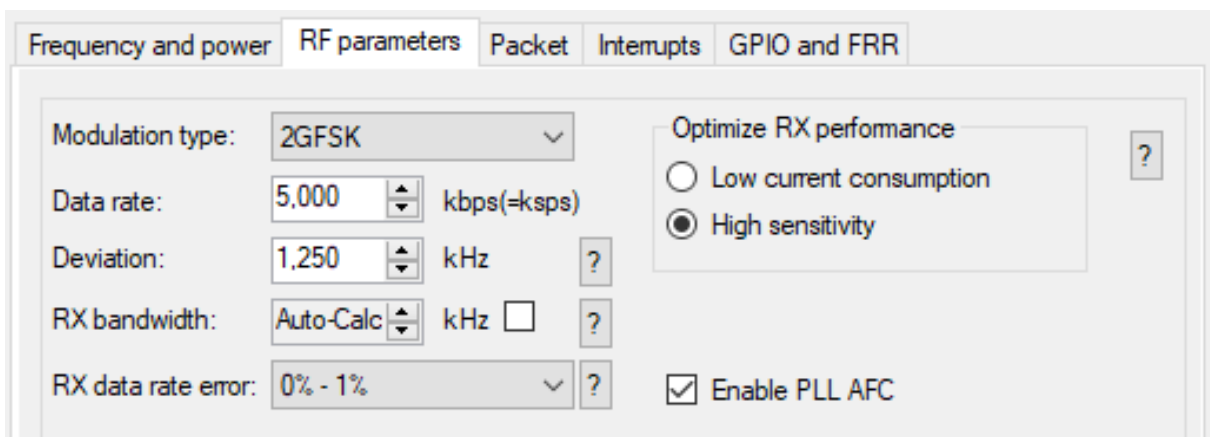
7.6. ábra. A bootload folyamat megkezdődhet

## 8. fejezet

# Rádiós egység

### 8.1. A SMOG-1 kommunikációs rendszere

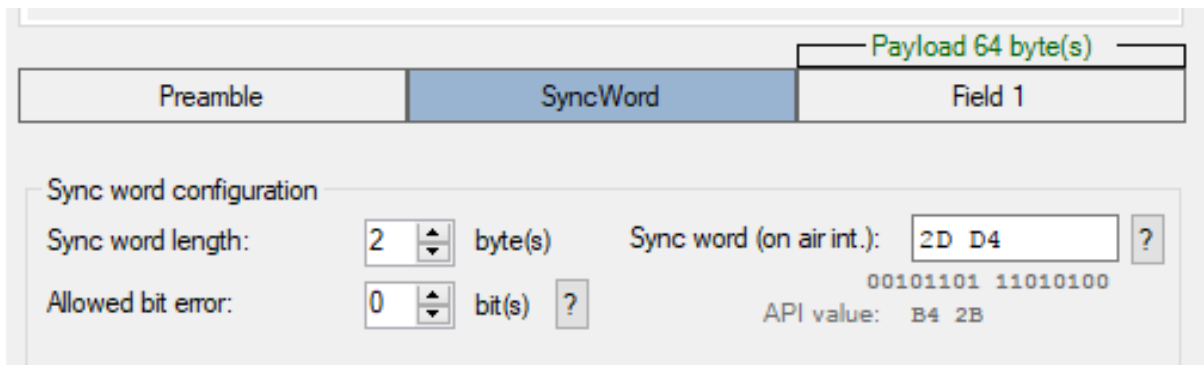
A SMOG-1 alapvetően kétirányú kommunikációt valósít meg, hisz az űrben mért adatokat valahogy el kell juttatnia a csapat számára, és a Földről való irányításra is szükségünk van. A lefele irányú kommunikáció 437,345 MHz-en valósul meg 2GFSK moduláció segítségével. Ez egy egyszerű FSK eljárás 1,250 kHz-es frekvencia lökettel. A rövidítésben A G a *Gaussian* tagért felel, ami a gyakorlatban az jelenti, hogy a jel egy Gauss-szűrőn halad keresztül, ami a sávszélességre lesz jótékony hatással. Az adatsebesség a vezérlő irányban mindig 5000 bps míg *downlink* irányban több különböző értéket vehet fel, például 1250 bps, 5000 bps, vagy 12500 bps értéket. Ezekre azért van szükség, mert a kis műholdnak csak korlátozott energiája áll rendelkezésre, ezért hanem a legjobbak a vételi viszonyok, akkor lejjebb tud váltani egy alacsonyabb adatsebességre, ezzel egy robusztusabb megoldásra. Az *uplink* irányban erre nincs szükség, hiszen az teljesítményben itt sokkal nagyobb tartalékok vannak a rendszerben. A nagyobb adatsebességekre pedig azért van szükség mert Magyarország felett csak korlátozott ideig fog tartózkodni, és jó lenne ez idő alatt minél több adatot eljuttatni a földi állomásra.



8.1. ábra. A WDS konfigurációs beállításai

A SMOG-1 a kommunikáció során csomagokat vesz és küld amire szintén vannak megkötések. Ezek a csomagok egy úgynevezett *Preamble* szakasszal kezdődnek, amik felváltott 1-es és 0-ás bitnek felelnek meg. Erre azért van szükség hogy a vevő megtalálja a helyes bitszinkront. Ezután egy két bájtos *Sync Word* következik, ami a bájtiszinkron felismeréséért felel, és ez után jönnek a hasznos adatok. Itt pontosan 64 adatbájt érkezik,

amit egy CRC (*Cyclic Redundancy Check*) követ, ami az esetleges bithibák felismeréséért felel.



8.2. ábra. A SMOG-1 csomagszerkezete

## 8.2. A rádió felkonfigurálása

A fentebb vázolt konfiguráció rádióra való töltésének nagyon hosszadalmas és kockázatos módja lenne az adatlapból kikeresett értékek SPI interfészen való leküldése. Ha csak egy regisztert elfelejtünk a helyes értékre beállítani (a tudtukon kívül) akkor a SMOG-1 vétele nem fog megtörténni. Éppen ezért a Silabs a rendelkezésünkre bocsájtott egy WDS (*Wireless Development Suit*[17]) nevű programot, ahol egy grafikus felületen "összekattinthatjuk" a számunkra megfelelő beállításokat, és ő ebből egy *header* fájlt generál a programunkhoz. Ezt sokkal egyszerűbb *include*-olni, és a megfelelően strukturált tömböt, szintén az SPI buszon leküldeni. Ennek a programnak a részletei láthatóak a 8.1 és a 8.2 ábrán.

## 8.3. Vétel

A rádiónak több állapota is van, például felkonfigurálás után *Ready State*-ben van, míg ha minimális energiafogyasztást szeretnénk, akkor ezt a *Sleep* módba helyezéssel elérhetjük. Számomra ezek most nem voltak szükségesek, Elég volt az *RX State*, amibe szerencsére bármilyen állapotból gyorsan áthelyezhetjük. Csak ebben a módban vesz a vevő, így ha szeretnénk venni a SMOG-1 jeleit akkor át kell ide manuális állítani. Ha ezt megtettük akkor a rádió elkezd monitorozni az éter, hogy megtalálja-e a *Preamble*-t és az azt követő szinkron bájtokat. Ha es megtörtént, a következő bájtokat lementi az *RX FIFO* nevű tárolójába és egy belső regiszter jelezni fogja, hogy csomag jött. Ha szeretnénk, hogy nekünk kifele (a mikrokontroller fele) is szóljon, akkor még a konfigurációnál ki kell választani, hogy erről az esetről – csomag vétel – küldjön egy megszakítást kérést, amit a C8051 P0.1-es lábára kötöttem. A vezérlőnek itt egy külső megszakításkérést állítottam be, így nagyon gyorsan tudom lereagálni a vételt. Ezen kívül még számos *interrupt* is konfigurálható, például egy hibásan leküldött *command* esetét is le tudjuk így reagálni. Miután a rádió szól, hogy történt valami, a *Master-Slave* viszony miatt nekünk kell megkérdezni, hogy milyen esemény következett be. Itt a megfelelő regiszterek visszaolvasásával megtudhatjuk a megszakítás kérés okát, és a csomag vétel esetén tudjuk folytatni a szükséges lépéseket. Ilyen esetben az *RX FIFO* bufferből ki kell olvasni az adatokat, hisz ez csak 64 bájtot képes tárolni, így egy csomag után megtelik. Ha ez

megettörtént, akkor törölni kell a *fifo*-t és visszaállítani az *RX State*-et. Én csak ezután küldtem vissza a bájtokat soros porton, hiszen minél hosszabb ideig van a rádió vételi állapoton kívül, annál nagyobb a valószínűsége, hogy lemaradunk egy csomagról.

## 8.4. RSSI

A vétel során a csomagokon kívül még egy értékes információt tudunk kinyerni a rádióból, ezt pedig az RSSI (*Received Signal Strength Indicator*). Ebből kétféle található meg az SI4460-ban. Az egyiket úgy méri, hogy amikor megkérdezzük az értéket, akkor megméri az aktuális jelszintet a bemenetén, és azt adja vissza. Ezzel sok mindent nem tudunk kezdeni így feltételezhető, hogy a ténylegesen a vett jel erősségét a másikkal tudhatjuk meg. Azt az értéket, mindig a csomagvétél elején (például a szinkronbájtoknál) méri, így ezzel már a tényleges hasznos adatot lehet kinyerni. Ez azonban még nem egy dBm érték, ehhez át kell alakítani. Ezt az RSSI-t egy bájton tárolja, így egy 0-tól 255-ig terjed egész felbontásban. Ezt az értéket le kell osztani kettővel, hogy 0,5 dBm-es felbontást kapjunk. Ilyenkor már 0-tól 127,5-ig ér a tartományunk. Ez azonban még nem megfelelő számunkra, hisz a vevő érzékenysége  $-126$  dBm-ig terjed. Ezért egy ofszet ki kell vonni még belőle, és így kapjuk meg a vett jel erősséget dBm-ben.

## 9. fejezet

# Antenna

### 9.1. Földi állomás

A műhold vételére és vezérlésére szolgáló elsődleges állomás, a Budapesti Műszaki és Gazdaságtudományi Egyetem E épületének a tetején található. Itt egy 3 és egy 4,5 méter átmérőjű parabolaantenna helyezkedik el. Ilyen méretekkel már megfelelő irányélességet, és antennanyereséget el lehet érni. Az új forgatónak köszönhetően, már folyamatos műhold követésre is képes. Könnyen megérthető, hogy egy ilyen nagyobb mennyiségben készített SMOG-1 vevőhöz valami kisebb, olcsóbb és egyszerűbben kezelhető antennát célszerű választani.

A Masat-1 esetén is hasonló volt az elvárás, tehát egy egyszerű, olcsó és könnyen kezelhető antennát kellett találni. Ez abban az esetben egy 6 elemes *yagi* antennát jelentett, aminek mérőszalag és colostok az alapanyaga. Ennek az előnye a fentebbiek felett még könnyen javítható, és akár otthon is könnyen elkészíthető. Mellesleg, egyszer már jól teljesített egy kisműhold vételénél, szóval okkal remélhető, hogy ismét sikeres lesz ez a dizájn.

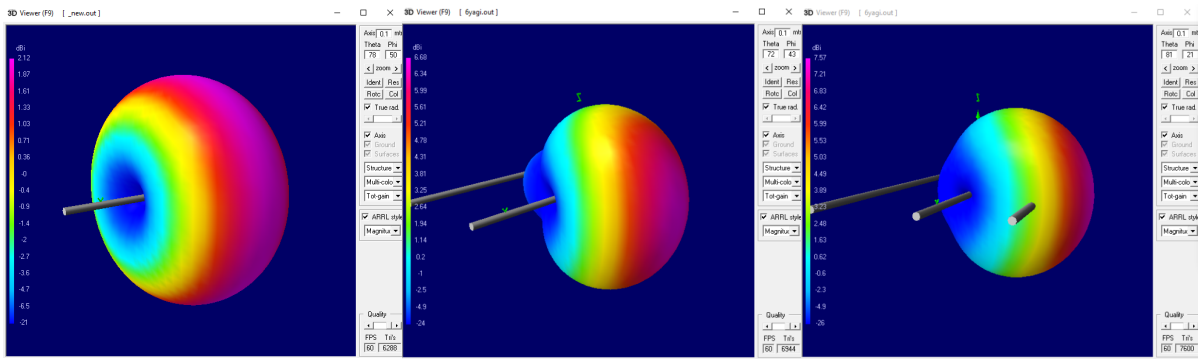
### 9.2. Yagi antenna

Az általam elkészített *yagi* antenna egy aktív, és öt passzív elemből áll. Az aktív elem a feszültséggel meghajtott elem (vevők esetében ennek a feszültségét figyeljük), míg passzív elemek, a kedvező iránykarakterisztikáért felelnek. A passzív elemek is két részre pont-hatóak, reflektorokra és direktorokra. A reflektor az aktív elem "mögött" míg a direktor az aktív elem "előtt" módosítja számunkra kedvezően a karakterisztikát. Az "előtt" és "mögött" kifejezést itt úgy kell érteni, hogy a kívánt irányítottsághoz képest. Tehát a meghajtott elemhez képest a direktor, abba az irányba helyezkedik el, amerre szeretnénk az antennával adni (vevő esetében amerről venni szeretnénk). Jelen esetben egy meghajtott elem, egy reflektor, és 4 direktorra volt szükség.

### 9.3. Tervezés

Az antenna tervezéséhez is szimulációjához a *4nec2*[18] programot használtam. Ez a hátterben differenciálegyenletek és peremfeltételek sokaságát számolja ki a szoftver, és ezekből kapja meg a végül megjelenített értékeket. A tervezés során egyszerre kellett figyelnem a 50  $\Omega$ -os impedanciára, a helyes reflexiótényezőre, és az antennának a nyereségére is.

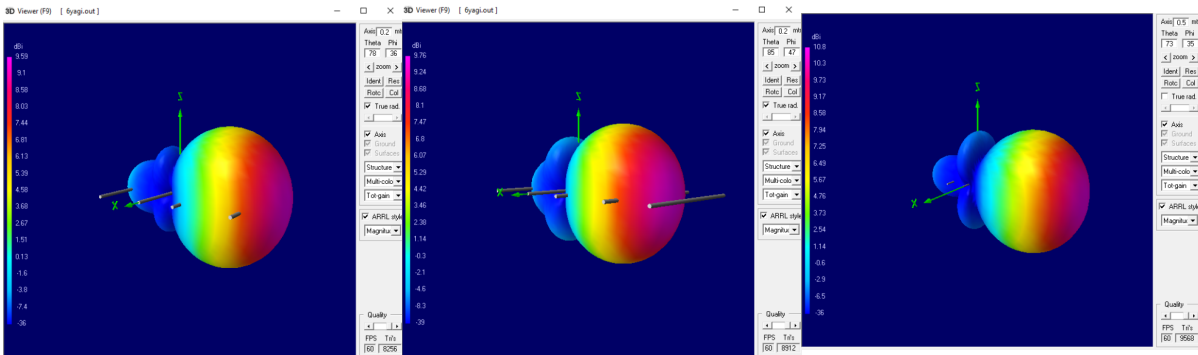




(a) 1 elem

(b) 2 elem

(c) 3 elem



(d) 4 elem

(e) 5 elem

(f) 6 elem

9.1. ábra. A kapott iránykarakteristika különböző elemszámok esetén

Először az aktív elemet vettem adtam hozzá az antennához, és ehhez próbáltam a megfelelő hosszúságot megtalálni. Ideális esetben ez  $\frac{\lambda}{4}$  ( $0.17149\text{ m}$ ) lenne, azonban a mérőszalag antenna miatt adott volt a vezető sugár, így ettől egy kicsit el kellett térnem. A többi elemnél az elem hosszát, és a táplált tagtól való módosítva lehetett hangolni az antennát. A 3D szimuláció során szemmel is megvizsgálhattam a kapott végeredményt. Ez az egyszerű dipol karakterisztikából lépésenként alakult át egy irányított antennává (9.1, 11.9).

A 11.9 ábrán jól látható, hogy a főirányban az antenna nyeresége  $10.8\text{ dB}$ , az előre-hátra viszony  $14\text{ dB}$  és az ehhez tartozó irányélességi szög  $60^\circ$ . Ez számunkra jó, hiszen nagyban megkönnyíti a SMOG-1 követését az égen. A 11.10 ábráról leolvasható, hogy az állóhullámarány lényegében 1, míg a reflexiók tényezője meghaladja a  $-45\text{ dB}$ -t.

|               |                  |                |                 |
|---------------|------------------|----------------|-----------------|
| Filename      | Gyagi.out        | Frequency      | 437.4 Mhz       |
|               |                  | Wavelength     | 0.685 mtr       |
| Voltage       | 71.8 + j 0 V     | Current        | 1.39 + j 0.02 A |
| Impedance     | 51.5 - j 0.92    | Series comp.   | 3.e-4 uH        |
| Parallel form | 51.5 // - j 2877 | Parallel comp. | 1.047 uH        |
| S.W.R. 50     | 1.04             | Input power    | 100 W           |
| Efficiency    | 100 %            | Structure loss | 0 W             |
| Radiat-eff.   | 100 %            | Network loss   | 0 W             |
| RDF [dB]      | 10.8             | Radiat-power   | 100 W           |

9.2. ábra. A szimulátor által számolt értékek

# 10. fejezet

## Kvalifikációs mérések

### 10.1. Rádió mérése

Elsőnek a rádió alap funkcióját mértem meg, hogy képe-e csomagokat fogadni. Mivel addig módosítottam a kódot, amíg ez nem sikerült, így következőnek minősítési méréseket végeztem. Ennek keretén belül különböző adatsebességek esetén mértem meg az érzékenységet, ezen a szinten a bit-, és csomaghiba arányokat, és a frekvencia szelektivitást.



10.1. ábra. A mérési elrendezés

A mérést 2017. 12. 01. napon végeztem a V1504 laborban. A vizsgálat során előre ismert teljesítménnyel ( $-80\text{ dBm}$ ), ismert karakterekből álló fix mennyiségű (49 db) csomagot küldtem a vevő SMA csatlakozójára, állítható csillapítók keresztül. A csillapítók közül az egyiknek a felbontása  $10\text{ dB}$  míg a másiké  $1\text{ dB}$ . Az érzékenységet úgy állapítottam meg, hogy a teljes vett adatokra,  $1\%$ -nyi BER-t (*Bit Error Rate*) engedtem meg. Ez elsőre egy minimális hibaszintnek vélhető, viszont ha jobban belegondolunk, akkor könnyen kiszámítható, hogy a 64 bájtos csomagból már 5 bit meghibásodása szükséges, ami pedig már egy elég zavaró hiba a visszafejtésnél. Ezt az értéket az állítható csillapítók segítségével értem el. Utánna ezekből az adatokból megállapítottam a PER-t (*Packet Error Rate*). A csomagok elvesztése a szinkron bájtok meghibásodása miatt következik be. Ezt követően  $10\text{ dBm}$ -mel nagyobb teljesítményen egy frekvenciaszelektivitást mértem. Azért alkalmaztam magasabb adóteljesítményt, hogy a bekövetkező hibákért, csak a frekvencia elállítás legyen felelős. Ezeket a méréseket 3 különböző adatsebességre végeztem el, ezek a következők:  $1250\text{ bps}$ ,  $5000\text{ bps}$  és  $12500\text{ bps}$ .

A 10.1 táblázatban láthatóak a mérési eredmények. Az RSSI értéket az SI4460 beemenetén méri a rádió. Ezek az elvárt viselkedést tanúsították, azaz minden esetben a rádió érzékenységi szintjével ( $-126\text{ dBm}$ ) körüli értéket tapasztaltam. Az én értékeim kicsit magasabb értékek, mivel az adatlapi értékeket kisebb bitsebességnél adták meg. Az  $1\%$ -os bithiba arányt nem volt egyszerű pontosan meghatározni, hiszen a csillapítóim csak decibeles felbontásra voltak képesek, és felül látható, hogy a célként kitűzött értéket körülbelül  $0.5\%$ -kal sikerült körbelőnöm. Az adatsebesség növelésével az érzékenysége csökkent, hiszen kevesebb ideje volt a vevőnek meghatározni az analóg jelhez tartozó logikai értéket.

10.1. táblázat. A laborbeli mérések eredményei különböző bitsebességeknél

| 1250 bps   |                       |            |         |        |          |
|------------|-----------------------|------------|---------|--------|----------|
| Csillapító | Hibás bit             | Összes bit | BER     | PER    | RSSI     |
| 59 dB      | 173                   | 21504      | 0,008   | 0,1429 | -118 dBm |
| 60 dB      | 216                   | 14336      | 0,015   | 0,4286 | -120 dBm |
| 50 dB      | Doppler tűrő képesség |            |         |        |          |
|            | -1490 Hz              |            | +940 Hz |        |          |

| 5000 bps   |                       |            |          |        |          |
|------------|-----------------------|------------|----------|--------|----------|
| Csillapító | Hibás bit             | Összes bit | BER      | PER    | RSSI     |
| 53 dB      | 63                    | 20992      | 0,003    | 0,1633 | -113 dBm |
| 54 dB      | 260                   | 14848      | 0,018    | 0,4082 | -113 dBm |
| 44 dB      | Doppler tűrő képesség |            |          |        |          |
|            | -3650 Hz              |            | +2960 Hz |        |          |

| 12500 bps  |                       |            |          |        |          |
|------------|-----------------------|------------|----------|--------|----------|
| Csillapító | Hibás bit             | Összes bit | BER      | PER    | RSSI     |
| 49 dB      | 175                   | 22016      | 0,008    | 0,1225 | -104 dBm |
| 50 dB      | 220                   | 15872      | 0,014    | 0,3674 | -105 dBm |
| 40 dB      | Doppler tűrő képesség |            |          |        |          |
|            | -6520 Hz              |            | +5990 Hz |        |          |

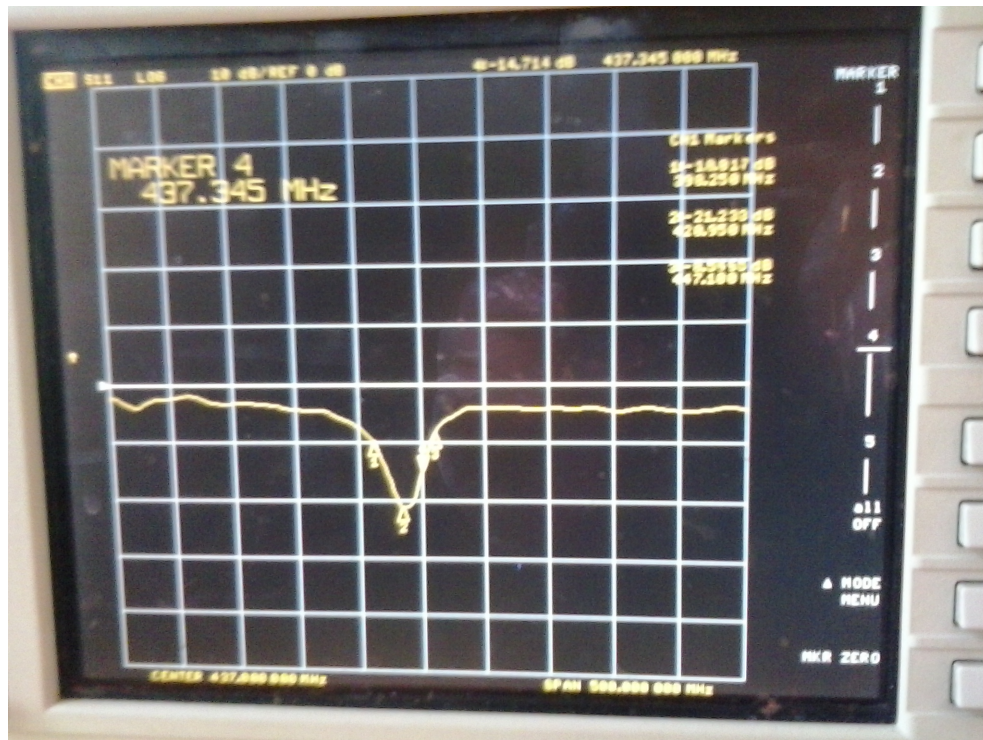
A csomagvesztéseknél láthatjuk, hogy nem független a bithiba aránytól, viszont annál jóval meredekebb, hisz ha a kezdeti szinkronbájtok, vagy a *preamble* meghibásodik akkor a rádió nem képes megtalálni a bit vagy a bájt szinkront. A frekvenciaszelektivitás értéke viszont az adatsebesség növelésével javul, ami annak tudható be, hogy a az adatsebesség növelésével a sáv szélesség is nőni fog, így nagyobb sáv szélességnél nagyobb frekvenciahiba szükséges a vétel elvesztéséhez.

A mérésnél a -80 dBm-es adóteljesítmény és 50 – 60 dB csillapító következtében a vevő bemenetén (SMA csatlakozó) olyan -130 – 140 dBm jelszint volt mérhető, ez pedig kétségessé teszi a mért értékek valóságát. Ha kiszámoljuk a termikus zajteljesítményszintet ( $10 \cdot \log(1,38 \cdot 10^{-23} \frac{J}{K} \cdot 300 K \cdot 7500 Hz) + 30$ ), akkor arra -135 dBm-t kapunk. GFSK jelnél pedig egy 6 dB-vel fölötte kell lennie a jelszintnek, hogy azt demodulálni lehessen. Így valószínű hogy az 12150 bps-es esetben a szabad térben csatlakódott át a jel. Ezt kiküszöbölni csak nagyobb távolságú mérés esetén lehet, ebben az esetben pedig a vevő, és az adó is a számítógépemhez volt csatlakoztatva USB-vel így korlátozott volt az adó és a vevő maximális távolsága.

## 10.2. Antenna

Az antenna a korábban említett alapanyagokból, colostokból és mérőszalagból épült. A 11.11 ábrán látható az elkészült darab. 2017. 12. 06-án a V1504-es laborban egy hálózat-analizátorra kapcsolva megmértem a reflexió tényezőt (S11) paramétert. Az 10.2 ábrán a szimulált értékekhez hasonló 11.10 menetet láthatónk. A frekvenciában egy kicsit lejjebb van tolódva, és a mért érték is elmarad a szimulálthoz képest. A hibákat a nem milliméter pontos illesztések, és az esetleges mérési pontatlanságok mellett, a mérés környezetében lévő rengeteg fém okozta. De ettől függetlenül szépen látható, hogy a kívánt a frekven-

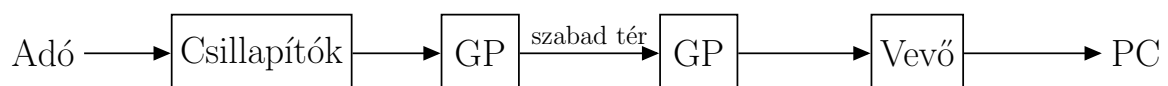
cián is  $-14$  dB-s elnyomás van a rendszerben,  $429$  MHz-en pedig  $21$  dB. A megépített antenna nyereségét, irányélességi szögét, a keresztpolarizációs elnyomást, és az előre hátra viszont csak a terepi mérés során tudtam meghatározni.



10.2. ábra. A mért reflexió tényező

### 10.3. Terep

A terepi mérést 2017. 12. 08-án, reggel végeztem a Gellért hegyen, míg a konzulensem a BME E épületének a tetején az adót kezelte (11.12 ábra). Az adót egy fix teljesítményű ( $0$  dBm) SDR (*Software Defined Radio*), két változtatható csillapító ( $10$  és  $1$  dB-s felbontás), és egy GP antennából áll. Ez az antenna körsugárzó, így a nyeresége az izotróp sugárzóhoz képes  $2$  dB. A szabadtéri szakaszcsillapítás az E tető és a Gellérthegy közötti  $1,2$  km-en  $87$  dB.



10.3. ábra. A mérés blokkvázlata GP vevőantennával

A vételi oldalon első esetben én is egy GP antennával voltam, ehhez csatlakozott a vevő, ahhoz meg egy USB kábel segítségével a számítógépem. Ilyenkor az adó oldali csillapítás állításával megkerestük az  $1\%$ -os BER-hez tartozó RSSI értéket. Ez azért volt fontos, mert a következő mérésnél a GP antennát az általam tervezett yagi antennára cseréltem, és a csillapítók változatlanul hagyása mellett, az így vett, és az előző mérésnél kapott RSSI segítségével meghatározható a yagi antenna nyeresége. Ebben az esetben az antenna és a vevő között egy  $1,5$  m-es kábel körülbelül plusz  $1$  dB csillapítást jelent.

Ez után a csillapítókat kiiktattuk az adóból, így rendelkezésemre állt elég teljesítmény, a következő mérésekhez, amiknél az vett RSSI abszolút értéke nem, csak a relatív változás volt fontos. Így mértem meg a 3 dB-hez tartozó irányélességi szöget, a keresztpolarizációs csillapítást, és az előre-hátra viszonyt.



10.4. ábra. A mérés blokkvázlata yagi vevőantennával

10.2. táblázat. A terepi mérés eredményei

| Jelszint                        |                        |                 |                  |
|---------------------------------|------------------------|-----------------|------------------|
|                                 | Antennánál a levegőben | SMA csatlakozón | Si4460 bemenetén |
| GP                              | -93 dBm                | -92 dBm         | -70 dBm          |
| Yagi                            | -123 dBm               | -110 dBm        | -92 dBm          |
| 3 dB-es irányélesség            |                        | 70°             |                  |
| Keresztpolarizációs csillapítás |                        | 13 dB           |                  |
| Előre-hátra viszony             |                        | 15 dB           |                  |

A mért értékekkel elégedett vagyok, hiszen az antenna nyeresége a kitűzött célt, és az irányélessége és keresztpolarizációs csillapítása is hasonló a szimulációs értékekhez. Ezeknek az adatoknak a birtokában feltételezhető, hogy a SMOG-1-et is képes lesz venni, amikor az a Föld körül kering. A GP antenna esetében nem sikerült az érzékenységet jól kimérni, a mért érték jelentősen elmaradt a várakozásoktól. Ez a Gellért hegyen feltételezhetően nagy interferenciaszint, és a környezetben megtalálható sok fém hatása lehetett. Az érzékenységet így a yagi antennánál mértük meg, itt 36 dB plusz csillapítást volt képes elviselni 0 dBm-es adóteljesítménynél, 87 dB szakaszcsillapításnál.

## 10.4. Összefoglalás

A szakdolgozat keretén belül megterveztem egy SMOG-1 műhold vételére alkalmas vevő egységet kapcsolási és ültetési szinten, elkészítettem a működéshez szükséges kódot, és szimuláltam egy yagi antennát. Ezeket el is készítettem, és egy terepi mérés alkalmával megbizonyosodhattam felőle, hogy megfelelően működnek. A SMOG-1 adóteljesítménye 20 dBm lesz, így ez egy plusz tízszeres áthidalható távolságot jelent számunkra. Ezenkívül van még egy 36 dB-es tartalékunk a rendszerben a csillapítók következtében, ami egy plusz hatvanszoros plusz távolság áthidalást eredményez. És az adatsebességgel is nyerhetünk 6 dB-t ami még egy kétszeres nyereség. Így összességében egy 1440 km jön ki erősen interferált környezetben, ami egy 500 km-es pályához elég biztató. A horizonton (körülbelül 3600 km) valószínűleg nem lesz képes venni, de egy pár fokos eleváció esetében már igen. A jövőre nézve a szoftveren érdemes módosításokat végrehajtani, hogy a jelenleg készülő földi állomás, csak vételre képes programjával integrálni lehessen, így egy kényelmesebb, grafikus felületen szemlélhessük a vett adatokat. Ezenkívül hátra van még az éles alkalmazás, amikor a műhold fellövése után, megpróbáljuk ténylegesen a Föld körül keringő SMOG-1-et venni. A SMOG-1 fellövése, a jelenlegi tervekben 2018 Q2-ben várható.

# Köszönetnyilvánítás

Szeretném megköszönni konzulensem, Dudás Levente segítségét, hogy bármilyen triviális kérdéssel is fordultam hozzá, mindig időt szakított rám és addig magyarázta amíg meg nem értettem. Hála neki megszerettem az addig távolról elkerült, CAD programok használatát, és lényegében megtanultam áramköri szinten tervezni. A kézi forrasztás rejtelmeibe beavatott, és nem hagyta, hogy úgy szerezzek villamosmérnöki diplomát, hogy nem forrasztottam QFN alkatrészt. Azt, hogy ha kellett, akkor miattam maradt bent tovább a laborban, és segített bármilyen témában.

Köszönöm Kristóf Timurnak, hogy mindig segített a laborban ha elakadtam valamivel, és kérés ajánlotta fel ezt a segítséget. Herman Tibornak, hogy a valamilyen Silabsos dologgal akadtam el, akkor bármikor írhattam neki egy e-mailt, és ő mindent elmagyarázott.

És végül a V1504-es labor közösségének, hogy mindig tartják egymásban a lelket, és mindig jó hangulat volt a laborban.

# Rövidítés jegyzék

|       |                                             |
|-------|---------------------------------------------|
| BER   | Bit Error Rate                              |
| CRC   | Cyclic Redundancy Check                     |
| DVB-T | Digital Video Broadcast - Terrestrial       |
| GFSK  | Gaussian Frequency Shift Keying             |
| GMSK  | Gaussian Minimum Shift Keying               |
| GPIO  | General-purpose input/output                |
| IC    | Integrated Circuit                          |
| IPD   | Integrated Passive Device                   |
| LED   | Light-Emitting Diode                        |
| LNA   | Low-Noise Amplifier                         |
| PER   | Packet Error Rate                           |
| RF    | Radio frequency                             |
| RGB   | Red Green Blue                              |
| RSSI  | Received Signal Strength Indicator          |
| SAW   | Surface Acoustic Wave                       |
| SDR   | Software Defined Radio                      |
| SMBus | System Management Bus                       |
| SPI   | Serial Peripheral Interface Bus             |
| TCXO  | Temperature Compensated Crystal Oscillator  |
| UART  | Universal Asynchronous Receiver-Transmitter |
| USB   | Universal Serial Bus                        |
| WDS   | Wireless Development Suit                   |

# Irodalomjegyzék

- [1] Masat-1 honlapja <http://cubesat.bme.hu/> Elérés dátuma: 2017. december 8.
- [2] SMOG-1 honlapja <http://www.gnd.bme.hu/smog1/index.php> Elérés dátuma: 2017. december 8.
- [3] SI1062 adatlapja <http://www.silabs.com/documents/public/data-sheets/Si106x-8x.pdf> Elérés dátuma: 2017. december 8.
- [4] C8051F930 adatlapja <http://www.silabs.com/documents/public/data-sheets/C8051F93x-92x.pdf> Elérés dátuma: 2017. december 8.
- [5] SI4460 adatlapja <https://www.silabs.com/documents/public/data-sheets/Si4464-63-61-60.pdf> Elérés dátuma: 2017. december 8.
- [6] Silicon Labs honlapja <http://www.silabs.com> Elérés dátuma: 2017. december 8.
- [7] CP2102 adatlapja <http://www.silabs.com/documents/public/data-sheets/CP2102-9.pdf> Elérés dátuma: 2017. december 8.
- [8] IPD adatlapja <https://www.silabs.com/documents/public/application-notes/AN904.pdf> Elérés dátuma: 2017. december 8.
- [9] SAW szűrő adatlapja <http://www.golledge.com/pdf/products/specs/ma09629.pdf> Elérés dátuma: 2017. december 8.
- [10] LNA adatlapja <http://www.analog.com/media/en/technical-documentation/evaluation-documentation/ADL5523.pdf> Elérés dátuma: 2017. december 8.
- [11] KiCad honlapja <http://kicad-pcb.org/> Elérés dátuma: 2017. december 8.
- [12] GitHub honlapja <https://github.com/> Elérés dátuma: 2017. december 8.
- [13] Farnell online áruház <http://hu.farnell.com/> Elérés dátuma: 2017. december 8.
- [14] Lomex online áruház <http://lomex.hu/hu/homepage> Elérés dátuma: 2017. december 8.
- [15] Modular Bootloader Framework <https://www.silabs.com/documents/public/application-notes/AN533.pdf> Elérés dátuma: 2017. december 8.
- [16] UART Bootloader <https://www.silabs.com/documents/public/application-notes/AN778.pdf> Elérés dátuma: 2017. december 8.
- [17] WDS elérhetősége <https://www.silabs.com/products/development-tools/software/wireless-development-suite> Elérés dátuma: 2017. december 8.
- [18] 4nec honlapja <http://www.qs1.net/4nec2/> Elérés dátuma: 2017. december 8.



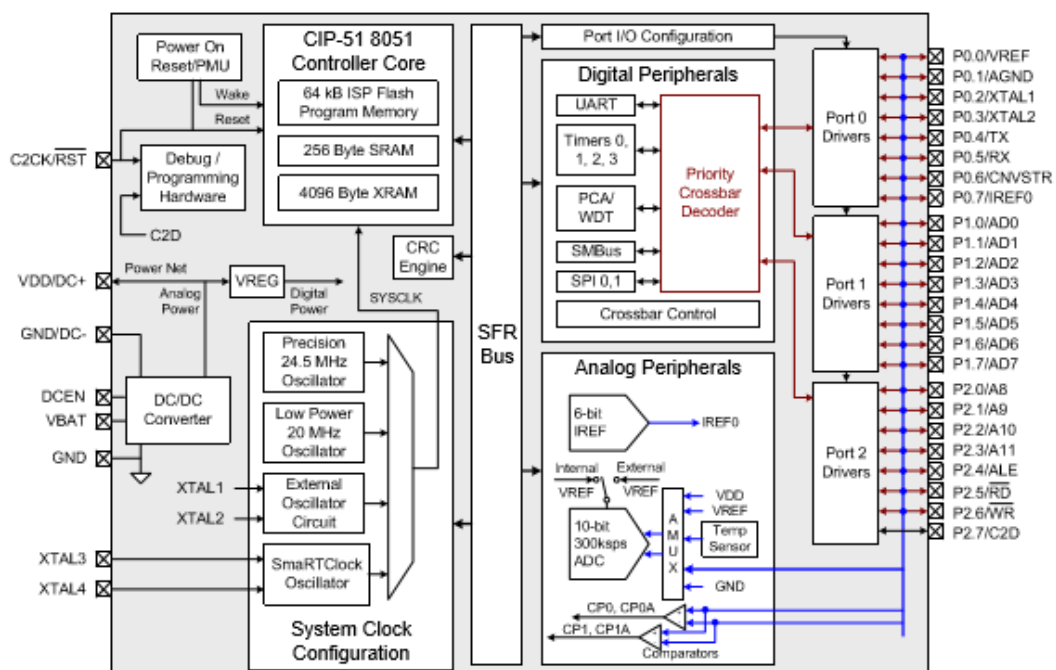
# Ábrák jegyzéke

|      |                                                           |    |
|------|-----------------------------------------------------------|----|
| 1.1. | A Masat-1 logója . . . . .                                | 10 |
| 1.2. | A SMOG-1 logója . . . . .                                 | 11 |
| 2.1. | A SMOG-1 vevő alapkonceptiója . . . . .                   | 12 |
| 2.2. | A SI1062 blokkdiagramja[3] . . . . .                      | 13 |
| 2.3. | A SMOG-1 RX különböző interfészei . . . . .               | 14 |
| 2.4. | A SMOG-1 RX RF bemenet . . . . .                          | 14 |
| 3.1. | Az IPD saját szerkesztésű modellje . . . . .              | 16 |
| 3.2. | Az adatlapi lábkiosztás[8] . . . . .                      | 17 |
| 3.3. | Az SMA csatlakozó és az LNA . . . . .                     | 17 |
| 3.4. | A SAW szűrő és az IPD . . . . .                           | 18 |
| 3.5. | A SI1062 és környezete . . . . .                          | 19 |
| 3.6. | A CP2102 és környezete . . . . .                          | 20 |
| 4.1. | Az adatlapi rajzolat[8] . . . . .                         | 21 |
| 4.2. | Az elkészített rajzolat . . . . .                         | 22 |
| 4.3. | Alkatrész alatti átvezetés . . . . .                      | 23 |
| 4.4. | A kész ültetési rajz . . . . .                            | 23 |
| 5.1. | Az elkészült NYHL top oldala . . . . .                    | 24 |
| 5.2. | Az összeszerelt vevő . . . . .                            | 25 |
| 5.3. | A Simplicity Studio fejlesztő környezete . . . . .        | 26 |
| 5.4. | Egy az adatlapokban található táblázat[4] . . . . .       | 26 |
| 6.1. | A C8051f930 különböző kommunikációs interfészei . . . . . | 27 |
| 6.2. | Az UART0 idődiagramja[4] . . . . .                        | 28 |
| 6.3. | Az UART0 interfész tesztje . . . . .                      | 28 |
| 6.4. | Az SI4460 és a C8051 lábösszerendelése[3] . . . . .       | 29 |
| 6.5. | Utasítás leküldése a rádió számára[5] . . . . .           | 30 |
| 6.6. | A CTS monitorozása[5] . . . . .                           | 30 |
| 6.7. | Az SPI1 interfész tesztje . . . . .                       | 30 |
| 7.1. | A bootloader felépítése[16] . . . . .                     | 31 |
| 7.2. | A mikrokontroller memória felosztása[15] . . . . .        | 32 |
| 7.3. | A megszakítás átirányítás[15] . . . . .                   | 33 |
| 7.4. | A fordítási címtartomány kiválasztása . . . . .           | 34 |
| 7.5. | A fordítás memóriaképe . . . . .                          | 34 |
| 7.6. | A bootload folyamat megkezdődhet . . . . .                | 35 |
| 8.1. | A WDS konfigurációs beállításai . . . . .                 | 36 |
| 8.2. | A SMOG-1 csomagszerkezete . . . . .                       | 37 |

|                                                                           |    |
|---------------------------------------------------------------------------|----|
| 9.1. A kapott iránykarakterisztika különböző elemszámok esetén . . . . .  | 40 |
| 9.2. A szimulátor által számolt értékek . . . . .                         | 40 |
| 10.1. A mérési elrendezés . . . . .                                       | 41 |
| 10.2. A mért reflexiós tényező . . . . .                                  | 43 |
| 10.3. A mérés blokkvázlata GP vevőantennával . . . . .                    | 43 |
| 10.4. A mérés blokkvázlata yagi vevőantennával . . . . .                  | 44 |
| 11.1. A C8051F930 blokkdiagramja[4] . . . . .                             | 50 |
| 11.2. Az elkészült NYHL bot oldala . . . . .                              | 52 |
| 11.3. A top oldal huzalozása . . . . .                                    | 52 |
| 11.4. A bot oldal huzalozása . . . . .                                    | 52 |
| 11.5. A kapcsolási rajz . . . . .                                         | 53 |
| 11.6. Az UART0 blokkdiagramja[4] . . . . .                                | 54 |
| 11.7. Az SPI blokkdiagramja[4] . . . . .                                  | 55 |
| 11.8. A bootload folyamat befejeződött . . . . .                          | 56 |
| 11.9. A kapott iránykarakterisztika különböző elemszámok esetén . . . . . | 57 |
| 11.10Az állóhullámarány és a reflexiós tényező . . . . .                  | 58 |
| 11.11Az elkészült Yagi antenna . . . . .                                  | 59 |
| 11.12A terepi mérés távolsága . . . . .                                   | 60 |

# 11. fejezet

## Függelék



11.1. ábra. A C8051F930 blokkdiagramja[4]

## Blinky programkódja

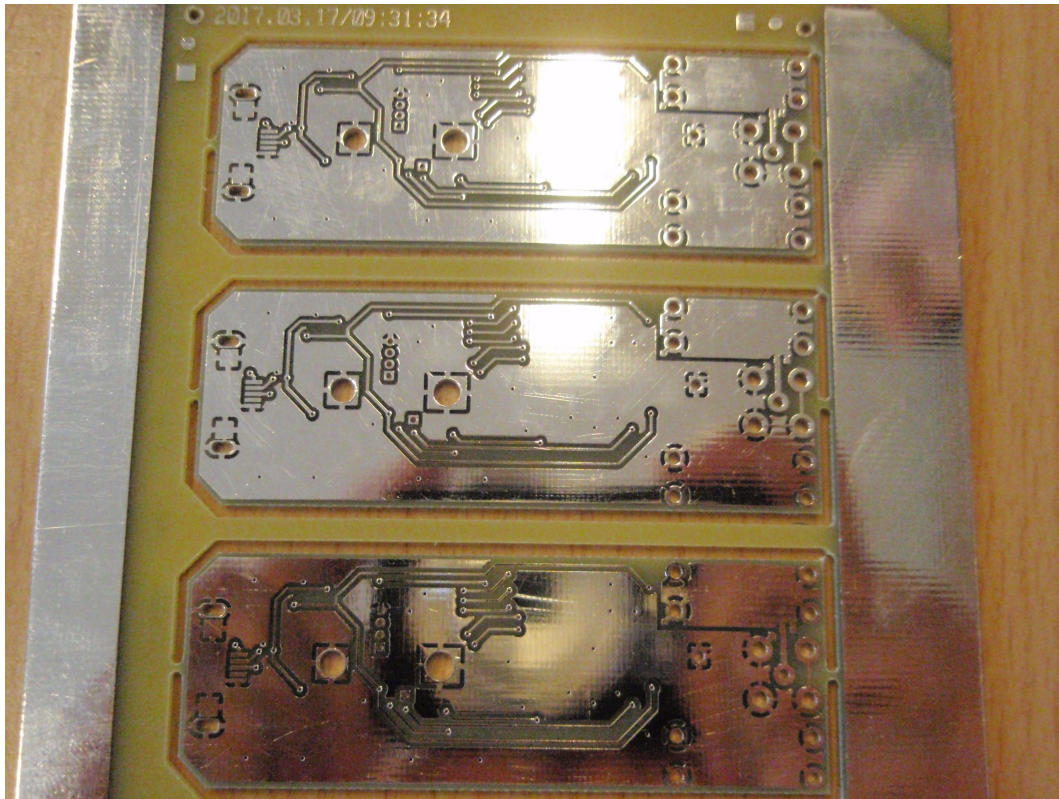
```
#include <SI_C8051F930_Register_Enums.h>           // SFR declarations

sbit RED      = P1^4;
sbit GREEN    = P1^5;
sbit BLUE     = P1^6;

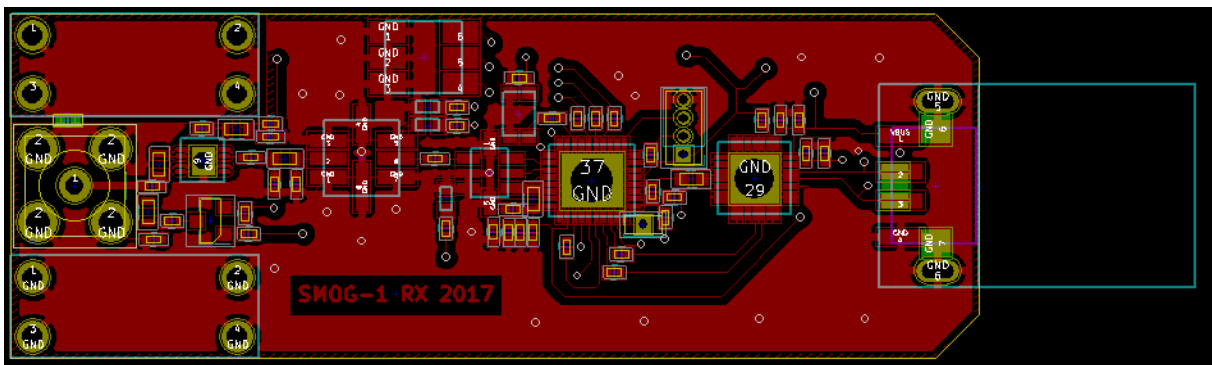
void delay ()
{
    long t=100000;
    while(t) t--;
}

int main (void)
{
    CLKSEL = 0x04; // 0000 0100
    PCA0MD &= ~0x40; // WDT disable
    P0MDOUT = 0x9d; // 1001 1101
    P1MDOUT = 0x7d; // 0111 1101
    XBR0     = 0x01; // 0000 0001
    XBR1     = 0x40; // 0100 0000
    XBR2     = 0x40; // 0100 0000
    P1=0;

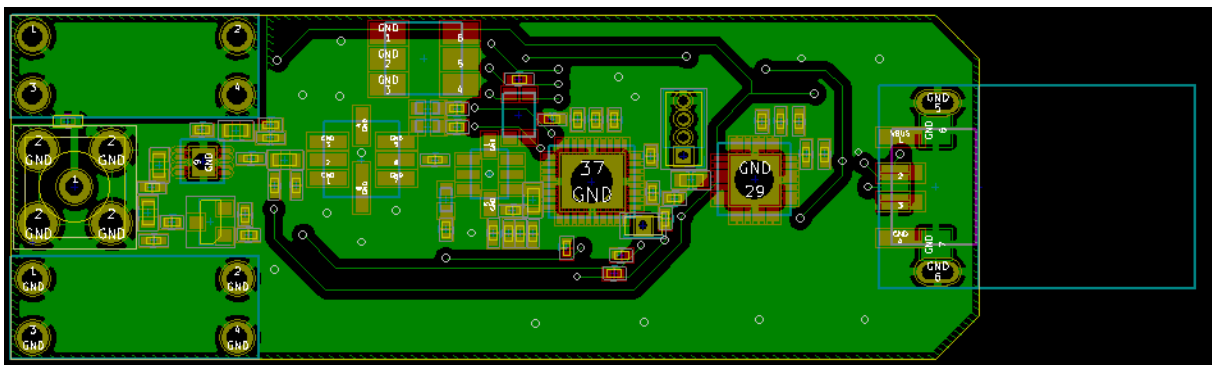
    while (1) {
        P1=0;
        delay ();
        P1=0x9f; // 1001 1111
        delay ();
        P1=0;
        delay ();
        P1=0xaf; // 1010 1111
        delay ();
        P1=0;
        delay ();
        P1=0xcf; // 1100 1111
        delay ();
    } // Spin forever
}
```



11.2. ábra. Az elkészült NYHL bot oldala

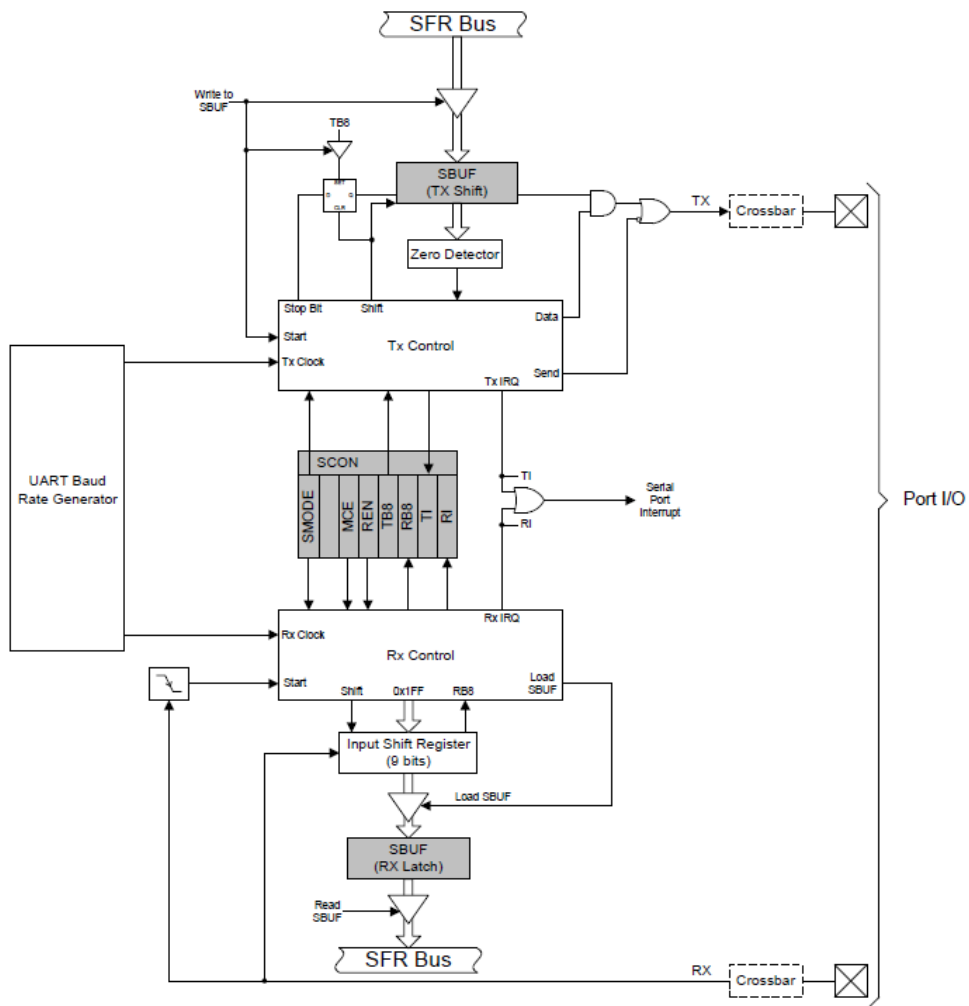


11.3. ábra. A top oldal huzalozása

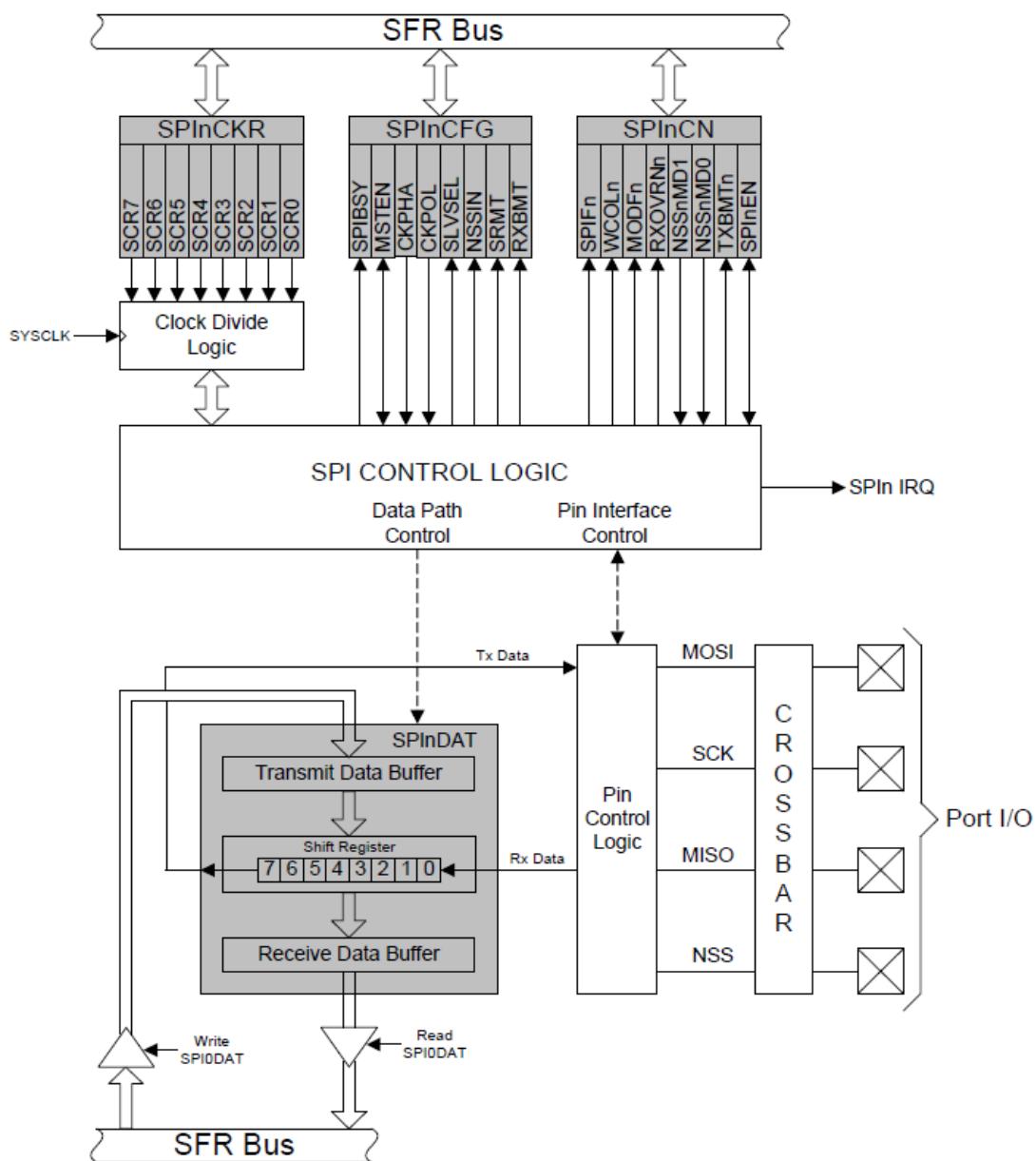


11.4. ábra. A bot oldal huzalozása



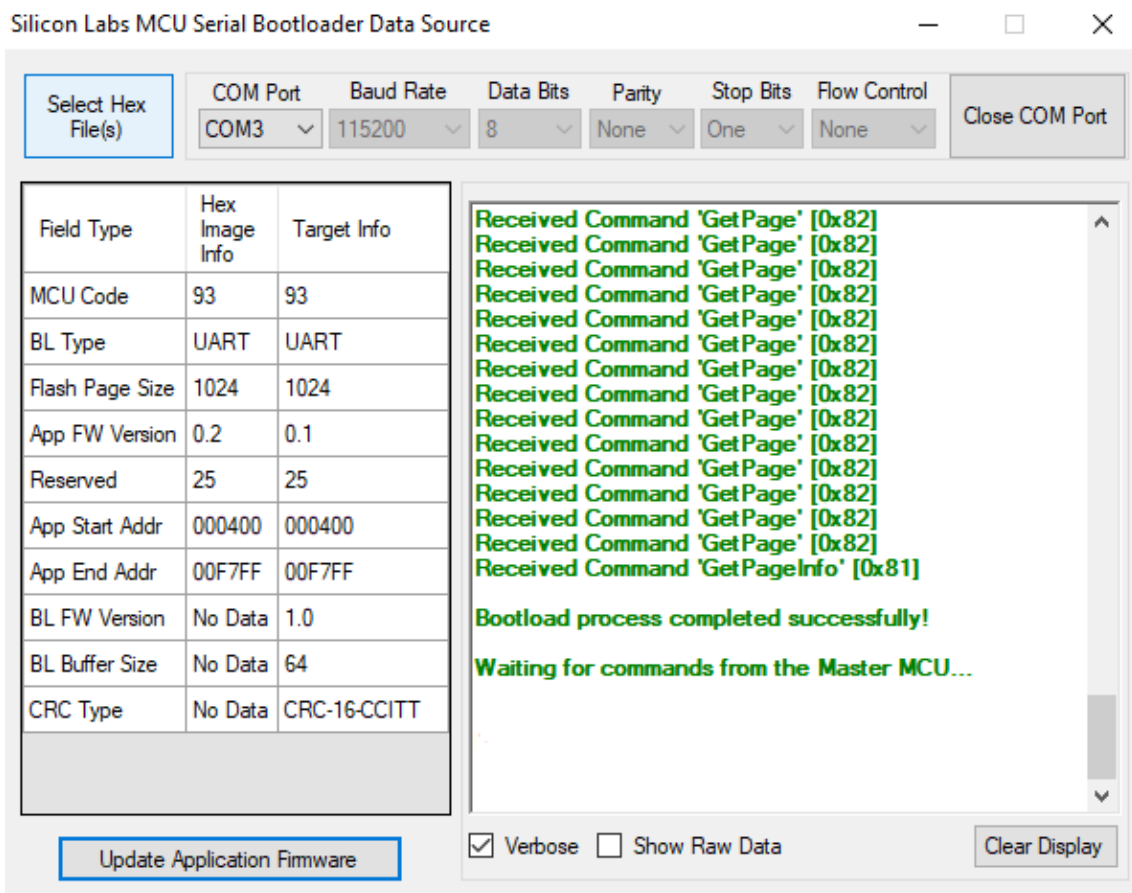


11.6. ábra. Az UART0 blokkdiagramja[4]

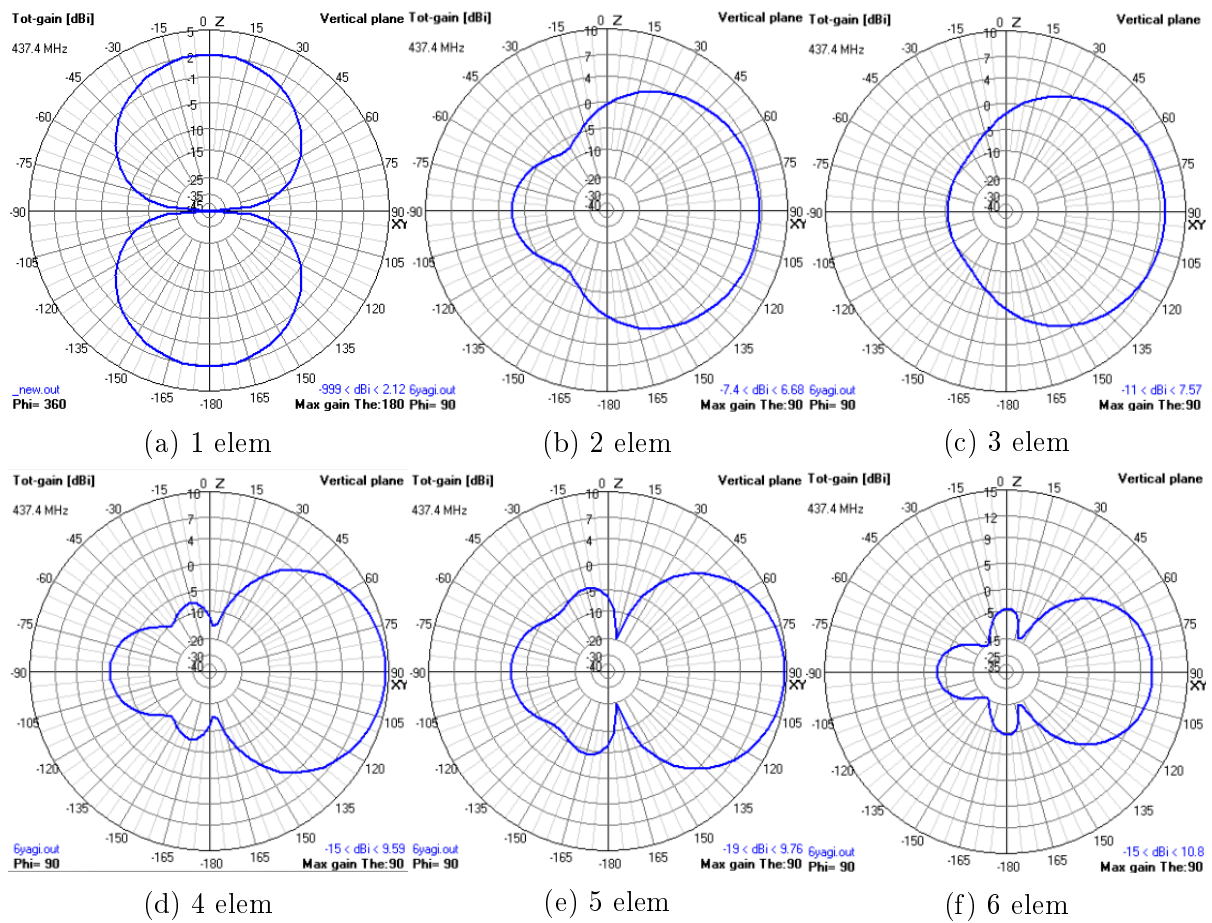


11.7. ábra. Az SPI blokkdiagramja[4]

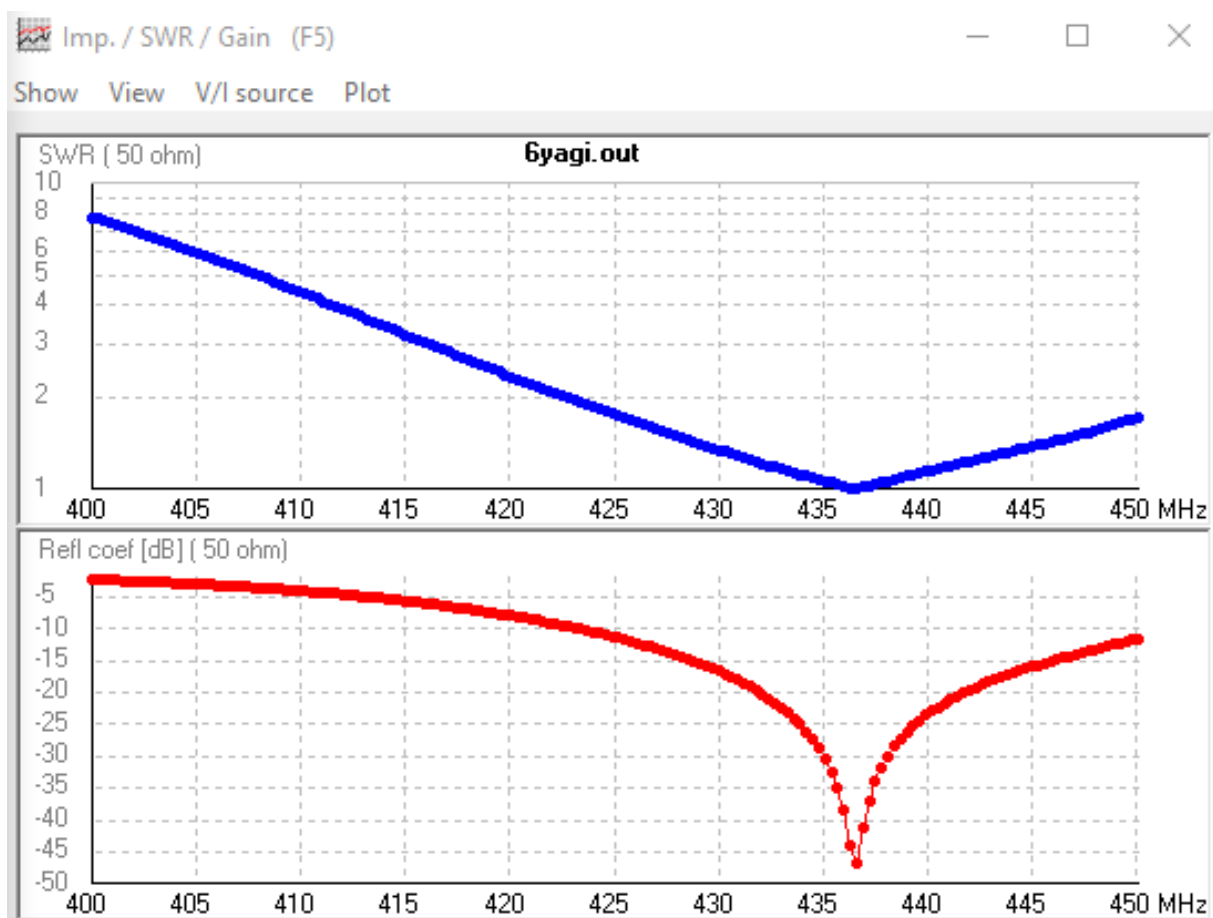




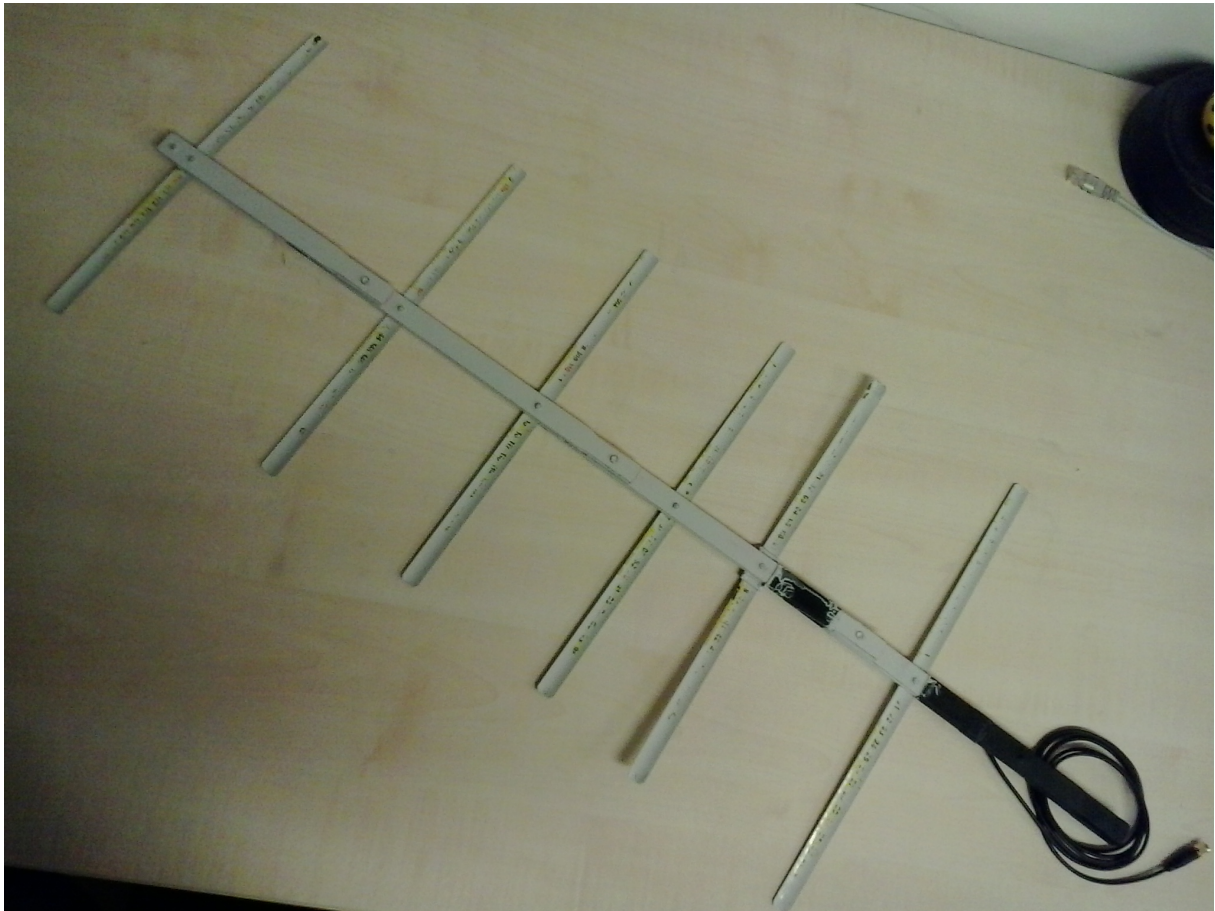
11.8. ábra. A bootload folyamat befejeződött



11.9. ábra. A kapott iránykarakterisztika különböző elemszámok esetén



11.10. ábra. Az állóhullámarány és a reflexiós tényező



11.11. ábra. Az elkészült Yagi antenna



11.12. ábra. A terepi mérés távolsága

# 12. fejezet

## Forráskódok

▣ felhasználói program

```
//-----  
// F85x_Blinky.c  
//-----  
// Copyright (C) 2014 Silicon Laboratories, Inc.  
//  
// AUTH: HF  
// DATE: 04 FEB 2003  
//  
// This program flashes the green LED on the C8051F85x target board about  
// five times a second using the interrupt handler for Timer2.  
//  
// Target: C8051F85x/86x  
//  
// Tool chain: KEIL C51  
// INTVECTOR(0x000) INTERVAL(3)  
//  
// Release 1.0 / 22Sept2014 (SHY)  
// -Ported from F330  
//-----  
// Includes  
//-----  
#include <compiler_defs.h>  
//#include <C8051F930_defs.h>  
#include <SI_C8051F930_Defs.h>  
#include "Radio_defs.h"  
#include "radio_config_Si1060_5000.h"  
  
//-----  
// Global CONSTANTS  
//-----  
  
#define SYSCLK          24500000/8           // SYSCLK frequency in Hz  
  
sbit RED                =    P1^4;  
sbit GREEN              =    P1^5;
```

```

sbit BLUE      = P1^6;           // LED='0' means ON
sbit BL        = P0^2;
sbit TAP       = P0^3;

sbit SS        = P1^3;
sbit SDN       = P0^7;
sbit NIRQ      = P0^1;

#define TGT_CMD_ENTER_BL_MODE      0x05
#define RESERVED_SPACE_ADDR        0xFFF0

#define UART_BUFFER_SIZE 8

U8 SERIAL_REPLY_DONE;
U8 SERIAL_COMMAND_CAME;
U8 Iterator;

U8 UART_RI_BUFFER[UART_BUFFER_SIZE];
U8 UART_RI_BUFFER_COUNTER;

U8 UART_TI_BUFFER[UART_BUFFER_SIZE];
U8 UART_TI_BUFFER_COUNTER;
U8 UART_TI_BUFFER_TI_SIZE;

U8 SERIAL_COMMAND[UART_BUFFER_SIZE];
U8 SERIAL_COMMAND_SIZE;

U8 SERIAL_REPLY[UART_BUFFER_SIZE];
U8 SERIAL_REPLY_SIZE;

xdata U8 FIFO[64];
U8 FIFO_SIZE;
U8 RSSI;

U8 Packet_Came;
U8 random;

//-----
// delay()
//-----
void delay ()
{
    U32 i;
    i=5000;
    while(i)
        i=i-1;
    return;
}

```

```

}

//-----
// Enter_BL_Mode
//-----
//
// Return Value : None
// Parameters : None
//
// This function will cause a Flash Error Reset to enter BL mode.
//-----
U8 Enter_BL_Mode()
{
    return *(U8 code*)(RESERVED_SPACE_ADDR);
}

//-----
// Send_Back_Received_UART()
//-----
void Send_Back_Received_UART()
{
    SERIAL_COMMAND[SERIAL_COMMAND_SIZE] = '\n';
    SERIAL_COMMAND_SIZE++;

    SERIAL_REPLY_SIZE = SERIAL_COMMAND_SIZE;
    for(Iterator = 0; Iterator < SERIAL_COMMAND_SIZE; Iterator++)
    {
        SERIAL_REPLY[Iterator] = SERIAL_COMMAND[Iterator];
    }
    SCON0_TI = 1;
}

//-----
// Send_Byte_to_UART()
//-----
void Send_Byte_to_UART(U8 Byte)
{
    while (!SERIAL_REPLY_DONE);
    SERIAL_REPLY[0] = Byte;
    SERIAL_REPLY_SIZE = 1;
    SCON0_TI = 1;
}

//-----
// Bits_to_Hexa()
//-----
U8 Bits_to_Hexa(U8 Bits)
{

```



```

    if (Bits <= 9)
        Bits += '0';
    else
        Bits += ('A' - 10);
    return Bits;
}

//-----
// Send_Hexa_to_UART()
//-----
void Send_Hexa_to_UART(U8 ascii)
{
    Send_Byte_to_UART(Bits_to_Hexa((ascii & 0xf0) >> 4));
    Send_Byte_to_UART(Bits_to_Hexa(ascii & 0x0f));
    return;
}

//-----
// Send_Data_to_SPI()
//-----
U8 Send_Data_to_SPI(U8 Data)
{
    SPI1DAT = Data;
    //while (!SPI_Done);
    while (!SPI1CN_SPIF);
    SPI1CN_SPIF = 0;
    //SPI_Done = 0;
    return SPI1DAT;
}

//-----
// SPI_ClearToSend_Check()
//-----
void SPI_ClearToSend_Check(U8 NSEL)
{
    SS = 0;
    delay();
    Send_Data_to_SPI(READ_CMD_BUFF);
    while(0xff != Send_Data_to_SPI(NOPE))
    {
        SS = 1;
        delay();
        SS = 0;
        delay();
        Send_Data_to_SPI(READ_CMD_BUFF);
    }
    if(NSEL)
        SS = 1;
    return;
}

```

```

}

//-----
// Current_State()
//-----
void Current_State()
{
    SS = 0;
    Send_Data_to_SPI(0x33);
    SS = 1;
    SPI_ClearToSend_Check(0);
    Send_Byte_to_UART('S');
    Send_Byte_to_UART(Send_Data_to_SPI(NOPE)+'0');
    Send_Byte_to_UART(Send_Data_to_SPI(NOPE)+'0');
    SS = 1;
    return;
}

//-----
// Change_State()
//-----
void Change_State(U8 State)
{
    //error handling
    SS = 0;
    Send_Data_to_SPI(0x34);
    Send_Data_to_SPI(State);
    SS = 1;
    SPI_ClearToSend_Check(1);
    return;
}

//-----
// Part_Info()
//-----
void Part_Info()
{
    SPI_ClearToSend_Check(1);

    SS = 0;
    Send_Byte_to_UART('P');
    Send_Data_to_SPI(PART_INFO);
    SS = 1;
    SPI_ClearToSend_Check(0);
    Send_Hexa_to_UART(Send_Data_to_SPI(NOPE));
    Send_Hexa_to_UART(Send_Data_to_SPI(NOPE));
    Send_Hexa_to_UART(Send_Data_to_SPI(NOPE));
    Send_Byte_to_UART('P');
    SS = 1;
}

```

```

}

//-----
// Radio_Config()
//-----
void Radio_Config()
{
    code U8 Config[] = RADIO_CONFIGURATION_DATA_ARRAY;
    U8 Iterator_Config;
    U8 Iterator_Command;

    for(Iterator_Config = 0; Config[Iterator_Config] != 0; )
    {
        SS = 0;
        for(Iterator_Command = Config[Iterator_Config], Iterator_C
        {
            Send_Data_to_SPI(Config[Iterator_Config]);
        }
        SS = 1;
        SPI_ClearToSend_Check(1);
    }
    return;
}

//-----
// Radio_Power_Up()
//-----
void Radio_Power_Up()
{
    SDN = 1;
    delay();
    SDN = 0;
    delay();
    SS = 0;
    random = SS;
    Send_Byte_to_UART('Y');
    Send_Byte_to_UART(random+'0');
    Send_Byte_to_UART('\r');
    Send_Byte_to_UART('\n');

    Radio_Config();
    SPI_ClearToSend_Check(1);
    return;
}

//-----
// Init()
//-----
void Init(void)

```

{

```
PCA0MD &= ~0x40;
OSCICN = 0x8F;
while (!(OSCICN & 0x40));
CLKSEL = 0;
P0MDOUT = 0x98; // P0.4 push-pull(UART TX ), P0.5 open-drain(UA
P1MDOUT = 0x7d;
XBR0 = 0x01; // Enable UART0
XBR1 = 0x40; // Enable SPI
XBR2 = 0x40; // Enable crossbar
TH1 = 0x96; //Baudrate 115200
TL1 = 0x96;
CKCON = 0x08; //T1M SYSCLK
TMOD = 0x20; // T1M MODE2
TCON |= 0x45;
SCON0 |= 0x10;
RSTSRC = 0x06;
IE = 0x95;
IP = 0x05;
//EIE2 = 0x08;
//EIP2 = 0x08;
IT01CF = 0x12; //EXT INT //0x10
SPI1CKR = 0x08;
SPI1CFG |= 0x40;
SPI1CN = 0x01;

SERIAL_REPLY_DONE = 1;
SERIAL_COMMAND_CAME = 0;

UART_RI_BUFFER_COUNTER = 0;
UART_TI_BUFFER_COUNTER = 0;
UART_TI_BUFFER_TI_SIZE = 0;

SERIAL_COMMAND_SIZE = 0;
SERIAL_REPLY_SIZE = 0;

FIFO_SIZE = 0;

RED = 0;
GREEN = 0;
BLUE = 0;

TAP = 1;

SS = 1;//alacsony aktiv
SDN = 1;//alacsony aktiv
Packet_Came = 0;

IE &= 0x7f;
```

```

Radio_Power_Up();
IE |= 0x80;

SPI_ClearToSend_Check(1);
SS = 0;
Send_Data_to_SPI(GET_INT_STATUS);
SS = 1;
RED = 0;
}

//-----
// MAIN Routine
//-----
void main(void)
{

    Init();

    SPI_ClearToSend_Check(1);
    SS = 0;
    Send_Data_to_SPI(START_RX);
    Send_Data_to_SPI(0);
    Send_Data_to_SPI(0);
    Send_Data_to_SPI(0);
    Send_Data_to_SPI(64);
    Send_Data_to_SPI(0);
    Send_Data_to_SPI(0);
    Send_Data_to_SPI(0);
    SS = 1;

    while (1) {
        BLUE = 1;

        // spin forever

        if (SERIAL_COMMAND_CAME && SERIAL_REPLY_DONE)
        {
            SERIAL_COMMAND_CAME = 0;
            Send_Byte_to_UART('X');
            Send_Back_Received_UART();

            switch (SERIAL_COMMAND[0])
            {
                case '\r':
                    break;
                case 'b': RED = 1;
                    break;
                case 'n': RED = 0;
            }
        }
    }
}

```

```

        break;
    case 'R': SPI_ClearToSend_Check(1);
                SS = 0;
                Send_Data_to_SPI(START_RX);
                Send_Data_to_SPI(0);
                Send_Data_to_SPI(0);
                Send_Data_to_SPI(0);
                Send_Data_to_SPI(64);
                Send_Data_to_SPI(0);
                Send_Data_to_SPI(0);
                Send_Data_to_SPI(0);
                SS = 1;

        break;
    case 'c': Current_State();
        break;
    case 'p': Part_Info();
        break;
    case 'a': Change_State(0x03);
        break;
    case 'x': SS = 0;
                Send_Data_to_SPI(PART_INFO);
                SS = 1;
                SS = 0;
                Send_Data_to_SPI(0x01);
                Send_Data_to_SPI(0x01);
                SS = 1;
                Send_Byte_to_UART('X');
        break;
    case 't': SS = 0;
                Send_Data_to_SPI(GET_INT_STATUS);
                SS = 1;
                RED = 0;
        break;
    default :
        break;
}
}

if(Packet_Came)
{
    U8 Iterator;
    Packet_Came = 0;
    for(Iterator = 0; Iterator < 64; Iterator++)
    {
        Send_Hexa_to_UART(FIFO[Iterator]);
    }
    Send_Hexa_to_UART(RSSI);
    Send_Byte_to_UART('\n');
    Send_Byte_to_UART('\r');
}

```

```

    }
}

```

☐ megszakítás kezelések

```

//=====
// src/Interrupts.c: generated by Hardware Configurator
//
// This file will be regenerated when saving a document.
// leave the sections inside the "$[...]" comment tags alone
// or they will be overwritten!
//=====

```

```

// USER INCLUDES
//#include <SI_C8051F930_Register_Enums.h>
#include <compiler_defs.h>
#include "Radio_defs.h"
//#include <C8051F930_defs.h>
#include <SI_C8051F930_Defs.h>

```

```

#define UART_BUFFER_SIZE 8

```

```

sbit SS          = P1^3;
sbit GREEN       = P1^5;
sbit RED = P1^4;

```

```

extern U8 Send_Data_to_SPI(U8 Data);
extern U8 Enter_BL_Mode();
extern void SPI_ClearToSend_Check(U8 NSEL);

```

```

extern U8 SERIAL_REPLY_DONE;
extern U8 SERIAL_COMMAND_CAME;

```

```

extern U8 UART_RI_BUFFER[UART_BUFFER_SIZE];
extern U8 UART_RI_BUFFER_COUNTER;

```

```

extern U8 UART_TI_BUFFER[UART_BUFFER_SIZE];
extern U8 UART_TI_BUFFER_COUNTER;
extern U8 UART_TI_BUFFER_TI_SIZE;

```

```

extern U8 SERIAL_COMMAND[UART_BUFFER_SIZE];
extern U8 SERIAL_COMMAND_SIZE;

```

```

extern U8 SERIAL_REPLY[UART_BUFFER_SIZE];
extern U8 SERIAL_REPLY_SIZE;

```

```

extern xdata U8 FIFO[64];

```

```
extern U8 FIFO_SIZE;
```

```
extern U8 RSSI;
```

```
extern U8 Packet_Came;
```

```
//
```

```
// UART0_ISR
```

```
//
```

```
//
```

```
// UART0_ISR Content goes here. Remember to clear flag bits:
```

```
// SCON0::RI (Receive Interrupt Flag)
```

```
// SCON0::TI (Transmit Interrupt Flag)
```

```
//
```

```
//
```

```
INTERRUPT (UART0_ISR, UART0_IRQn )
```

```
{
```

```
    U8 Iterator;
```

```
    if(SCON0_RI)
```

```
    {
```

```
        SCON0_RI = 0;
```

```
        if(UART_RI_BUFFER_COUNTER < UART_BUFFER_SIZE-1)
```

```
        {
```

```
            UART_RI_BUFFER[UART_RI_BUFFER_COUNTER] = SBUF0;
```

```
            UART_RI_BUFFER_COUNTER++;
```

```
        }
```

```
        if((UART_RI_BUFFER[UART_RI_BUFFER_COUNTER-1] == '\r') || (UART_
```

```
        {
```

```
            SERIAL_COMMAND_SIZE = UART_RI_BUFFER_COUNTER;
```

```
            for(Iterator = 0; Iterator < UART_RI_BUFFER_COUNTER; Iterat
```

```
            {
```

```
                SERIAL_COMMAND[Iterator] = UART_RI_BUFFER[Iterator]
```

```
            }
```

```
            UART_RI_BUFFER_COUNTER = 0;
```

```
            SERIAL_COMMAND_CAME = 1;
```

```
        }
```

```
    }
```

```
    if(SCON0_TI)
```

```
    {
```

```
        SCON0_TI = 0;
```

```
        if(SERIAL_REPLY_DONE == 1)
```

```
        {
```

```
            SERIAL_REPLY_DONE = 0;
```

```
            UART_TI_BUFFER_TI_SIZE = SERIAL_REPLY_SIZE;
```

```
            for(Iterator = 0; Iterator < SERIAL_REPLY_SIZE; Ite
```

```
            {
```



```

        UART_TI_BUFFER[Iterator] = SERIAL_REPLY[Iterator];
    }
    UART_TI_BUFFER_COUNTER = 0;
}
if (UART_TI_BUFFER_COUNTER < UART_TI_BUFFER_TI_SIZE)
{
    SBUF0 = UART_TI_BUFFER[UART_TI_BUFFER_COUNTER];

    UART_TI_BUFFER_COUNTER++;

}
else
{
    SERIAL_REPLY_DONE = 1;
}
}
}

```

```

//-----
// SPI1_ISR
//-----
//
// SPI1_ISR Content goes here. Remember to clear flag bits:
// SPI1CN::MODF (Mode Fault Flag)
// SPI1CN::RXOVRN (Receive Overrun Flag)
// SPI1CN::SPIF (SPI# Interrupt Flag)
// SPI1CN::WCOL (Write Collision Flag)
//
//-----

```

```

INTERRUPT (INT0_ISR, INT0_IRQn)
{
    Enter_BL_Mode();
}

```

```

INTERRUPT (INT1_ISR, INT1_IRQn)
{
    U8 Interrupt;
    U8 PacketHandler;
    U8 Modem;
    U8 Chip;

    SPI_ClearToSend_Check(1);
    SS = 0;
    Send_Data_to_SPI(GET_INT_STATUS);
    SS = 1;

    SPI_ClearToSend_Check(0);
}

```

```

Interrupt = Send_Data_to_SPI(NOPE);
Send_Data_to_SPI(NOPE);
PacketHandler = Send_Data_to_SPI(NOPE);
Send_Data_to_SPI(NOPE);
Modem = Send_Data_to_SPI(NOPE);
Send_Data_to_SPI(NOPE);
Chip = Send_Data_to_SPI(NOPE);
Send_Data_to_SPI(NOPE);
SS = 1;
SPI_ClearToSend_Check(1);

if(Interrupt != 0)
{
    if((PacketHandler & 0x10) == 0x10)//packet RX
    {
        U8 Iterator;

        SS = 0;
        Send_Data_to_SPI(READ_RX_FIFO);
        for(Iterator = 0; Iterator < 64; Iterator++)
        {
            FIFO[Iterator] = Send_Data_to_SPI(NOPE);
        }
        SS = 1;

        Packet_Came = 1;

        SPI_ClearToSend_Check(1);
        SS = 0;
        Send_Data_to_SPI(START_RX);
        Send_Data_to_SPI(0);

        SS = 1;
        GREEN = 1;
    }
    if((PacketHandler & 0x08) == 0x08)//CRC Error
    {

    }
    if((Modem & 0x01) == 0x01)//Sync Detect
    {

    }
    if((Chip & 0x08) == 0x08)//CMD Error

```



```

#define RADIO_CONFIGURATION_DATA_RADIO_STATE_AFTER_POWER_UP
0x03
#define RADIO_CONFIGURATION_DATA_RADIO_DELAY_CNT_AFTER_RESET
0xF000
#define RADIO_CONFIGURATION_DATA_CUSTOM_PAYLOAD
{0xC5, 0xC5, 0xC5, 0xC5, 0xC5, 0xC5, 0xC5, 0xC5, 0xC5, 0xC5, 0xC5, 0xC5, 0xC5, 0xC5, 0xC5, 0xC5, 0xC5, 0xC5, 0xC5, 0xC5, 0xC5, 0xC5, 0xC5, 0xC5, 0xC5, 0xC5, 0xC5, 0xC5, 0xC5, 0xC5}

// CONFIGURATION COMMANDS

/*
// Command:                RF_POWER_UP
// Description:            Command to power-up the device and select the
*/
#define RF_POWER_UP 0x02, 0x01, 0x01, 0x01, 0xC9, 0xC3, 0x80

/*
// Command:                RF_GPIO_PIN_CFG
// Description:            Configures the GPIO pins.
*/
#define RF_GPIO_PIN_CFG 0x13, 0x08, 0x21, 0x22, 0x18, 0x00, 0x00, 0x00

/*
// Set properties:        RF_GLOBAL_XO_TUNE_2
// Number of properties:  2
// Group ID:              0x00
// Start ID:              0x00
// Default values:        0x40, 0x00,
// Descriptions:
//   GLOBAL_XO_TUNE – Configure the internal capacitor frequency tuning bar
//   GLOBAL_CLK_CFG – Clock configuration options.
*/
#define RF_GLOBAL_XO_TUNE_2 0x11, 0x00, 0x02, 0x00, 0x00, 0x00

/*
// Set properties:        RF_GLOBAL_CONFIG_1
// Number of properties:  1
// Group ID:              0x00
// Start ID:              0x03
// Default values:        0x20,
// Descriptions:
//   GLOBAL_CONFIG – Global configuration settings.
*/
#define RF_GLOBAL_CONFIG_1 0x11, 0x00, 0x01, 0x03, 0x60

/*

```

```

// Set properties:          RF_INT_CTL_ENABLE_4
// Number of properties:   4
// Group ID:               0x01
// Start ID:               0x00
// Default values:         0x04, 0x00, 0x00, 0x04,
// Descriptions:
// INT_CTL_ENABLE - This property provides for global enabling of the th
// INT_CTL_PH_ENABLE - Enable individual interrupt sources within the Pa
// INT_CTL_MODEM_ENABLE - Enable individual interrupt sources within the
// INT_CTL_CHIP_ENABLE - Enable individual interrupt sources within the
*/
#define RF_INT_CTL_ENABLE_4 0x11, 0x01, 0x04, 0x00, 0x07, 0x18, 0x01, 0x08

/*
// Set properties:          RF_FRR_CTL_A_MODE_4
// Number of properties:   4
// Group ID:               0x02
// Start ID:               0x00
// Default values:         0x01, 0x02, 0x09, 0x00,
// Descriptions:
// FRR_CTL_A_MODE - Fast Response Register A Configuration.
// FRR_CTL_B_MODE - Fast Response Register B Configuration.
// FRR_CTL_C_MODE - Fast Response Register C Configuration.
// FRR_CTL_D_MODE - Fast Response Register D Configuration.
*/
#define RF_FRR_CTL_A_MODE_4 0x11, 0x02, 0x04, 0x00, 0x00, 0x00, 0x00, 0x00

/*
// Set properties:          RF_PREAMBLE_TX_LENGTH_9
// Number of properties:   9
// Group ID:               0x10
// Start ID:               0x00
// Default values:         0x08, 0x14, 0x00, 0x0F, 0x21, 0x00, 0x00, 0x00
// Descriptions:
// PREAMBLE_TX_LENGTH - Configure length of TX Preamble.
// PREAMBLE_CONFIG_STD_1 - Configuration of reception of a packet with a
// PREAMBLE_CONFIG_NSTD - Configuration of transmission/reception of a p
// PREAMBLE_CONFIG_STD_2 - Configuration of timeout periods during recept
// PREAMBLE_CONFIG - General configuration bits for the Preamble field.
// PREAMBLE_PATTERN_31_24 - Configuration of the bit values describing a
// PREAMBLE_PATTERN_23_16 - Configuration of the bit values describing a
// PREAMBLE_PATTERN_15_8 - Configuration of the bit values describing a
// PREAMBLE_PATTERN_7_0 - Configuration of the bit values describing a N
*/
#define RF_PREAMBLE_TX_LENGTH_9 0x11, 0x10, 0x09, 0x00, 0x08, 0x14, 0x00, 0x00, 0x00

/*
// Set properties:          RF_SYNC_CONFIG_5
// Number of properties:   5

```



```

#define RF_PKT_LEN_12 0x11, 0x12, 0x0C, 0x08, 0x00, 0x00, 0x00, 0x30, 0x30,

/*
// Set properties:          RF_PKT_FIELD_2_CRC_CONFIG_12
// Number of properties:   12
// Group ID:               0x12
// Start ID:               0x14
// Default values:         0x00, 0x00, 0x00, 0x00, 0x00, 0x00, 0x00, 0x00
// Descriptions:
//   PKT_FIELD_2_CRC_CONFIG - Configuration of CRC control bits across Field
//   PKT_FIELD_3_LENGTH_12_8 - Unsigned 13-bit Field 3 length value.
//   PKT_FIELD_3_LENGTH_7_0 - Unsigned 13-bit Field 3 length value.
//   PKT_FIELD_3_CONFIG - General data processing and packet configuration
//   PKT_FIELD_3_CRC_CONFIG - Configuration of CRC control bits across Field
//   PKT_FIELD_4_LENGTH_12_8 - Unsigned 13-bit Field 4 length value.
//   PKT_FIELD_4_LENGTH_7_0 - Unsigned 13-bit Field 4 length value.
//   PKT_FIELD_4_CONFIG - General data processing and packet configuration
//   PKT_FIELD_4_CRC_CONFIG - Configuration of CRC control bits across Field
//   PKT_FIELD_5_LENGTH_12_8 - Unsigned 13-bit Field 5 length value.
//   PKT_FIELD_5_LENGTH_7_0 - Unsigned 13-bit Field 5 length value.
//   PKT_FIELD_5_CONFIG - General data processing and packet configuration
*/
#define RF_PKT_FIELD_2_CRC_CONFIG_12 0x11, 0x12, 0x0C, 0x14, 0x00, 0x00, 0x00,

/*
// Set properties:          RF_PKT_FIELD_5_CRC_CONFIG_12
// Number of properties:   12
// Group ID:               0x12
// Start ID:               0x20
// Default values:         0x00, 0x00, 0x00, 0x00, 0x00, 0x00, 0x00, 0x00
// Descriptions:
//   PKT_FIELD_5_CRC_CONFIG - Configuration of CRC control bits across Field
//   PKT_RX_FIELD_1_LENGTH_12_8 - Unsigned 13-bit RX Field 1 length value.
//   PKT_RX_FIELD_1_LENGTH_7_0 - Unsigned 13-bit RX Field 1 length value.
//   PKT_RX_FIELD_1_CONFIG - General data processing and packet configuration
//   PKT_RX_FIELD_1_CRC_CONFIG - Configuration of CRC control bits across Field
//   PKT_RX_FIELD_2_LENGTH_12_8 - Unsigned 13-bit RX Field 2 length value.
//   PKT_RX_FIELD_2_LENGTH_7_0 - Unsigned 13-bit RX Field 2 length value.
//   PKT_RX_FIELD_2_CONFIG - General data processing and packet configuration
//   PKT_RX_FIELD_2_CRC_CONFIG - Configuration of CRC control bits across Field
//   PKT_RX_FIELD_3_LENGTH_12_8 - Unsigned 13-bit RX Field 3 length value.
//   PKT_RX_FIELD_3_LENGTH_7_0 - Unsigned 13-bit RX Field 3 length value.
//   PKT_RX_FIELD_3_CONFIG - General data processing and packet configuration
*/
#define RF_PKT_FIELD_5_CRC_CONFIG_12 0x11, 0x12, 0x0C, 0x20, 0x00, 0x00, 0x00,

/*
// Set properties:          RF_PKT_RX_FIELD_3_CRC_CONFIG_9
// Number of properties:   9

```

```

// Group ID:                0x12
// Start ID:                0x2C
// Default values:         0x00, 0x00, 0x00, 0x00, 0x00, 0x00, 0x00, 0x00
// Descriptions:
//   PKT_RX_FIELD_3_CRC_CONFIG – Configuration of CRC control bits across R
//   PKT_RX_FIELD_4_LENGTH_12_8 – Unsigned 13-bit RX Field 4 length value.
//   PKT_RX_FIELD_4_LENGTH_7_0 – Unsigned 13-bit RX Field 4 length value.
//   PKT_RX_FIELD_4_CONFIG – General data processing and packet configurati
//   PKT_RX_FIELD_4_CRC_CONFIG – Configuration of CRC control bits across R
//   PKT_RX_FIELD_5_LENGTH_12_8 – Unsigned 13-bit RX Field 5 length value.
//   PKT_RX_FIELD_5_LENGTH_7_0 – Unsigned 13-bit RX Field 5 length value.
//   PKT_RX_FIELD_5_CONFIG – General data processing and packet configurati
//   PKT_RX_FIELD_5_CRC_CONFIG – Configuration of CRC control bits across R
*/
#define RF_PKT_RX_FIELD_3_CRC_CONFIG_9 0x11, 0x12, 0x09, 0x2C, 0x00, 0x00,

/*
// Set properties:         RF_MODEM_MOD_TYPE_12
// Number of properties:   12
// Group ID:              0x20
// Start ID:              0x00
// Default values:        0x02, 0x80, 0x07, 0x0F, 0x42, 0x40, 0x01, 0xC9
// Descriptions:
//   MODEM_MOD_TYPE – Selects the type of modulation. In TX mode, addition
//   MODEM_MAP_CONTROL – Controls polarity and mapping of transmit and rece
//   MODEM_DSM_CTRL – Miscellaneous control bits for the Delta-Sigma Modul
//   MODEM_DATA_RATE_2 – Unsigned 24-bit value used to determine the TX dat
//   MODEM_DATA_RATE_1 – Unsigned 24-bit value used to determine the TX dat
//   MODEM_DATA_RATE_0 – Unsigned 24-bit value used to determine the TX dat
//   MODEM_TX_NCO_MODE_3 – TX Gaussian filter oversampling ratio and Byte 3
//   MODEM_TX_NCO_MODE_2 – TX Gaussian filter oversampling ratio and Byte 3
//   MODEM_TX_NCO_MODE_1 – TX Gaussian filter oversampling ratio and Byte 3
//   MODEM_TX_NCO_MODE_0 – TX Gaussian filter oversampling ratio and Byte 3
//   MODEM_FREQ_DEV_2 – 17-bit unsigned TX frequency deviation word.
//   MODEM_FREQ_DEV_1 – 17-bit unsigned TX frequency deviation word.
*/
#define RF_MODEM_MOD_TYPE_12 0x11, 0x20, 0x0C, 0x00, 0x03, 0x00, 0x07, 0x03

/*
// Set properties:         RF_MODEM_FREQ_DEV_0_1
// Number of properties:   1
// Group ID:              0x20
// Start ID:              0x0C
// Default values:        0xD3,
// Descriptions:
//   MODEM_FREQ_DEV_0 – 17-bit unsigned TX frequency deviation word.
*/
#define RF_MODEM_FREQ_DEV_0_1 0x11, 0x20, 0x01, 0x0C, 0x57

```



```

/*
// Set properties:          RF_MODEM_TX_RAMP_DELAY_8
// Number of properties:   8
// Group ID:               0x20
// Start ID:               0x18
// Default values:         0x01, 0x00, 0x08, 0x03, 0xC0, 0x00, 0x10, 0x20
// Descriptions:
// MODEM_TX_RAMP_DELAY - TX ramp-down delay setting.
// MODEM_MDM_CTRL - MDM control.
// MODEM_IF_CONTROL - Selects Fixed-IF, Scaled-IF, or Zero-IF mode of RX
// MODEM_IF_FREQ_2 - the IF frequency setting (an 18-bit signed number).
// MODEM_IF_FREQ_1 - the IF frequency setting (an 18-bit signed number).
// MODEM_IF_FREQ_0 - the IF frequency setting (an 18-bit signed number).
// MODEM_DECIMATION_CFG1 - Specifies three decimator ratios for the Casco
// MODEM_DECIMATION_CFG0 - Specifies miscellaneous parameters and decimator
*/
#define RF_MODEM_TX_RAMP_DELAY_8 0x11, 0x20, 0x08, 0x18, 0x01, 0x00, 0x08,

/*
// Set properties:          RF_MODEM_BCR_OSR_1_9
// Number of properties:   9
// Group ID:               0x20
// Start ID:               0x22
// Default values:         0x00, 0x4B, 0x06, 0xD3, 0xA0, 0x06, 0xD3, 0x02
// Descriptions:
// MODEM_BCR_OSR_1 - RX BCR/Slicer oversampling rate (12-bit unsigned number)
// MODEM_BCR_OSR_0 - RX BCR/Slicer oversampling rate (12-bit unsigned number)
// MODEM_BCR_NCO_OFFSET_2 - RX BCR NCO offset value (an unsigned 22-bit number)
// MODEM_BCR_NCO_OFFSET_1 - RX BCR NCO offset value (an unsigned 22-bit number)
// MODEM_BCR_NCO_OFFSET_0 - RX BCR NCO offset value (an unsigned 22-bit number)
// MODEM_BCR_GAIN_1 - The unsigned 11-bit RX BCR loop gain value.
// MODEM_BCR_GAIN_0 - The unsigned 11-bit RX BCR loop gain value.
// MODEM_BCR_GEAR - RX BCR loop gear control.
// MODEM_BCR_MISC1 - Miscellaneous control bits for the RX BCR loop.
*/
#define RF_MODEM_BCR_OSR_1_9 0x11, 0x20, 0x09, 0x22, 0x00, 0x5E, 0x05, 0x76,

/*
// Set properties:          RF_MODEM_AFC_GEAR_7
// Number of properties:   7
// Group ID:               0x20
// Start ID:               0x2C
// Default values:         0x00, 0x23, 0x83, 0x69, 0x00, 0x40, 0xA0,
// Descriptions:
// MODEM_AFC_GEAR - RX AFC loop gear control.
// MODEM_AFC_WAIT - RX AFC loop wait time control.
// MODEM_AFC_GAIN_1 - Sets the gain of the PLL-based AFC acquisition loop
// MODEM_AFC_GAIN_0 - Sets the gain of the PLL-based AFC acquisition loop
// MODEM_AFC_LIMITER_1 - Set the AFC limiter value.

```

```

// MODEM_AFC_LIMITER_0 - Set the AFC limiter value.
// MODEM_AFC_MISC - Specifies miscellaneous AFC control bits.
*/
#define RF_MODEM_AFC_GEAR_7 0x11, 0x20, 0x07, 0x2C, 0x00, 0x12, 0x80, 0x2C,

/*
// Set properties: RF_MODEM_AGC_CONTROL_1
// Number of properties: 1
// Group ID: 0x20
// Start ID: 0x35
// Default values: 0xE0,
// Descriptions:
// MODEM_AGC_CONTROL - Miscellaneous control bits for the Automatic Gain
*/
#define RF_MODEM_AGC_CONTROL_1 0x11, 0x20, 0x01, 0x35, 0xE2

/*
// Set properties: RF_MODEM_AGC_WINDOW_SIZE_9
// Number of properties: 9
// Group ID: 0x20
// Start ID: 0x38
// Default values: 0x11, 0x10, 0x10, 0x0B, 0x1C, 0x40, 0x00, 0x00
// Descriptions:
// MODEM_AGC_WINDOW_SIZE - Specifies the size of the measurement and sett
// MODEM_AGC_RFPD_DECAY - Sets the decay time of the RF peak detectors.
// MODEM_AGC_IFPD_DECAY - Sets the decay time of the IF peak detectors.
// MODEM_FSK4_GAIN1 - Specifies the gain factor of the secondary branch i
// MODEM_FSK4_GAIN0 - Specifies the gain factor of the primary branch in
// MODEM_FSK4_TH1 - 16 bit 4(G)FSK slicer threshold.
// MODEM_FSK4_TH0 - 16 bit 4(G)FSK slicer threshold.
// MODEM_FSK4_MAP - 4(G)FSK symbol mapping code.
// MODEM_OOK_PDTC - Configures the attack and decay times of the OOK Peak
*/
#define RF_MODEM_AGC_WINDOW_SIZE_9 0x11, 0x20, 0x09, 0x38, 0x11, 0x15, 0x15

/*
// Set properties: RF_MODEM_OOK_CNT1_9
// Number of properties: 9
// Group ID: 0x20
// Start ID: 0x42
// Default values: 0xA4, 0x03, 0x56, 0x02, 0x00, 0xA3, 0x02, 0x80
// Descriptions:
// MODEM_OOK_CNT1 - OOK control.
// MODEM_OOK_MISC - Selects the detector(s) used for demodulation of an C
// MODEM_RAW_SEARCH - Defines and controls the search period length for t
// MODEM_RAW_CONTROL - Defines gain and enable controls for raw / nonstan
// MODEM_RAW_EYE_1 - 11 bit eye-open detector threshold.
// MODEM_RAW_EYE_0 - 11 bit eye-open detector threshold.
// MODEM_ANT_DIV_MODE - Antenna diversity mode settings.

```

```

// MODEM_ANT_DIV_CONTROL - Specifies controls for the Antenna Diversity control.
// MODEM_RSSI_THRESH - Configures the RSSI threshold.
*/
#define RF_MODEM_OOK_CNT1_9 0x11, 0x20, 0x09, 0x42, 0xA4, 0x03, 0xD6, 0x03,

/*
// Set properties: RF_MODEM_RSSI_CONTROL_1
// Number of properties: 1
// Group ID: 0x20
// Start ID: 0x4C
// Default values: 0x01,
// Descriptions:
// MODEM_RSSI_CONTROL - Control of the averaging modes and latching time
*/
#define RF_MODEM_RSSI_CONTROL_1 0x11, 0x20, 0x01, 0x4C, 0x02

/*
// Set properties: RF_MODEM_RSSI_COMP_1
// Number of properties: 1
// Group ID: 0x20
// Start ID: 0x4E
// Default values: 0x32,
// Descriptions:
// MODEM_RSSI_COMP - RSSI compensation value.
*/
#define RF_MODEM_RSSI_COMP_1 0x11, 0x20, 0x01, 0x4E, 0x40

/*
// Set properties: RF_MODEM_CLKGEN_BAND_1
// Number of properties: 1
// Group ID: 0x20
// Start ID: 0x51
// Default values: 0x08,
// Descriptions:
// MODEM_CLKGEN_BAND - Select PLL Synthesizer output divider ratio as a function of the band.
*/
#define RF_MODEM_CLKGEN_BAND_1 0x11, 0x20, 0x01, 0x51, 0x0A

/*
// Set properties: RF_MODEM_CHFLT_RX1_CHFLT_COE13_7_0_12
// Number of properties: 12
// Group ID: 0x21
// Start ID: 0x00
// Default values: 0xFF, 0xBA, 0x0F, 0x51, 0xCF, 0xA9, 0xC9, 0xFC,
// Descriptions:
// MODEM_CHFLT_RX1_CHFLT_COE13_7_0 - Filter coefficients for the first set of filter coefficients.
// MODEM_CHFLT_RX1_CHFLT_COE12_7_0 - Filter coefficients for the first set of filter coefficients.
// MODEM_CHFLT_RX1_CHFLT_COE11_7_0 - Filter coefficients for the first set of filter coefficients.
// MODEM_CHFLT_RX1_CHFLT_COE10_7_0 - Filter coefficients for the first set of filter coefficients.

```

```

// MODEM_CHFLT_RX1_CHFLT_COE9_7_0 - Filter coefficients for the first set
// MODEM_CHFLT_RX1_CHFLT_COE8_7_0 - Filter coefficients for the first set
// MODEM_CHFLT_RX1_CHFLT_COE7_7_0 - Filter coefficients for the first set
// MODEM_CHFLT_RX1_CHFLT_COE6_7_0 - Filter coefficients for the first set
// MODEM_CHFLT_RX1_CHFLT_COE5_7_0 - Filter coefficients for the first set
// MODEM_CHFLT_RX1_CHFLT_COE4_7_0 - Filter coefficients for the first set
// MODEM_CHFLT_RX1_CHFLT_COE3_7_0 - Filter coefficients for the first set
// MODEM_CHFLT_RX1_CHFLT_COE2_7_0 - Filter coefficients for the first set
*/
#define RF_MODEM_CHFLT_RX1_CHFLT_COE13_7_0_12 0x11, 0x21, 0x0C, 0x00, 0x39,

/*
// Set properties: RF_MODEM_CHFLT_RX1_CHFLT_COE1_7_0_12
// Number of properties: 12
// Group ID: 0x21
// Start ID: 0x0C
// Default values: 0xFC, 0xFD, 0x15, 0xFF, 0x00, 0x0F, 0xFF, 0xC4
// Descriptions:
// MODEM_CHFLT_RX1_CHFLT_COE1_7_0 - Filter coefficients for the first set
// MODEM_CHFLT_RX1_CHFLT_COE0_7_0 - Filter coefficients for the first set
// MODEM_CHFLT_RX1_CHFLT_COEM0 - Filter coefficients for the first set of
// MODEM_CHFLT_RX1_CHFLT_COEM1 - Filter coefficients for the first set of
// MODEM_CHFLT_RX1_CHFLT_COEM2 - Filter coefficients for the first set of
// MODEM_CHFLT_RX1_CHFLT_COEM3 - Filter coefficients for the first set of
// MODEM_CHFLT_RX2_CHFLT_COE13_7_0 - Filter coefficients for the second set
// MODEM_CHFLT_RX2_CHFLT_COE12_7_0 - Filter coefficients for the second set
// MODEM_CHFLT_RX2_CHFLT_COE11_7_0 - Filter coefficients for the second set
// MODEM_CHFLT_RX2_CHFLT_COE10_7_0 - Filter coefficients for the second set
// MODEM_CHFLT_RX2_CHFLT_COE9_7_0 - Filter coefficients for the second set
// MODEM_CHFLT_RX2_CHFLT_COE8_7_0 - Filter coefficients for the second set
*/
#define RF_MODEM_CHFLT_RX1_CHFLT_COE1_7_0_12 0x11, 0x21, 0x0C, 0x0C, 0xF6,

/*
// Set properties: RF_MODEM_CHFLT_RX2_CHFLT_COE7_7_0_12
// Number of properties: 12
// Group ID: 0x21
// Start ID: 0x18
// Default values: 0xB8, 0xDE, 0x05, 0x17, 0x16, 0x0C, 0x03, 0x00
// Descriptions:
// MODEM_CHFLT_RX2_CHFLT_COE7_7_0 - Filter coefficients for the second set
// MODEM_CHFLT_RX2_CHFLT_COE6_7_0 - Filter coefficients for the second set
// MODEM_CHFLT_RX2_CHFLT_COE5_7_0 - Filter coefficients for the second set
// MODEM_CHFLT_RX2_CHFLT_COE4_7_0 - Filter coefficients for the second set
// MODEM_CHFLT_RX2_CHFLT_COE3_7_0 - Filter coefficients for the second set
// MODEM_CHFLT_RX2_CHFLT_COE2_7_0 - Filter coefficients for the second set
// MODEM_CHFLT_RX2_CHFLT_COE1_7_0 - Filter coefficients for the second set
// MODEM_CHFLT_RX2_CHFLT_COE0_7_0 - Filter coefficients for the second set
// MODEM_CHFLT_RX2_CHFLT_COEM0 - Filter coefficients for the second set of

```

```

// MODEM_CHFLT_RX2_CHFLT_COEM1 - Filter coefficients for the second set of
// MODEM_CHFLT_RX2_CHFLT_COEM2 - Filter coefficients for the second set of
// MODEM_CHFLT_RX2_CHFLT_COEM3 - Filter coefficients for the second set of
*/
#define RF_MODEM_CHFLT_RX2_CHFLT_COE7_7_0_12 0x11, 0x21, 0x0C, 0x18, 0x0C,

/*
// Set properties:          RF_PA_TC_1
// Number of properties:    1
// Group ID:                0x22
// Start ID:                0x03
// Default values:          0x5D,
// Descriptions:
//   PA_TC - Configuration of PA ramping parameters.
*/
#define RF_PA_TC_1 0x11, 0x22, 0x01, 0x03, 0x3D

/*
// Set properties:          RF_SYNTH_PFDPCP_CPF7_7
// Number of properties:    7
// Group ID:                0x23
// Start ID:                0x00
// Default values:          0x2C, 0x0E, 0x0B, 0x04, 0x0C, 0x73, 0x03,
// Descriptions:
//   SYNTH_PFDPCP_CPF7_7 - Feed forward charge pump current selection.
//   SYNTH_PFDPCP_CPINT - Integration charge pump current selection.
//   SYNTH_VCO_KV - Gain scaling factors (Kv) for the VCO tuning varactors
//   SYNTH_LPFILT3 - Value of resistor R2 in feed-forward path of loop filter
//   SYNTH_LPFILT2 - Value of capacitor C2 in feed-forward path of loop filter
//   SYNTH_LPFILT1 - Value of capacitors C1 and C3 in feed-forward path of loop filter
//   SYNTH_LPFILT0 - Bias current of the active amplifier in the feed-forward path
*/
#define RF_SYNTH_PFDPCP_CPF7_7 0x11, 0x23, 0x07, 0x00, 0x2C, 0x0E, 0x0B, 0x03,

/*
// Set properties:          RF_MATCH_VALUE_1_12
// Number of properties:    12
// Group ID:                0x30
// Start ID:                0x00
// Default values:          0x00, 0x00, 0x00, 0x00, 0x00, 0x00, 0x00, 0x00, 0x00, 0x00, 0x00, 0x00
// Descriptions:
//   MATCH_VALUE_1 - Match value to be compared with the result of logical AND of MATCH_MASK_1
//   MATCH_MASK_1 - Mask value to be logically AND-ed (bit-wise) with the result of MATCH_VALUE_1
//   MATCH_CTRL_1 - Enable for Packet Match functionality, and configuration of Match Byte 1
//   MATCH_VALUE_2 - Match value to be compared with the result of logical AND of MATCH_MASK_2
//   MATCH_MASK_2 - Mask value to be logically AND-ed (bit-wise) with the result of MATCH_VALUE_2
//   MATCH_CTRL_2 - Configuration of Match Byte 2.
//   MATCH_VALUE_3 - Match value to be compared with the result of logical AND of MATCH_MASK_3
//   MATCH_MASK_3 - Mask value to be logically AND-ed (bit-wise) with the result of MATCH_VALUE_3
*/

```

```

// MATCH_CTRL_3 - Configuration of Match Byte 3.
// MATCH_VALUE_4 - Match value to be compared with the result of logical
// MATCH_MASK_4 - Mask value to be logically AND-ed (bit-wise) with the l
// MATCH_CTRL_4 - Configuration of Match Byte 4.
*/
#define RF_MATCH_VALUE_1_12 0x11, 0x30, 0x0C, 0x00, 0x00, 0x00, 0x00, 0x00,

/*
// Set properties: RF_FREQ_CONTROL_INTE_8
// Number of properties: 8
// Group ID: 0x40
// Start ID: 0x00
// Default values: 0x3C, 0x08, 0x00, 0x00, 0x00, 0x00, 0x20, 0xFF
// Descriptions:
// FREQ_CONTROL_INTE - Frac-N PLL Synthesizer integer divide number.
// FREQ_CONTROL_FRAC_2 - Frac-N PLL fraction number.
// FREQ_CONTROL_FRAC_1 - Frac-N PLL fraction number.
// FREQ_CONTROL_FRAC_0 - Frac-N PLL fraction number.
// FREQ_CONTROL_CHANNEL_STEP_SIZE_1 - EZ Frequency Programming channel st
// FREQ_CONTROL_CHANNEL_STEP_SIZE_0 - EZ Frequency Programming channel st
// FREQ_CONTROL_W_SIZE - Set window gating period (in number of crystal m
// FREQ_CONTROL_VCOCNT_RX_ADJ - Adjust target count for VCO calibration i
*/
#define RF_FREQ_CONTROL_INTE_8 0x11, 0x40, 0x08, 0x00, 0x39, 0x0A, 0x80, 0x

// AUTOMATICALLY GENERATED CODE!
// DO NOT EDIT/MODIFY BELOW THIS LINE!
// _____

#ifndef FIRMWARE_LOAD_COMPILE
#define RADIO_CONFIGURATION_DATA_ARRAY { \
    0x07, RF_POWER_UP, \
    0x08, RF_GPIO_PIN_CFG, \
    0x06, RF_GLOBAL_XO_TUNE_2, \
    0x05, RF_GLOBAL_CONFIG_1, \
    0x08, RF_INT_CTL_ENABLE_4, \
    0x08, RF_FRR_CTL_A_MODE_4, \
    0x0D, RF_PREAMBLE_TX_LENGTH_9, \
    0x09, RF_SYNC_CONFIG_5, \
    0x0B, RF_PKT_CRC_CONFIG_7, \
    0x10, RF_PKT_LEN_12, \
    0x10, RF_PKT_FIELD_2_CRC_CONFIG_12, \
    0x10, RF_PKT_FIELD_5_CRC_CONFIG_12, \
    0x0D, RF_PKT_RX_FIELD_3_CRC_CONFIG_9, \
    0x10, RF_MODEM_MOD_TYPE_12, \
    0x05, RF_MODEM_FREQ_DEV_0_1, \
    0x0C, RF_MODEM_TX_RAMP_DELAY_8, \
    0x0D, RF_MODEM_BCR_OSR_1_9, \

```

```

0x0B, RF_MODEM_AFC_GEAR_7, \
0x05, RF_MODEM_AGC_CONTROL_1, \
0x0D, RF_MODEM_AGC_WINDOW_SIZE_9, \
0x0D, RF_MODEM_OOK_CNT1_9, \
0x05, RF_MODEM_RSSI_CONTROL_1, \
0x05, RF_MODEM_RSSI_COMP_1, \
0x05, RF_MODEM_CLKGEN_BAND_1, \
0x10, RF_MODEM_CHFLT_RX1_CHFLT_COE13_7_0_12, \
0x10, RF_MODEM_CHFLT_RX1_CHFLT_COE1_7_0_12, \
0x10, RF_MODEM_CHFLT_RX2_CHFLT_COE7_7_0_12, \
0x05, RF_PA_TC_1, \
0x0B, RF_SYNTN_PFDPCP_CPFF_7, \
0x10, RF_MATCH_VALUE_1_12, \
0x0C, RF_FREQ_CONTROL_INTE_8, \
0x00 \
}
#else
#define RADIO_CONFIGURATION_DATA_ARRAY { 0 }
#endif

// DEFAULT VALUES FOR CONFIGURATION PARAMETERS
#define RADIO_CONFIGURATION_DATA_RADIO_XO_FREQ_DEFAULT
30000000L
#define RADIO_CONFIGURATION_DATA_CHANNEL_NUMBER_DEFAULT
0x00
#define RADIO_CONFIGURATION_DATA_RADIO_PACKET_LENGTH_DEFAULT
0x10
#define RADIO_CONFIGURATION_DATA_RADIO_STATE_AFTER_POWER_UP_DEFAULT
0x01
#define RADIO_CONFIGURATION_DATA_RADIO_DELAY_CNT_AFTER_RESET_DEFAULT
0x1000
#define RADIO_CONFIGURATION_DATA_CUSTOM_PAYLOAD_DEFAULT
{0x42, 0x55, 0x54, 0x54, 0x4F, 0x4E, 0x31} // BUTTON1

#define RADIO_CONFIGURATION_DATA_RADIO_PATCH_INCLUDED
0x00
#define RADIO_CONFIGURATION_DATA_RADIO_PATCH_SIZE
0x00
#define RADIO_CONFIGURATION_DATA_RADIO_PATCH
{ }

#ifndef RADIO_CONFIGURATION_DATA_ARRAY
#error "This property must be defined!"
#endif

#ifndef RADIO_CONFIGURATION_DATA_RADIO_XO_FREQ
#define RADIO_CONFIGURATION_DATA_RADIO_XO_FREQ RADIO_CONFIGURATION_
#endif

```

```

#ifndef RADIO_CONFIGURATION_DATA_CHANNEL_NUMBER
#define RADIO_CONFIGURATION_DATA_CHANNEL_NUMBER          RADIO_CONFIGURATION_
#endif

#ifndef RADIO_CONFIGURATION_DATA_RADIO_PACKET_LENGTH
#define RADIO_CONFIGURATION_DATA_RADIO_PACKET_LENGTH    RADIO_CONFIGURATION_
#endif

#ifndef RADIO_CONFIGURATION_DATA_RADIO_STATE_AFTER_POWER_UP
#define RADIO_CONFIGURATION_DATA_RADIO_STATE_AFTER_POWER_UP    RADIO_CONFIGUR
#endif

#ifndef RADIO_CONFIGURATION_DATA_RADIO_DELAY_CNT_AFTER_RESET
#define RADIO_CONFIGURATION_DATA_RADIO_DELAY_CNT_AFTER_RESET    RADIO_CONFIGUR
#endif

#ifndef RADIO_CONFIGURATION_DATA_CUSTOM_PAYLOAD
#define RADIO_CONFIGURATION_DATA_CUSTOM_PAYLOAD          RADIO_CONFIGURATION_
#endif

#define RADIO_CONFIGURATION_DATA { \
    Radio_Configuration_Data_Array ,
\
    RADIO_CONFIGURATION_DATA_CHANNEL_NUMBER,
\
    RADIO_CONFIGURATION_DATA_RADIO_PACKET_LENGTH,
\
    RADIO_CONFIGURATION_DATA_RADIO_STATE_AFTER_POWER_UP,
\
    RADIO_CONFIGURATION_DATA_RADIO_DELAY_CNT_AFTER_RESET,
\
    RADIO_CONFIGURATION_DATA_CUSTOM_PAYLOAD
\
}

#endif /* RADIO_CONFIG_H_ */

    Az antenna leírója

CM
CE
SY f=437345000
SY la=3e8/f
SY r=0.026/3.14/2          ' sug
SY_l=la/4
SY_s=40
GW_____1_____s_____l*0.90_0_____0_____l*0.90__0_____0_____r
GW_____2_____s_____l*0.96_-0.11__0_____l*0.96__-0.11__0_____r
GW_____3_____s_____l*0.84_0.08___0_____l*0.84__0.084___0_____r
GW_____4_____s_____l*0.83_0.22___0_____l*0.83__0.22___0_____r
GW_____5_____s_____l*0.755_____0.315__0_____l*0.755_0.315__0_____

```



```

GW_____6_____s_____ -1*0.735_____0.49_____0_____1*0.735_0.49_____0_
GE_____0
GN_____ -1
EK
EX_____0_____1_____s/2_____0_____1_____0

FR_____0_____0_____0_____0_____0_____437.345_0
EN

```

bootloader f6programja

```

//-----
// Fxxx_TargetBL_Main.c
//-----
// Copyright (C) 2014 Silicon Laboratories, Inc.
// http://www.silabs.com
//
// Program Description:
//
// The main routine for the Target Bootloader Firmware.
//
//
//
// Target:          C8051Fxxx (Any Silicon Labs Flash MCU)
// Tool chain:      Generic
// Command Line:    None
//
//
// Release 1.0 / 22Sept2014 (SHY)
//   -Ported from F330
//
//-----
//
// Includes
//-----
#include <compiler_defs.h>
#include "Fxxx_SFR_Defs_Wrapper.h" // This header file will include the
// real MCU register definition file
#include "Fxxx_Target_Config.h"
#include "Fxxx_Target_Interface.h"
#include "Fxxx_TargetBL_Config.h"
#include "Fxxx_TargetBL_Interface.h"
#include "Fxxx_BL129_UART_Interface.h"
#include "F85x_CRC.h"
//-----
// Global CONSTANTS
//-----
//
// Global Variables
//-----

```

```

sbit BL      = P0^2;
sbit RED     = P1^4;
sbit GREEN  = P1^5; // LED='1' means ON
sbit BLUE   = P1^6;
SEGMENT_VARIABLE( Page_Buf[TGT_FLASH_PAGE_SIZE], U8, SEG_XDATA);

```

```

U8 data SRC_Response;
U16 data SRC_Page_CRC;
U8 data rx_buf[32];
U8 Last_Error = 0;

```

```

#define APP_MODE          0
#define BOOTLOADER_MODE 1

```

```

// Bit masks for the RSTSRC SFR
#define PORSF  0x02
#define FERROR 0x40

```

```

void SRC_Validate_Response(U8 response);
void SRC_Validate_PageCRC(U16 page_addr);

```

```

//=====
// Main Routine
//=====
void main(void)
{
    U8 device_mode = BOOTLOADER_MODE;
    U8 code* codeptr;
    U16 data page_addr = 0;
    U16 addr = 0;
    U8 packets_for_page = 1;

    // Initialize port I/O
    P0MDOUT = 0x10; // P0.4 push-pull(UART TX ), P0.5 open-drain
    P1MDOUT = 0x71; // P1.0 push-pull(LED),
    //P1SKIP = 0x81; // Skip pin for LED and SW
    XBR0 = 0x01; // Enable UART0
    XBR2 = 0x40; // Enable crossbar
    GREEN = 0;
    BLUE = 0;
    RED = 0;

    //=====
    // Check the bootloader condition.
    //=====
    codeptr = (U8 code*)(APP_FW_SIG3_ADDR);
    // The Signature (in Flash) should be valid to allow application FW execution

```

```

// This is written at the end of the bootloading process by the bootload
if((codeptr[0] == SIG_BYTE3) &&(codeptr[1] == SIG_BYTE2) &&(codeptr[2]
{
    device_mode = APP_MODE;
}

if (!BL || (((RSTSRC & PORSF) == 0) && (RSTSRC & FERROR)))
{
    device_mode = BOOTLOADER_MODE;
}

if (device_mode == APP_MODE)
{
    BLUE = 1;
    // If not in BL Override, jump to application
    START_APPLICATION();
}

//-----
// ** BL Mode ** Initialize MCU and Variables
//-----
Device_Init();
GREEN = 1;
//-----
// Main Loop
//-----
while(1)
{
    while(SRC_Dispatch_TGT_Info() != SRC_RSP_OK);
    SRC_Response = SRC_Get_Info();
    SRC_Validate_Response(SRC_Response);
    if (Last_Error != 0)
        goto error;
    Flash_Key0 = rx_buf[5];
    Flash_Key1 = rx_buf[6];
    while(1)
    {
        SRC_Response = SRC_Get_Page_Info();
        SRC_Page_CRC = rx_buf[4] | (rx_buf[5] << 8);
        page_addr = rx_buf[1] | (rx_buf[2] << 8);
        SRC_Validate_Response(SRC_Response);
        if (Last_Error != 0)
            break;
        // Exit this loop if no more pages are available from source
    }
    if (SRC_Response == SRC_RSP_DATA_END)
        break;

    TGT_Erase_Page(page_addr);
    addr = page_addr;
}

```

```

    packets_for_page = TGT_BL_PACKETS_FOR_GET_PAGE;
    while(packets_for_page--) {
        SRC_Response = SRC_Get_Page(Page_Buf);
        SRC_Validate_Response(SRC_Response); // this will not check

        if (Last_Error != 0)
            break;

        TGT_Write_Flash(Page_Buf, addr);
            addr += SRC_CMD_GET_PAGE_RX_SZ;
    }
    SRC_Validate_PageCRC(page_addr); // this will check for CRC ma
    if (Last_Error != 0)
        break;
    }
    // Set flash keys to 0
    Flash_Key0 = 0;
    Flash_Key1 = 0;
error:
    if (Last_Error != 0)
    {
        SRC_Response = SRC_Dispatch_Info_Code(Last_Error);
        Last_Error = 0;
    }
    RSTSRC = 0x12; // Initiate software reset with vdd monitor enabled
    }
}



---


// SRC_Validate_Response


---


//
// Return Value: None
// Parameters: None
//
//


---


void SRC_Validate_Response(U8 response)
{
    if ((response != SRC_RSP_OK) && (response != SRC_RSP_DATA_END))
    {
        Last_Error = ERR_SRC_UNEXPECTED_RSP;
        return;
    }
}

void SRC_Validate_PageCRC(U16 page_addr)

```

```

{
    U16 buf_crc;
    buf_crc = Get_Buf_CRC((U8 code *)page_addr, TGT_FLASH_PAGE_SIZE);
    if (buf_crc != SRC_Page_CRC)
    {
        Last_Error = ERR_SRC_CRC_MISMATCH;
    }
}

```

```

//-----
// End Of File
//-----

```

☒ méréseknél használt program

```

#include <stdio.h>
#include <stdlib.h>
#include <string.h>
#include <unistd.h>
#include <stdint.h>
#include "ismert.h"
int main(int argc, char **argv)
{
    uint32_t n=0;
    uint8_t data[64];
    char str[128];
    int rssi=0;
    while(!feof(stdin)){
        int k=scanf(stdin, "%s_%d\r\n", str, &rssi);
        if(k>0){
            int i;
            int e=0;
            for(i=0; i<64; i++){
                uint8_t f, a;
                f=str[2*i];
                a=str[2*i+1];
                if(f>='A') f=f-'A'+10; else f=='0';
                if(a>='A') a=a-'A'+10; else a=='0';
                data[i]=(((uint8_t)f&0x0f)<<4)|((uint8_t)a&0x0f);
                int j;
                uint8_t x=data[i]^known[i];
                for(j=0; j<8; j++){
                    if((x&1)>0) e++;
                    x>>=1;
                }
            }
            printf("%d\t%d\t%d\r\n", n++, e, rssi);
            fflush(stdout);
        }
        usleep(100);
    }
}

```

```
    }  
    return 0;  
}
```